

## Bijlage 2 Vondsten (2022A471)

Totaal: 131 41 41 2.409

Spoorinformatie	Spoornummer	Spoortype	Depositietype	Datering	Vulling	N	MAI (min)	MAE (max)	M (gr)
-----------------	-------------	-----------	---------------	----------	---------	---	-----------	-----------	--------

	6	Greppel uiteinde			Onbepaald	6	2	2	57
--	---	------------------	--	--	-----------	---	---	---	----

Ceramiëk	Materiaal	Vorm	Datering	Opmerkingen	Rand	Wand	Bodem	Additieven	Arch. vol.	N	MAI (min)	MAE (max)	M (gr)
----------	-----------	------	----------	-------------	------	------	-------	------------	------------	---	-----------	-----------	--------

2022A471-S6-Ce52	Wielgedraaid (P)ME reducerend	Pot	Vol-Middeleeuws - Laat-Middeleeuws	Roetaanslag		4				4			39
Schup-truweel													

2022A471-S6-Ce51c	Wielgedraaid (P)ME oxiderend Rood met koperglazuur	Kan	Laat-Middeleeuws - Nieuwe tijd		1					1	1	1	14
Schup-truweel													

2022A471-S6-Ce51d	Wielgedraaid (P)ME oxiderend Rood zonder glazuur		Laat-Middeleeuws			1				1	1	1	4
Schup-truweel													

Spoorinformatie	Spoornummer	Spoortype	Depositietype	Datering	Vulling	N	MAI (min)	MAE (max)	M (gr)
-----------------	-------------	-----------	---------------	----------	---------	---	-----------	-----------	--------

	7	Kuil			Onbepaald	3			27
--	---	------	--	--	-----------	---	--	--	----

Ceramiëk	Materiaal	Vorm	Datering	Opmerkingen	Rand	Wand	Bodem	Additieven	Arch. vol.	N	MAI (min)	MAE (max)	M (gr)
----------	-----------	------	----------	-------------	------	------	-------	------------	------------	---	-----------	-----------	--------

2022A471-S7-Ce52	Wielgedraaid (P)ME reducerend	Pot	Vol-Middeleeuws - Laat-Middeleeuws		2	1				3			27
Schup-truweel													

Spoorinformatie	Spoornummer	Spoortype	Depositietype	Datering	Vulling	N	MAI (min)	MAE (max)	M (gr)
-----------------	-------------	-----------	---------------	----------	---------	---	-----------	-----------	--------

	16	Paalkuil			Onbepaald	1	1	1	2
--	----	----------	--	--	-----------	---	---	---	---

Faunaresten	Materiaal	Vorm	Datering	Opmerkingen	Kop-hoofd	Romp	Ledematen	Tanden	Arch. vol.	N	MAI (min)	MAE (max)	M (gr)
-------------	-----------	------	----------	-------------	-----------	------	-----------	--------	------------	---	-----------	-----------	--------

2022A471-S16-Fa10a	Skelet Onbepaald Verbrand	Crematie	Onbepaald	Dierlijk?			1			1	1	1	2
Schup-truweel													

Spoorinformatie	Spoornummer	Spoortype	Depositietype	Datering	Vulling	N	MAI (min)	MAE (max)	M (gr)
-----------------	-------------	-----------	---------------	----------	---------	---	-----------	-----------	--------

	20	Kuil			Onbepaald	2			25
--	----	------	--	--	-----------	---	--	--	----

Metaal	Materiaal	Vorm	Datering	Opmerkingen	Rand	Midden	Uiteinde	Additieven	Arch. vol.	N	MAI (min)	MAE (max)	M (gr)
--------	-----------	------	----------	-------------	------	--------	----------	------------	------------	---	-----------	-----------	--------

2022A471-S20-Me11	Ijzer Smeedijzer	Nagel	Middeleeuws - Nieuwe tijd		1				1	2			25
Schup-truweel													

Spoorinformatie	Spoornummer	Spoortype	Depositietype	Datering	Vulling	N	MAI (min)	MAE (max)	M (gr)
-----------------	-------------	-----------	---------------	----------	---------	---	-----------	-----------	--------

	26	Kuil			Onbepaald	3	3	3	46
--	----	------	--	--	-----------	---	---	---	----

Ceramiëk	Materiaal	Vorm	Datering	Opmerkingen	Rand	Wand	Bodem	Additieven	Arch. vol.	N	MAI (min)	MAE (max)	M (gr)
----------	-----------	------	----------	-------------	------	------	-------	------------	------------	---	-----------	-----------	--------

2022A471-S26-Ce60b	Wielgedraaid Steengoed Protosteengoed	Kan	Laat-Middeleeuws			1				1	1	1	2
Schup-truweel													

2022A471-S26-Ce51a	Wielgedraaid (P)ME oxiderend Rood met loodglazuur		Laat-Middeleeuws - Nieuwe tijd			1				1	1	1	5
Schup-truweel													

# Het archeologisch onderzoek aan de Vossebergen te Werchter

Natuursteen	Materiaal	Vorm	Datering	Opmerkingen	Rand	Midden	Hoek	Andere	Arch. vol.	1	1	1	39
2022A471-S26-Na56	Ijzeroer	Grondstof	Onbepaald			1				1	1	1	39
Schup-truweel													
Spoorinformatie	Spoornummer	Spoortype	Depositietype	Datering	Vulling					N	MAI (min)	MAE (max)	M (gr)
	29	Kuil			Onbepaald					1	1	1	4
Ceramiëk	Materiaal	Vorm	Datering	Opmerkingen	Rand	Wand	Bodem	Additieven	Arch. vol.	1	1	1	4
2022A471-S29-Ce20	Handgevormd Blauwgrijs	Pot	1000 - 1350			1				1	1	1	4
Schup-truweel													
Spoorinformatie	Spoornummer	Spoortype	Depositietype	Datering	Vulling					N	MAI (min)	MAE (max)	M (gr)
	30	Greppel			Onbepaald					12	4	4	137
Ceramiëk	Materiaal	Vorm	Datering	Opmerkingen	Rand	Wand	Bodem	Additieven	Arch. vol.	12 <th>4 <th>4 <th>137</th> </th></th>	4 <th>4 <th>137</th> </th>	4 <th>137</th>	137
2022A471-S30-Ce51a	Wielgedraaid (P)ME oxiderend Rood met loodglazuur	Kom	Laat-Middeleeuws - Nieuwe tijd		1	1	1			3			35
Schup-truweel													
2022A471-S30-Ce23	Handgevormd Pingsdorf	Pot	10de eeuw - 13de eeuw			1				1	1	1	8
Schup-truweel													
2022A471-S30-Ce20	Handgevormd Blauwgrijs	Pot	1000 - 1350	Eventueel misbaksel, te hard gebakken		1				1	1	1	10
Schup-truweel													
2022A471-S30-Ce53a	Wielgedraaid Maas-Rijnlands Loodglazuur	Kan en Pan	13de eeuw - 14de eeuw	6 scherven van één kannetje	2	5				7	2	2	84
Schup-truweel													
Spoorinformatie	Spoornummer	Spoortype	Depositietype	Datering	Vulling					N	MAI (min)	MAE (max)	M (gr)
	35	Greppel			Onbepaald					2	2	2	28
Bouwceramiëk	Materiaal	Vorm	Datering	Opmerkingen	Rand	Midden	Hoek	Andere	Arch. vol.	1 <th>1</th> <th>1</th> <th>19</th>	1	1	19
2022A471-S35-Bo21	Leem Verbrand	Verbrande leem	Onbepaald			1				1	1	1	19
Schup-truweel													
Ceramiëk	Materiaal	Vorm	Datering	Opmerkingen	Rand	Wand	Bodem	Additieven	Arch. vol.	1 <th>1</th> <th>1</th> <th>9</th>	1	1	9
2022A471-S35-Ce51a	Wielgedraaid (P)ME oxiderend Rood met loodglazuur	Kom	Laat-Middeleeuws - Nieuwe tijd		1					1	1	1	9
Schup-truweel													
Spoorinformatie	Spoornummer	Spoortype	Depositietype	Datering	Vulling					N	MAI (min)	MAE (max)	M (gr)
	41	Greppel			Onbepaald					8	2	2	41
Ceramiëk	Materiaal	Vorm	Datering	Opmerkingen	Rand	Wand	Bodem	Additieven	Arch. vol.	2 <th>2</th> <th>2</th> <th>35</th>	2	2	35
2022A471-S41-Ce53a	Wielgedraaid Maas-Rijnlands Loodglazuur	Kom	10de eeuw - 1350					1		1	1	1	30
Schup-truweel													
2022A471-S41-Ce51a	Wielgedraaid (P)ME oxiderend Rood met loodglazuur	Kan	Laat-Middeleeuws	Zeer dun		1				1	1	1	5
Schup-truweel													
Faunaresten	Materiaal	Vorm	Datering	Opmerkingen	Kop-hoofd	Romp	Ledematen	Tanden	Arch. vol.	6 <td></td> <td></td> <th>6</th>			6
2022A471-S41-Fa13a	Skelet Zoogdier Rund	Slachtafval	Onbepaald	Tanden uit elkaar gevallen				6		6			6
Schup-truweel													

# Het archeologisch onderzoek aan de Vossebergen te Werchter

Spoorinformatie	Spoornummer	Spoorstype	Depositietype	Datering	Vulling	N	MAI (min)	MAE (max)	M (gr)
	42	Greppel			Laat-Middeleeuws	1	1	1	545
Metaal	Materiaal	Vorm	Datering	Opmerkingen	Rand	Midden	Uiteinde	Additieven	Arch. vol.
2022A471-S42-Me11	ijzer Smeedijzer	Buis	(Post)-Middeleeuws	Zwaar verroest, buisvormig	1				
Schup-truweel									

Spoorinformatie	Spoornummer	Spoorstype	Depositietype	Datering	Vulling	N	MAI (min)	MAE (max)	M (gr)
	55	Gracht			Onbepaald	7	2	2	83
Ceramik	Materiaal	Vorm	Datering	Opmerkingen	Rand	Wand	Bodem	Additieven	Arch. vol.
2022A471-S55-Ce18	Handgevormd Kogelpot	Kogelpot	9de eeuw - 1300			5			
Schup-truweel									
2022A471-S55-Ce53b	Wielgedraaid Maas-Rijnlands Zonder glazuur	Pot	Vol-Middeleeuws			1			
Schup-truweel									

Spoorinformatie	Spoornummer	Spoorstype	Depositietype	Datering	Vulling	N	MAI (min)	MAE (max)	M (gr)
						1	1	1	12
Metaal	Materiaal	Vorm	Datering	Opmerkingen	Rand	Midden	Uiteinde	Additieven	Arch. vol.
2022A471-S55-Me10	ijzer	Nagel	Onbepaald						1
Schup-truweel									

Spoorinformatie	Spoornummer	Spoorstype	Depositietype	Datering	Vulling	N	MAI (min)	MAE (max)	M (gr)
	56	Gracht			Onbepaald	32	3	3	106
Ceramik	Materiaal	Vorm	Datering	Opmerkingen	Rand	Wand	Bodem	Additieven	Arch. vol.
2022A471-S56-Ce51a	Wielgedraaid (P)ME oxiderend Rood met loodglazuur	Kan	Laat-Middeleeuws					1	
Schup-truweel									
2022A471-S56-Ce51d	Wielgedraaid (P)ME oxiderend Rood zonder glazuur	Pot	Laat-Middeleeuws				1		
Schup-truweel									
2022A471-S56-Ce53a	Wielgedraaid Maas-Rijnlands Loodglazuur	Beker	Onbepaald		2	1			
Schup-truweel									

Spoorinformatie	Spoornummer	Spoorstype	Depositietype	Datering	Vulling	N	MAI (min)	MAE (max)	M (gr)
						26			24
Faunaresten	Materiaal	Vorm	Datering	Opmerkingen	Kop-hoofd	Romp	Ledematen	Tanden	Arch. vol.
2022A471-S56-Fa13a	Skelet Zoogdier Rund	Slachtafval	Onbepaald	Tanden uit elkaar gevallen			2	24	
Schup-truweel									

Spoorinformatie	Spoornummer	Spoorstype	Depositietype	Datering	Vulling	N	MAI (min)	MAE (max)	M (gr)
						1	1	1	13
Metaal	Materiaal	Vorm	Datering	Opmerkingen	Rand	Midden	Uiteinde	Additieven	Arch. vol.
2022A471-S56-Me19	ijzer Metaalslak	Productieafval	Onbepaald						1
Schup-truweel									

Spoorinformatie	Spoornummer	Spoorstype	Depositietype	Datering	Vulling	N	MAI (min)	MAE (max)	M (gr)
	60	Recente kuil			Onbepaald	2			85
Floraresten	Materiaal	Vorm	Datering	Opmerkingen	Rand	Midden	Uiteinde	Additieven	Arch. vol.
2022A471-S60-FI85	(Steen)kool	Eierkool	1961 - 1974	Oranje-Nassau mijnen					2
Schup-truweel									

# Het archeologisch onderzoek aan de Vossebergen te Werchter

Spoorinformatie	Spoornummer	Spoottype	Depositietype	Datering	Vulling	N	MAI (min)	MAE (max)	M (gr)					
	61	Recente kuil			Onbepaald	4			162					
Floraresten	Materiaal	Vorm	Datering	Opmerkingen	Rand	Midden	Uiteinde	Additieven	Arch. vol.	4				162
2022A471-S61-FI85	(Steen)kool	Eierkool	1961 - 1974	Oranje-Nassau mijnen						4	4			162
Schup-truweel														

Spoorinformatie	Spoornummer	Spoottype	Depositietype	Datering	Vulling	N	MAI (min)	MAE (max)	M (gr)					
	72	Gracht			1200 - Nieuwe tijd	22	5	5	866					
Bouwceraamiek	Materiaal	Vorm	Datering	Opmerkingen	Rand	Midden	Hoek	Andere	Arch. vol.	1	1	1		49
2022A471-S72-Bo11	Ceraamiek Oxiderend	Tegel	(Post)-Middeleeuws		1					1	1	1		49
Schup-truweel														

Spoorinformatie	Spoornummer	Spoottype	Depositietype	Datering	Vulling	N	MAI (min)	MAE (max)	M (gr)					
Ceraamiek	Materiaal	Vorm	Datering	Opmerkingen	Rand	Wand	Bodem	Additieven	Arch. vol.	21	4	4		817
2022A471-S72-Ce51a	Wielgedraaid (P)ME oxiderend Rood met loodglazuur	Teil	Laat-Middeleeuws - Nieuwe tijd	Sommige scherven zijn zeer zwaar afgesleten	2	13	2			17				695
Schup-truweel														
2022A471-S72-Ce51b	Wielgedraaid (P)ME oxiderend Rood met geel glazuur		Laat-Middeleeuws - Nieuwe tijd			1				1	1	1		7
Schup-truweel														
2022A471-S72-Ce52	Wielgedraaid (P)ME reducerend	Pot	Middeleeuws - 1550	Zwaar afgesleten, mogelijk mislukt oxiderend				1		1	1	1		82
Schup-truweel														
2022A471-S72-Ce60a	Wielgedraaid Steengoed Langerwehe	Kan	14de eeuw - 16de eeuw				1			1	1	1		30
Schup-truweel														
2022A471-S72-Ce60b	Wielgedraaid Steengoed Proto-steengoed	Kan	1200 - 1325			1				1	1	1		3
Schup-truweel														

Spoorinformatie	Spoornummer	Spoottype	Depositietype	Datering	Vulling	N	MAI (min)	MAE (max)	M (gr)					
	79	Kuil			Onbepaald	1	1	1	6					
Ceraamiek	Materiaal	Vorm	Datering	Opmerkingen	Rand	Wand	Bodem	Additieven	Arch. vol.	1	1	1		6
2022A471-S79-Ce51d	Wielgedraaid (P)ME oxiderend Rood zonder glazuur	Kan	Laat-Middeleeuws	Mogelijk sporadisch glazuur op rest recipient.		1				1	1	1		6
Schup-truweel														

Spoorinformatie	Spoornummer	Spoottype	Depositietype	Datering	Vulling	N	MAI (min)	MAE (max)	M (gr)					
	84	Greppel			Onbepaald	1	1	1	34					
Ceraamiek	Materiaal	Vorm	Datering	Opmerkingen	Rand	Wand	Bodem	Additieven	Arch. vol.	1	1	1		34
2022A471-S84-Ce51a	Wielgedraaid (P)ME oxiderend Rood met loodglazuur		Laat-Middeleeuws			1				1	1	1		34
Schup-truweel														

Spoorinformatie	Spoornummer	Spoottype	Depositietype	Datering	Vulling	N	MAI (min)	MAE (max)	M (gr)					
	86	Greppel			Onbepaald	1	1	1	13					
Ceraamiek	Materiaal	Vorm	Datering	Opmerkingen	Rand	Wand	Bodem	Additieven	Arch. vol.	1	1	1		13
2022A471-S86-Ce51a	Wielgedraaid (P)ME oxiderend Rood met loodglazuur	Kom	Laat-Middeleeuws - Nieuwe tijd		1					1	1	1		13
Schup-truweel														

# Het archeologisch onderzoek aan de Vossebergen te Werchter

Spoorinformatie	Spoornummer	Spoortype	Depositietype	Datering	Vulling	N	MAI (min)	MAE (max)	M (gr)
	100	Paalkuil			Onbepaald	1	1	1	1
Ceramiek	Materiaal	Vorm	Datering	Opmerkingen	Rand	Wand	Bodem	Additieven	Arch. vol.
2022A471-S100-Ce53a Schup-truweel	Wielgedraaid Maas-Rijnlands Loodglazuur		12de eeuw - 13de eeuw			1			

Spoorinformatie	Spoornummer	Spoortype	Depositietype	Datering	Vulling	N	MAI (min)	MAE (max)	M (gr)
	101	Paalkuil			Onbepaald	2	2	2	12
Ceramiek	Materiaal	Vorm	Datering	Opmerkingen	Rand	Wand	Bodem	Additieven	Arch. vol.
2022A471-S101-Ce53c Schup-truweel	Wielgedraaid Maas-Rijnlands rood met glazuur en radstempel	Kan	Begin 13de eeuw			1			
2022A471-S101-Ce52 Schup-truweel	Wielgedraaid (P)ME reducerend		Vol-Middeleeuws			1			

Spoorinformatie	Spoornummer	Spoortype	Depositietype	Datering	Vulling	N	MAI (min)	MAE (max)	M (gr)
	116	Paalkuil			Onbepaald	1			
Ceramiek	Materiaal	Vorm	Datering	Opmerkingen	Rand	Wand	Bodem	Additieven	Arch. vol.
2022A471-S116-Ce53a Schup-truweel	Wielgedraaid Maas-Rijnlands Loodglazuur		Onbepaald		1				

Spoorinformatie	Spoornummer	Spoortype	Depositietype	Datering	Vulling	N	MAI (min)	MAE (max)	M (gr)
	119	Greppel			Onbepaald	3	1	1	5
Ceramiek	Materiaal	Vorm	Datering	Opmerkingen	Rand	Wand	Bodem	Additieven	Arch. vol.
2022A471-S119-Ce51e Schup-truweel	Wielgedraaid (P)ME oxiderend Rood met engobe	Kan	13de eeuw - 14de eeuw			1		1	
2022A471-S119-Ce51a Schup-truweel	Wielgedraaid (P)ME oxiderend Rood met loodglazuur	Bord	Laat-Middeleeuws		1				

Spoorinformatie	Spoornummer	Spoortype	Depositietype	Datering	Vulling	N	MAI (min)	MAE (max)	M (gr)
	121	Paalkuil			Onbepaald	1	1	1	2
Ceramiek	Materiaal	Vorm	Datering	Opmerkingen	Rand	Wand	Bodem	Additieven	Arch. vol.
2022A471-S121-Ce53a Schup-truweel	Wielgedraaid Maas-Rijnlands Loodglazuur		Laat-Middeleeuws				1		

Spoorinformatie	Spoornummer	Spoortype	Depositietype	Datering	Vulling	N	MAI (min)	MAE (max)	M (gr)
	126	Greppel			Onbepaald	1	1	1	1
Lithisch materiaal	Materiaal	Vorm	Datering	Opmerkingen	Distaal	Mediaal	Proximaal	Andere	Arch. vol.
2022A471-S126-Li10 Schup-truweel	Silex	Afslag	Onbepaald				1		

# Het archeologisch onderzoek aan de Vossebergen te Werchter

Spoorinformatie	Spoornummer	Spoortype	Depositietype	Datering	Vulling	N	MAI (min)	MAE (max)	M (gr)				
	PR2L1	Profiel				5	3	3	56				
Ceramiëk	Materiaal	Vorm	Datering	Opmerkingen	Rand	Wand	Bodem	Additieven	Arch. vol.	N	MAI (min)	MAE (max)	M (gr)
2022A471-PR2L1-Ce51a Schup-truweel	Wielgedraaid (P)ME oxiderend Rood met loodglazuur		Laat-Middeleeuws - (Post)-Middeleeuws			1		1		2			43
Lithisch materiaal	Materiaal	Vorm	Datering	Opmerkingen	Distaal	Mediaal	Proximaal	Andere	Arch. vol.	N	MAI (min)	MAE (max)	M (gr)
2022A471-PR2L1-Li11 Schup-truweel	Silex Mijnsilex	Brokstuk	Onbepaald					1		1	1	1	1
Metaal	Materiaal	Vorm	Datering	Opmerkingen	Rand	Midden	Uiteinde	Additieven	Arch. vol.	N	MAI (min)	MAE (max)	M (gr)
2022A471-PR2L1-Me60 Schup-truweel	Lood	Kogel	Nieuwste tijd							1	1	1	9
2022A471-PR2L1-Me12 Schup-truweel	Ijzer Gietijzer	Knop	Nieuwste tijd					1		1	1	1	3
Spoorinformatie	Spoornummer	Spoortype	Depositietype	Datering	Vulling	N	MAI (min)	MAE (max)	M (gr)				
	PR2L2	Profiel				6	1	1	52				
Ceramiëk	Materiaal	Vorm	Datering	Opmerkingen	Rand	Wand	Bodem	Additieven	Arch. vol.	N	MAI (min)	MAE (max)	M (gr)
2022A471-PR2L2-Ce51a Schup-truweel	Wielgedraaid (P)ME oxiderend Rood met loodglazuur	Kom	Nieuwe tijd			4	1			5			50
2022A471-PR2L2-Ce60c Schup-truweel	Wielgedraaid Steengoed Siegburg		1325 - 15de eeuw			1				1	1	1	2
Spoorinformatie	Spoornummer	Spoortype	Depositietype	Datering	Vulling	N	MAI (min)	MAE (max)	M (gr)				
	LV1	Losse vondst				1	1	1	11				
Ceramiëk	Materiaal	Vorm	Datering	Opmerkingen	Rand	Wand	Bodem	Additieven	Arch. vol.	N	MAI (min)	MAE (max)	M (gr)
2022A471-LV1-Ce51e Schup-truweel	Wielgedraaid (P)ME oxiderend Rood met engobe		13de eeuw - 14de eeuw			1				1	1	1	11
Spoorinformatie	Spoornummer	Spoortype	Depositietype	Datering	Vulling	N	MAI (min)	MAE (max)	M (gr)				
	LV2	Losse vondst				1	1	1	2				
Lithisch materiaal	Materiaal	Vorm	Datering	Opmerkingen	Distaal	Mediaal	Proximaal	Andere	Arch. vol.	N	MAI (min)	MAE (max)	M (gr)
2022A471-LV2-Li10 Schup-truweel	Silex	Kling	Mesolithicum						1	1	1	1	2



### Bijlage 3 Stalen (2022A471)

Spoorinformatie	Spoornummer	Spoortype	Depositietype	Datering	Vulling	N	M (gr)
	61	Recente kuil			Onbepaald	1	1.561

Staalname	Grondstof	Vorm	Datering	Opmerkingen	Aantal	N	M (gr)
2022A471-S61-St51	Bouwmateriaal Baksteen	Baksteen	2de helft 20ste eeuw		1	1	1.561

Spoorinformatie	Spoornummer	Spoortype	Depositietype	Datering	Vulling	N	M (gr)
	101	Paalkuil			Onbepaald	5	358

Staalname	Grondstof	Vorm	Datering	Opmerkingen	≥ 4mm	2mm	1mm	0,5mm	0,25mm	N	M (gr)
2022A471-S101-St31-0,25mm	Macroresten 0,25 mm	Spoorvulling	Onbepaald					1		1	123
2022A471-S101-St32-0,5mm	Macroresten 0,5 mm	Spoorvulling	Onbepaald					1		1	181
2022A471-S101-St33-1mm	Macroresten 1 mm	Spoorvulling	Onbepaald				1			1	25
2022A471-S101-St34-2mm	Macroresten 2 mm	Spoorvulling	Onbepaald			1				1	10
2022A471-S101-St35-4mm	Macroresten 4 mm	Spoorvulling	Onbepaald		1					1	19

Spoorinformatie	Spoornummer	Spoortype	Depositietype	Datering	Vulling	N	M (gr)
	115L2	Paalkuil - Vulling				6	611

Staalname	Grondstof	Vorm	Datering	Opmerkingen	≥ 4mm	2mm	1mm	0,5mm	0,25mm	N	M (gr)
2022A471-S115L2-St31-0,25mm	Macroresten 0,25 mm	Spoorvulling	Onbepaald					1		1	212
2022A471-S115L2-St32-0,5mm	Macroresten 0,5 mm	Spoorvulling	Onbepaald					1		1	109
2022A471-S115L2-St33-1mm	Macroresten 1 mm	Spoorvulling	Onbepaald				1			1	17
2022A471-S115L2-St34-2mm	Macroresten 2 mm	Spoorvulling	Onbepaald			1				1	9
2022A471-S115L2-St35-4mm	Macroresten 4 mm	Spoorvulling	Onbepaald		1					1	9
2022A471-S115L2-St22	Pollen Koker	Spoorvulling	Onbepaald					1		1	255

Spoorinformatie	Spoornummer	Spoortype	Depositietype	Datering	Vulling	N	M (gr)
	122L1	Paalkuil met kern - Kern				6	645

Staalname	Grondstof	Vorm	Datering	Opmerkingen	≥ 4mm	2mm	1mm	0,5mm	0,25mm	N	M (gr)
2022A471-S122L1-St31-0,25mm	Macroresten 0,25 mm	Spoorvulling	Onbepaald					1		1	248
2022A471-S122L1-St32-0,5mm	Macroresten 0,5 mm	Spoorvulling	Onbepaald					1		1	137
2022A471-S122L1-St33-1mm	Macroresten 1 mm	Spoorvulling	Onbepaald				1			1	19

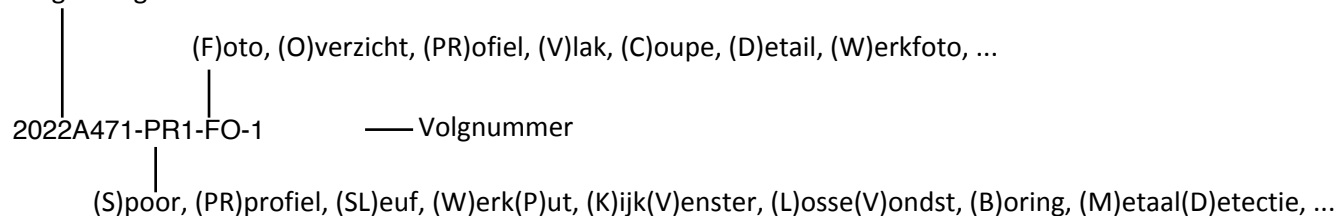
## Het archeologisch onderzoek aan de Vossebergen te Werchter

---

2022A471-S122L1-St34-2mm	Macroresten 2 mm	Spoorvulling	Onbepaald	1	1	8	
2022A471-S122L1-St35-4mm	Macroresten 4 mm	Spoorvulling	Onbepaald	1	1	10	
2022A471-S122L1-St22	Pollen Koker	Spoorvulling	Onbepaald		1	1	223

## Bijlage 4 Foto's (2022A471)

Vergunningsnummer



2022A471-LV1-Ce-FO-1	2022A471-S2-FV-2	2022A471-S6_5-FD-2	2022A471-S9-FV-2
2022A471-LV1-Ce-FO-2	2022A471-S2-FV-3	2022A471-S6_5-FD-3	2022A471-S9-FV-3
2022A471-S126_LV2-Li-FV-1	2022A471-S2-FV-4	2022A471-S6_5-FD-4	2022A471-S10-FC-1
2022A471-S126_LV2-Li-FV-2	2022A471-S3-FC-1	2022A471-S6_5-FD-5	2022A471-S10-FC-2
2022A471-PR1-FD-1	2022A471-S3-FC-2	2022A471-S6_5-FD-6	2022A471-S10-FC-3
2022A471-PR1-FO-1	2022A471-S3-FC-3	2022A471-S7-Ce-FO-1	2022A471-S10-FC-4
2022A471-PR1-FPR-1	2022A471-S3-FC-4	2022A471-S7-Ce-FO-2	2022A471-S10-FV-1
2022A471-PR1-FPR-2	2022A471-S3-FV-1	2022A471-S7-FC-1	2022A471-S10-FV-2
2022A471-PR1-FPR-3	2022A471-S3-FV-2	2022A471-S7-FC-2	2022A471-S10-FV-3
2022A471-PR2-FD-2	2022A471-S3-FV-3	2022A471-S7-FC-3	2022A471-S10-FV-4
2022A471-PR2-FD-3	2022A471-S3-FV-4	2022A471-S7-FC-4	2022A471-S11-FC-1
2022A471-PR2-FD-1	2022A471-S4-FC-1	2022A471-S7-FD-1	2022A471-S11-FC-2
2022A471-PR2-FO-1	2022A471-S4-FC-2	2022A471-S7-FD-2	2022A471-S11-FV-1
2022A471-PR2-FPR-6	2022A471-S4-FV-1	2022A471-S7-FD-3	2022A471-S11-FV-2
2022A471-PR2-FPR-5	2022A471-S4-FV-2	2022A471-S7-FD-4	2022A471-S11-FV-3
2022A471-PR2-FPR-4	2022A471-S4-FV-3	2022A471-S7-FD-5	2022A471-S11-FV-4
2022A471-PR2-FPR-3	2022A471-S4-FV-4	2022A471-S7-FD-6	2022A471-S12-13-FC-1
2022A471-PR2-FPR-2	2022A471-S5-6-FV-1	2022A471-S7-FV-1	2022A471-S12-13-FC-2
2022A471-PR2-FPR-1	2022A471-S5-6-FV-2	2022A471-S7-FV-2	2022A471-S12-13-FC-3
2022A471-PR2L1-Ce-Me-Li-FO-1	2022A471-S5-6-FV-3	2022A471-S7-FV-3	2022A471-S12-13-FC-4
2022A471-PR2L1-Ce-Me-Li-FO-2	2022A471-S5-6-FV-4	2022A471-S7-FV-4	2022A471-S12-FV-1
2022A471-PR2L2-Ce-FO-1	2022A471-S5-6-FV-5	2022A471-S7-FV-5	2022A471-S12-FV-2
2022A471-PR2L2-Ce-FO-2	2022A471-S5-6-FV-6	2022A471-S8-FC-1	2022A471-S12-FV-3
2022A471-S1-FC-1	2022A471-S5-6-FV-7	2022A471-S8-FC-2	2022A471-S12-FV-4
2022A471-S1-FC-2	2022A471-S5-6-FV-8	2022A471-S8-FC-3	2022A471-S13-FV-1
2022A471-S1-FC-3	2022A471-S5-6-FV-9	2022A471-S8-FC-4	2022A471-S13-FV-2
2022A471-S1-FC-4	2022A471-S5-6-FV-10	2022A471-S8-FC-5	2022A471-S13-FV-3
2022A471-S1-FV-1	2022A471-S5-6-FV-11	2022A471-S8-FC-6	2022A471-S13-FV-4
2022A471-S1-FV-2	2022A471-S6-Ce-FO-1	2022A471-S8-FV-1	2022A471-S14_34_15-FC-1
2022A471-S1-FV-3	2022A471-S6-Ce-FO-2	2022A471-S8-FV-2	2022A471-S14_34_15-FC-2
2022A471-S1-FV-4	2022A471-S6-Ce-FO-3	2022A471-S8-FV-3	2022A471-S14_34_15-FC-3
2022A471-S2-FC-1	2022A471-S6_5-FC-1	2022A471-S9-FC-1	2022A471-S14_34_15-FC-4
2022A471-S2-FC-2	2022A471-S6_5-FC-2	2022A471-S9-FC-2	2022A471-S14_34_15-FC-5
2022A471-S2-FC-3	2022A471-S6_5-FC-3	2022A471-S9-FC-3	2022A471-S14_34_15-FC-6
2022A471-S2-FC-4	2022A471-S6_5-FC-4	2022A471-S9-FC-4	2022A471-S14-15-FV-1
2022A471-S2-FV-1	2022A471-S6_5-FD-1	2022A471-S9-FV-1	2022A471-S14-15-FV-2

## Het archeologisch onderzoek aan de Vossebergen te Werchter

2022A471-S14-15-FV-3	2022A471-S19-FV-4	2022A471-S25-FV-1	2022A471-S28-FV-6
2022A471-S14-15-FV-4	2022A471-S20-FC-1	2022A471-S25-FV-2	2022A471-S28-FV-16
2022A471-S15-FC-1	2022A471-S20-FC-2	2022A471-S25-FV-3	2022A471-S28-FV-13
2022A471-S15-FC-2	2022A471-S20-FC-3	2022A471-S26-Ce-Na-FO-1	2022A471-S28-FV-15
2022A471-S15-FC-3	2022A471-S20-FC-4	2022A471-S26-Ce-Na-FO-2	2022A471-S28-FV-14
2022A471-S15-FC-4	2022A471-S20-FC-5	2022A471-S26-FV-1	2022A471-S29-FC-1
2022A471-S15-FC-5	2022A471-S20-FV-1	2022A471-S26-FV-2	2022A471-S29-FC-2
2022A471-S15-FC-6	2022A471-S20-FV-2	2022A471-S26-FV-3	2022A471-S29-FC-3
2022A471-S16-Fa-FO-1	2022A471-S20-FV-3	2022A471-S26-FV-4	2022A471-S29-FC-4
2022A471-S16-Fa-FO-2	2022A471-S20-FV-4	2022A471-S26-FV-5	2022A471-S29-FV-1
2022A471-S16-Fa-FO-3	2022A471-S21-FC-1	2022A471-S26-FW-1	2022A471-S29-FV-2
2022A471-S16-Fa-FO-4	2022A471-S21-FC-2	2022A471-S26-FW-2	2022A471-S29-FV-3
2022A471-S16-FC-1	2022A471-S21-FC-3	2022A471-S26-FW-3	2022A471-S29-FV-4
2022A471-S16-FC-2	2022A471-S21-FC-4	2022A471-S27-FC-1	2022A471-S30-Ce-FO-1
2022A471-S16-FC-3	2022A471-S21-FV-1	2022A471-S27-FC-2	2022A471-S30-Ce-FO-2
2022A471-S16-FC-4	2022A471-S21-FV-2	2022A471-S27-FC-3	2022A471-S30-Ce-FO-3
2022A471-S16-FV-1	2022A471-S21-FV-3	2022A471-S27-FC-4	2022A471-S30-Ce-FO-4
2022A471-S16-FV-2	2022A471-S21-FV-4	2022A471-S27-FC-5	2022A471-S30-Ce-FO-5
2022A471-S16-FV-3	2022A471-S22-FC-1	2022A471-S27-FC-6	2022A471-S30-FV-1
2022A471-S16-FV-4	2022A471-S22-FC-2	2022A471-S27-FV-1	2022A471-S30-FV-2
2022A471-S17-FC-1	2022A471-S22-FC-3	2022A471-S27-FV-2	2022A471-S30-FV-3
2022A471-S17-FC-2	2022A471-S22-FC-4	2022A471-S27-FV-3	2022A471-S30-FV-4
2022A471-S17-FC-3	2022A471-S22-FV-1	2022A471-S27-FV-4	2022A471-S30-FW-1
2022A471-S17-FC-4	2022A471-S22-FV-2	2022A471-S27-FV-5	2022A471-S30-FW-2
2022A471-S17-FV-1	2022A471-S22-FV-3	2022A471-S27-FV-7	2022A471-S31_28-FC-1
2022A471-S17-FV-2	2022A471-S22-FV-4	2022A471-S27-FV-6	2022A471-S31_28-FC-2
2022A471-S17-FV-3	2022A471-S23-FC-1	2022A471-S28-FC-1	2022A471-S31_28-FC-3
2022A471-S17-FV-4	2022A471-S23-FC-2	2022A471-S28-FC-2	2022A471-S31_28-FC-4
2022A471-S18-FC-1	2022A471-S23-FC-3	2022A471-S28-FC-3	2022A471-S31_28-FC-5
2022A471-S18-FC-2	2022A471-S23-FC-4	2022A471-S28-FC-4	2022A471-S31_28-FC-6
2022A471-S18-FC-3	2022A471-S23-FV-1	2022A471-S28-FC-5	2022A471-S31_28-FC-7
2022A471-S18-FC-4	2022A471-S23-FV-2	2022A471-S28-FC-6	2022A471-S31-FV-1
2022A471-S18-FC-5	2022A471-S23-FV-3	2022A471-S28-FD-1	2022A471-S31-FV-2
2022A471-S18-FV-1	2022A471-S23-FV-4	2022A471-S28-FV-1	2022A471-S31-FV-3
2022A471-S18-FV-2	2022A471-S24-FC-1	2022A471-S28-FV-2	2022A471-S31-FV-4
2022A471-S18-FV-3	2022A471-S24-FC-2	2022A471-S28-FV-3	2022A471-S32_30-FC-1
2022A471-S18-FV-4	2022A471-S24-FC-3	2022A471-S28-FV-4	2022A471-S32_30-FC-2
2022A471-S19-FC-1	2022A471-S24-FC-4	2022A471-S28-FV-5	2022A471-S32_30-FC-3
2022A471-S19-FC-2	2022A471-S24-FV-1	2022A471-S28-FV-12	2022A471-S32_30-FC-4
2022A471-S19-FC-3	2022A471-S24-FV-2	2022A471-S28-FV-11	2022A471-S32_30-FC-5
2022A471-S19-FC-4	2022A471-S24-FV-3	2022A471-S28-FV-9	2022A471-S32_30-FC-6
2022A471-S19-FV-1	2022A471-S24-FV-4	2022A471-S28-FV-10	2022A471-S32-FV-1
2022A471-S19-FV-2	2022A471-S25-FC-1	2022A471-S28-FV-8	2022A471-S32-FV-2
2022A471-S19-FV-3	2022A471-S25-FC-2	2022A471-S28-FV-7	2022A471-S32-FV-3

## Het archeologisch onderzoek aan de Vossebergen te Werchter

2022A471-S32-FV-4	2022A471-S35-36-FV-3	2022A471-S41-42-FC-5	2022A471-S44-FC-1
2022A471-S32-FV-5	2022A471-S35-36-FV-1	2022A471-S41-42-FC-1	2022A471-S44-FV-4
2022A471-S33-FC-1	2022A471-S35-FV-6	2022A471-S41-FC-3	2022A471-S44-FV-3
2022A471-S33-FC-2	2022A471-S35-FW-1	2022A471-S41-FC-2	2022A471-S44-FV-1
2022A471-S33-FC-3	2022A471-S36_35-FC-2	2022A471-S41-42-FC-2	2022A471-S44-FV-2
2022A471-S33-FC-4	2022A471-S36_35-FC-3	2022A471-S41-FC-1	2022A471-S45-FC-1
2022A471-S33-FC-5	2022A471-S36_35-FC-1	2022A471-S41-FC-5	2022A471-S45-FC-2
2022A471-S33-FC-6	2022A471-S37-FC-1	2022A471-S41-FC-4	2022A471-S45-FD-1
2022A471-S33-FC-7	2022A471-S37-FC-4	2022A471-S41-42-FC-7	2022A471-S45-FD-2
2022A471-S33-FC-8	2022A471-S37-FC-2	2022A471-S41-42-FC-11	2022A471-S45-FV-1
2022A471-S33-FD-1	2022A471-S37-FC-3	2022A471-S41-42-FC-12	2022A471-S45-FV-3
2022A471-S33-FD-2	2022A471-S37-FV-4	2022A471-S41-42-FC-14	2022A471-S45-FV-2
2022A471-S33-FD-3	2022A471-S37-FV-3	2022A471-S41-42-FC-13	2022A471-S45-FV-4
2022A471-S33-FD-4	2022A471-S37-FV-2	2022A471-S41-42-FC-10	2022A471-S46VL2-FC-1
2022A471-S33-FD-5	2022A471-S37-FV-1	2022A471-S41-42-FC-9	2022A471-S46VL2-FC-2
2022A471-S33-FD-6	2022A471-S38-FC-2	2022A471-S41-42-FC-8	2022A471-S46VL2-FC-3
2022A471-S33-FD-7	2022A471-S38-FC-3	2022A471-S41-42-FD-1	2022A471-S46VL2-FC-4
2022A471-S33-FD-8	2022A471-S38-FC-4	2022A471-S41-42-FD-2	2022A471-S46VL2-FV-2
2022A471-S33-FD-9	2022A471-S38-FC-1	2022A471-S41-42-FD-3	2022A471-S46VL2-FV-3
2022A471-S33-FD-10	2022A471-S38-FV-2	2022A471-S41-42-FV-1	2022A471-S46VL2-FV-4
2022A471-S33-FD-11	2022A471-S38-FV-1	2022A471-S41-42-FV-2	2022A471-S46VL2-FV-1
2022A471-S33-FD-12	2022A471-S38-FV-3	2022A471-S41-42-FV-6	2022A471-S47VL2-FC-1
2022A471-S33-FD-13	2022A471-S38-FV-4	2022A471-S41-42-FV-5	2022A471-S47VL2-FC-2
2022A471-S33-FD-14	2022A471-S39-FC-2	2022A471-S41-42-FV-7	2022A471-S47VL2-FV-1
2022A471-S33-FD-15	2022A471-S39-FC-1	2022A471-S41-42-FV-8	2022A471-S47VL2-FV-4
2022A471-S33-FV-1	2022A471-S39-FV-3	2022A471-S41-42-FV-4	2022A471-S47VL2-FV-3
2022A471-S33-FV-2	2022A471-S39-FV-4	2022A471-S41-42-FV-3	2022A471-S47VL2-FV-2
2022A471-S33-FV-3	2022A471-S39-FV-1	2022A471-S41-42-FV-9	2022A471-S48VL2-FC-5
2022A471-S35-Bo-FO-1	2022A471-S39-FV-2	2022A471-S41-42-FV-10	2022A471-S48VL2-FC-4
2022A471-S35-Bo-FO-2	2022A471-S40-FC-2	2022A471-S42-FV-4	2022A471-S48VL2-FC-2
2022A471-S35-FC-1	2022A471-S40-FC-1	2022A471-S42-FV-1	2022A471-S48VL2-FC-3
2022A471-S35-FC-2	2022A471-S40-FV-2	2022A471-S42-FV-2	2022A471-S48VL2-FC-1
2022A471-S35-FC-4	2022A471-S40-FV-1	2022A471-S42-FV-3	2022A471-S48VL2-FV-4
2022A471-S35-FC-3	2022A471-S40-FV-4	2022A471-S42-Me-FO-1	2022A471-S48VL2-FV-3
2022A471-S35_65-FC-4	2022A471-S40-FV-3	2022A471-S42-Me-FO-2	2022A471-S48VL2-FV-1
2022A471-S35_65-FC-1	2022A471-S41-Ce-Fa-FO-1	2022A471-S43-FC-1	2022A471-S48VL2-FV-2
2022A471-S35_65-FC-2	2022A471-S41-Ce-Fa-FO-2	2022A471-S43-FC-2	2022A471-S48VL2-FV-5
2022A471-S35_65-FC-3	2022A471-S41-Ce-Fa-FO-3	2022A471-S43-FC-3	2022A471-S49-FC-10
2022A471-S35-FV-1	2022A471-S41-Ce-Fa-FO-4	2022A471-S43-FC-4	2022A471-S49-FC-9
2022A471-S35-FV-3	2022A471-S41-Ce-Fa-FO-5	2022A471-S43-FV-4	2022A471-S49-FC-5
2022A471-S35-FV-2	2022A471-S41-Ce-Fa-FO-6	2022A471-S43-FV-3	2022A471-S49-FC-6
2022A471-S35-FV-4	2022A471-S41-42-FC-3	2022A471-S43-FV-1	2022A471-S49-FC-4
2022A471-S35-FV-5	2022A471-S41-42-FC-4	2022A471-S43-FV-2	2022A471-S49-FC-3
2022A471-S35-36-FV-2	2022A471-S41-42-FC-6	2022A471-S44-FC-2	2022A471-S49-FC-8

2022A471-S49-FC-7	2022A471-S53-FV-1	2022A471-S57-FV-4	2022A471-S63-FV-1
2022A471-S49-FC-1	2022A471-S53-FV-4	2022A471-S57-FV-3	2022A471-S63-FV-2
2022A471-S49-FC-2	2022A471-S54-FC-3	2022A471-S57-FV-2	2022A471-S63-FV-3
2022A471-S49-FD-5	2022A471-S54-FC-4	2022A471-S57-FV-1	2022A471-S63-FV-4
2022A471-S49-FD-4	2022A471-S54-FC-2	2022A471-S58VL2-FC-1	2022A471-S64-FC-2
2022A471-S49-FD-2	2022A471-S54-FC-1	2022A471-S58VL2-FC-2	2022A471-S64-FC-1
2022A471-S49-FD-3	2022A471-S54-FV-1	2022A471-S58VL2-FV-1	2022A471-S64-FV-4
2022A471-S49-FD-1	2022A471-S54-FV-4	2022A471-S58VL2-FV-2	2022A471-S64-FV-3
2022A471-S49-FV-1	2022A471-S54-FV-2	2022A471-S58VL2-FV-4	2022A471-S64-FV-2
2022A471-S49-FV-2	2022A471-S54-FV-3	2022A471-S58VL2-FV-3	2022A471-S64-FV-1
2022A471-S50_49-FC-4	2022A471-S55-Ce-Me-FO-1	2022A471-S59-FC-3	2022A471-S65_35-FV-1
2022A471-S50_49-FC-3	2022A471-S55-Ce-Me-FO-2	2022A471-S59-FC-4	2022A471-S65_35-FV-4
2022A471-S50_49-FC-5	2022A471-S55-Ce-Me-FO-3	2022A471-S59-FC-1	2022A471-S65_35-FV-3
2022A471-S50_49-FC-1	2022A471-S55-Ce-Me-FO-4	2022A471-S59-FC-2	2022A471-S65_35-FV-2
2022A471-S50_49-FC-2	2022A471-S55-FC-1	2022A471-S59-FV-2	2022A471-S66-FC-2
2022A471-S50-FV-4	2022A471-S55-FC-2	2022A471-S59-FV-3	2022A471-S66-FC-3
2022A471-S50-FV-3	2022A471-S55-FC-3	2022A471-S59-FV-1	2022A471-S66-FC-1
2022A471-S50-FV-2	2022A471-S55-FC-4	2022A471-S60-FC-3	2022A471-S66-FC-4
2022A471-S50-FV-1	2022A471-S55-FV-6	2022A471-S60-FC-2	2022A471-S66-FV-2
2022A471-S51-FC-3	2022A471-S55-FV-5	2022A471-S60-FC-1	2022A471-S66-FV-3
2022A471-S51-FC-1	2022A471-S55-FV-3	2022A471-S60-FV-1	2022A471-S66-FV-1
2022A471-S51-FC-2	2022A471-S55-FV-2	2022A471-S60-FV-2	2022A471-S66-FV-4
2022A471-S51-FC-4	2022A471-S55-FV-4	2022A471-S61-FC-2	2022A471-S67-FC-3
2022A471-S51-FD-1	2022A471-S55-FV-1	2022A471-S61-FC-1	2022A471-S67-FC-2
2022A471-S51-FD-2	2022A471-S55-FW-1	2022A471-S61-FI-FO-1	2022A471-S67-FC-1
2022A471-S51-FV-2	2022A471-S56-Ce-Me-Fa-FO-1	2022A471-S61-FI-FO-2	2022A471-S67-FC-4
2022A471-S51-FV-3	2022A471-S56-Ce-Me-Fa-FO-2	2022A471-S61-FI-FO-3	2022A471-S67-FV-1
2022A471-S51-FV-4	2022A471-S56-Ce-Me-Fa-FO-3	2022A471-S61-FV-1	2022A471-S67-FV-2
2022A471-S51-FV-1	2022A471-S56-Ce-Me-Fa-FO-4	2022A471-S61-FV-2	2022A471-S67-FV-3
2022A471-S52-FC-4	2022A471-S56-Ce-Me-Fa-FO-5	2022A471-S61-FV-3	2022A471-S67-FV-4
2022A471-S52-FC-1	2022A471-S56-Ce-Me-Fa-FO-6	2022A471-S62-FC-1	2022A471-S68-FC-2
2022A471-S52-FC-3	2022A471-S56-FC-3	2022A471-S62-FC-3	2022A471-S68-FC-3
2022A471-S52-FC-2	2022A471-S56-FC-4	2022A471-S62-FC-2	2022A471-S68-FC-1
2022A471-S52-FV-1	2022A471-S56-FC-2	2022A471-S62-FC-4	2022A471-S68-FC-4
2022A471-S52-FV-3	2022A471-S56-FC-1	2022A471-S62-FV-4	2022A471-S68-FV-4
2022A471-S52-FV-2	2022A471-S56-FD-1	2022A471-S62-FV-2	2022A471-S68-FV-2
2022A471-S52-FV-4	2022A471-S56-FV-2	2022A471-S62-FV-3	2022A471-S68-FV-3
2022A471-S53-FC-2	2022A471-S56-FV-1	2022A471-S62-FV-1	2022A471-S68-FV-1
2022A471-S53-FC-3	2022A471-S56-FV-3	2022A471-S63-FC-6	2022A471-S69-FC-2
2022A471-S53-FC-1	2022A471-S56-FV-4	2022A471-S63-FC-1	2022A471-S69-FC-3
2022A471-S53-FC-5	2022A471-S57-FC-2	2022A471-S63-FC-3	2022A471-S69-FC-4
2022A471-S53-FC-4	2022A471-S57-FC-1	2022A471-S63-FC-2	2022A471-S69-FC-1
2022A471-S53-FV-2	2022A471-S57-FC-3	2022A471-S63-FC-4	2022A471-S69-FV-4
2022A471-S53-FV-3	2022A471-S57-FC-4	2022A471-S63-FC-5	2022A471-S69-FV-1

## Het archeologisch onderzoek aan de Vossebergen te Werchter

2022A471-S69-FV-3	2022A471-S73-FV-4	2022A471-S78-FC-2	2022A471-S83-FC-2
2022A471-S69-FV-2	2022A471-S73-FV-3	2022A471-S78-FC-1	2022A471-S83-FC-3
2022A471-S70-FV-1	2022A471-S73-FV-1	2022A471-S78-FV-1	2022A471-S83-FC-5
2022A471-S70-FV-2	2022A471-S73-FV-2	2022A471-S78-FV-2	2022A471-S83-FC-4
2022A471-S70-FV-3	2022A471-S74-FC-3	2022A471-S78-FV-3	2022A471-S84_86_100_121-Ce-FO-1
2022A471-S70-FV-4	2022A471-S74-FC-2	2022A471-S78-FV-4	2022A471-S84_86_100_121-Ce-FW-1
2022A471-S71_70-FC-4	2022A471-S74-FC-1	2022A471-S78-FV-5	2022A471-S84_86_100_121-Ce-FW-2
2022A471-S71_70-FC-3	2022A471-S74-FC-4	2022A471-S79-FD-1	2022A471-S84_86_100_121-Ce-FW-3
2022A471-S71_70-FC-2	2022A471-S74-FV-2	2022A471-S79-FI-FO-4	2022A471-S84-FC-3
2022A471-S71_70-FC-1	2022A471-S74-FV-1	2022A471-S79-FI-FO-1	2022A471-S84-FC-2
2022A471-S71-FV-1	2022A471-S74-FV-3	2022A471-S79-FI-FO-3	2022A471-S84-FC-1
2022A471-S71-FV-4	2022A471-S74-FV-4	2022A471-S79-FI-FO-2	2022A471-S84-FD-3
2022A471-S71-FV-3	2022A471-S75-FC-1	2022A471-S79-FV-2	2022A471-S84-FD-2
2022A471-S71-FV-2	2022A471-S75-FC-2	2022A471-S79-FV-1	2022A471-S84-FD-1
2022A471-S72-Ce-FO-1	2022A471-S75-FC-3	2022A471-S79-FV-3	2022A471-S84-FV-6
2022A471-S72-Ce-FO-2	2022A471-S75-FC-4	2022A471-S79-FV-4	2022A471-S84-FV-5
2022A471-S72_80-FC-1	2022A471-S75-FC-6	2022A471-S79-FW-6	2022A471-S84-FV-4
2022A471-S72_80-FC-3	2022A471-S75-FC-5	2022A471-S79-FW-5	2022A471-S84-FV-3
2022A471-S72_80-FC-2	2022A471-S75-FV-4	2022A471-S79-FW-7	2022A471-S84-FV-2
2022A471-S72-FC-4	2022A471-S75-FV-3	2022A471-S79-FW-4	2022A471-S84-FV-1
2022A471-S72_80-FC-8	2022A471-S75-FV-2	2022A471-S79-FW-8	2022A471-S85-FC-2
2022A471-S72-FC-3	2022A471-S75-FV-1	2022A471-S79-FW-2	2022A471-S85-FC-1
2022A471-S72_80-FC-7	2022A471-S76-FV-1	2022A471-S79-FW-3	2022A471-S85-FV-4
2022A471-S72_80-FC-6	2022A471-S76-FV-4	2022A471-S79-FW-1	2022A471-S85-FV-3
2022A471-S72-FC-2	2022A471-S76-FV-3	2022A471-S80-FV-1	2022A471-S85-FV-2
2022A471-S72_80-FC-4	2022A471-S76-FV-2	2022A471-S80-FV-2	2022A471-S85-FV-1
2022A471-S72-FC-1	2022A471-S77-FC-3	2022A471-S80-FV-3	2022A471-S86-FC-3
2022A471-S72_80-FC-5	2022A471-S77-FC-4	2022A471-S80-FV-4	2022A471-S86-FC-2
2022A471-S72_76-FV-1	2022A471-S77-FC-2	2022A471-S81-FC-2	2022A471-S86-FC-1
2022A471-S72-FV-3	2022A471-S77-FC-1	2022A471-S81-FC-1	2022A471-S86-FD-2
2022A471-S72-FV-2	2022A471-S77-FC-5	2022A471-S81-FO-1	2022A471-S86-FD-1
2022A471-S72-FV-1	2022A471-S77-FV-8	2022A471-S81-FV-1	2022A471-S86-FV-9
2022A471-S72_76-FW-6	2022A471-S77-FV-7	2022A471-S81-FV-2	2022A471-S86-FV-8
2022A471-S72_76-FW-1	2022A471-S77-FV-9	2022A471-S81-FV-4	2022A471-S86-FV-7
2022A471-S72_76-FW-2	2022A471-S77-FV-3	2022A471-S81-FV-3	2022A471-S86-FV-6
2022A471-S72_76-FW-3	2022A471-S77-FV-6	2022A471-S82-FC-4	2022A471-S86-FV-4
2022A471-S72_76-FW-5	2022A471-S77-FV-5	2022A471-S82-FC-2	2022A471-S86-FV-5
2022A471-S72_76-FW-4	2022A471-S77-FV-4	2022A471-S82-FC-3	2022A471-S86-FV-3
2022A471-S72-FW-2	2022A471-S77-FV-1	2022A471-S82-FC-1	2022A471-S86-FV-2
2022A471-S72-FW-1	2022A471-S77-FV-2	2022A471-S82-FV-3	2022A471-S86-FV-1
2022A471-S73-FC-1	2022A471-S78-FC-5	2022A471-S82-FV-4	2022A471-S87-FC-4
2022A471-S73-FC-4	2022A471-S78-FC-4	2022A471-S82-FV-1	2022A471-S87-FC-3
2022A471-S73-FC-2	2022A471-S78-FC-3	2022A471-S82-FV-2	2022A471-S87-FC-2
2022A471-S73-FC-3	2022A471-S78-FC-6	2022A471-S83-FC-1	2022A471-S87-FC-1

## Het archeologisch onderzoek aan de Vossebergen te Werchter

2022A471-S87-FV-4	2022A471-S92-FV-3	2022A471-S99-FV-3	2022A471-S103-FC-1
2022A471-S87-FV-3	2022A471-S92-FV-2	2022A471-S99-FV-2	2022A471-S103-FV-4
2022A471-S87-FV-2	2022A471-S92-FV-1	2022A471-S99-FV-1	2022A471-S103-FV-3
2022A471-S87-FV-1	2022A471-S93-FC-1	2022A471-S100-FC-4	2022A471-S103-FV-2
2022A471-S88-FC-4	2022A471-S93-FO-1	2022A471-S100-FC-3	2022A471-S103-FV-1
2022A471-S88-FC-3	2022A471-S93-FV-4	2022A471-S100-FC-2	2022A471-S104-FC-4
2022A471-S88-FC-2	2022A471-S93-FV-3	2022A471-S100-FC-1	2022A471-S104-FC-3
2022A471-S88-FC-1	2022A471-S93-FV-2	2022A471-S100-FD-1	2022A471-S104-FC-2
2022A471-S88-FV-4	2022A471-S93-FV-1	2022A471-S100-FV-4	2022A471-S104-FC-1
2022A471-S88-FV-3	2022A471-S94-FC-1	2022A471-S100-FV-3	2022A471-S104-FV-4
2022A471-S88-FV-2	2022A471-S94-FV-3	2022A471-S100-FV-2	2022A471-S104-FV-3
2022A471-S88-FV-1	2022A471-S94-FV-4	2022A471-S100-FV-1	2022A471-S104-FV-2
2022A471-S89-FC-4	2022A471-S94-FV-2	2022A471-S100-FV-5	2022A471-S104-FV-1
2022A471-S89-FC-3	2022A471-S94-FV-1	2022A471-S100-FV-6	2022A471-S105-FC-3
2022A471-S89-FC-2	2022A471-S95-FC-1	2022A471-S100-FV-7	2022A471-S105-FC-4
2022A471-S89-FC-1	2022A471-S95-FV-3	2022A471-S100-FV-8	2022A471-S105-FC-2
2022A471-S89-FV-4	2022A471-S95-FV-4	2022A471-S101_116-Ce-FO-1	2022A471-S105-FC-1
2022A471-S89-FV-3	2022A471-S95-FV-2	2022A471-S101_116-Ce-FO-2	2022A471-S105-FV-4
2022A471-S89-FV-2	2022A471-S95-FV-1	2022A471-S101-Ce-FO-1	2022A471-S105-FV-3
2022A471-S89-FV-1	2022A471-S96-FC-3	2022A471-S101-Ce-FO-2	2022A471-S105-FV-2
2022A471-S90-FC-4	2022A471-S96-FC-1	2022A471-S101-Ce-FO-3	2022A471-S105-FV-1
2022A471-S90-FC-3	2022A471-S96-FC-2	2022A471-S101-Ce-FO-4	2022A471-S106-FC-2
2022A471-S90-FC-2	2022A471-S96-FV-4	2022A471-S101-FC-4	2022A471-S106-FC-1
2022A471-S90-FC-1	2022A471-S96-FV-3	2022A471-S101-FC-3	2022A471-S106-FV-4
2022A471-S90-FV-4	2022A471-S96-FV-2	2022A471-S101-FC-2	2022A471-S106-FV-3
2022A471-S90-FV-3	2022A471-S96-FV-1	2022A471-S101-FC-1	2022A471-S106-FV-2
2022A471-S90-FV-2	2022A471-S97-98-FC-4	2022A471-S101-FD-3	2022A471-S106-FV-1
2022A471-S90-FV-1	2022A471-S97-98-FC-3	2022A471-S101-FD-2	2022A471-S107-108-FC-4
2022A471-S91-FC-4	2022A471-S97-98-FC-2	2022A471-S101-FD-1	2022A471-S107-108-FC-3
2022A471-S91-FC-3	2022A471-S97-98-FC-1	2022A471-S101-FV-4	2022A471-S107-108-FC-2
2022A471-S91-FC-2	2022A471-S97-98-FD-3	2022A471-S101-FV-3	2022A471-S107-108-FC-1
2022A471-S91-FC-1	2022A471-S97-98-FD-2	2022A471-S101-FV-2	2022A471-S107-108-FV-4
2022A471-S91-FV-8	2022A471-S97-98-FD-1	2022A471-S101-FV-1	2022A471-S107-108-FV-3
2022A471-S91-FV-9	2022A471-S97-98-FV-6	2022A471-S102-FC-4	2022A471-S107-108-FV-2
2022A471-S91-FV-7	2022A471-S97-98-FV-4	2022A471-S102-FC-3	2022A471-S107-108-FV-1
2022A471-S91-FV-6	2022A471-S97-98-FV-5	2022A471-S102-FC-1	2022A471-S109-FC-4
2022A471-S91-FV-5	2022A471-S97-98-FV-3	2022A471-S102-FC-2	2022A471-S109-FC-3
2022A471-S91-FV-4	2022A471-S97-98-FV-2	2022A471-S102-FV-4	2022A471-S109-FC-2
2022A471-S91-FV-3	2022A471-S97-98-FV-1	2022A471-S102-FV-3	2022A471-S109-FC-1
2022A471-S91-FV-2	2022A471-S99-FC-4	2022A471-S102-FV-2	2022A471-S109-FV-4
2022A471-S91-FV-1	2022A471-S99-FC-3	2022A471-S102-FV-1	2022A471-S109-FV-3
2022A471-S92-FC-1	2022A471-S99-FC-2	2022A471-S103-FC-4	2022A471-S109-FV-2
2022A471-S92-FO-1	2022A471-S99-FC-1	2022A471-S103-FC-3	2022A471-S109-FV-1
2022A471-S92-FV-4	2022A471-S99-FV-4	2022A471-S103-FC-2	2022A471-S110-FC-1

## Het archeologisch onderzoek aan de Vossebergen te Werchter

2022A471-S110-FV-4	2022A471-S121-FV-1	2022A471-S126-FV-5	2022A471-WP2-FO-14
2022A471-S110-FV-3	2022A471-S121-FV-2	2022A471-S126-FV-4	2022A471-WP2-FO-15
2022A471-S110-FV-2	2022A471-S121-FV-3	2022A471-S126-FV-3	2022A471-WP2-FO-13
2022A471-S110-FV-1	2022A471-S121-FV-4	2022A471-S126-FV-2	2022A471-WP2-FO-8
2022A471-S111-FC-2	2022A471-S122-FC-4	2022A471-S126-FV-1	2022A471-WP2-FO-7
2022A471-S111-FC-1	2022A471-S122-FC-3	2022A471-S126-FW-1	2022A471-WP2-FO-12
2022A471-S111-FD-1	2022A471-S122-FC-2	2022A471-WP1-FO-1	2022A471-WP2-FO-16
2022A471-S111-FV-2	2022A471-S122-FC-1	2022A471-WP1-FO-2	2022A471-WP2-FO-9
2022A471-S111-FV-1	2022A471-S122-FV-1	2022A471-WP1-FO-3	2022A471-WP2-FO-10
2022A471-S112-FC-1	2022A471-S122-FV-2	2022A471-WP1-FO-4	2022A471-WP2-FO-17
2022A471-S112-FC-2	2022A471-S122-FV-3	2022A471-WP1-FO-5	2022A471-WP2-FO-19
2022A471-S112-FC-3	2022A471-S122-FV-4	2022A471-WP1-FO-6	2022A471-WP2-FO-11
2022A471-S112-FC-4	2022A471-S123-FC-4	2022A471-WP1-FO-7	2022A471-WP2-FO-18
2022A471-S112-FV-1	2022A471-S123-FC-3	2022A471-WP1-FO-8	2022A471-WP2-FO-4
2022A471-S112-FV-2	2022A471-S123-FC-2	2022A471-WP1-FO-9	2022A471-WP2-FO-48
2022A471-S113-FC-1	2022A471-S123-FC-1	2022A471-WP1-FO-10	2022A471-WP2-FO-47
2022A471-S113-FC-2	2022A471-S123-FV-1	2022A471-WP1-FO-11	2022A471-WP2-FO-3
2022A471-S113-FC-3	2022A471-S123-FV-2	2022A471-WP1-FO-12	2022A471-WP2-FO-40
2022A471-S113-FC-4	2022A471-S123-FV-3	2022A471-WP1-FO-13	2022A471-WP2-FO-5
2022A471-S116-FC-1	2022A471-S123-FV-4	2022A471-WP1-FO-14	2022A471-WP2-FO-45
2022A471-S116-FC-2	2022A471-S124-FC-4	2022A471-WP1-FO-15	2022A471-WP2-FO-46
2022A471-S116-FC-3	2022A471-S124-FC-3	2022A471-WP1-FO-16	2022A471-WP2-FO-39
2022A471-S116-FC-4	2022A471-S124-FC-2	2022A471-WP2-FO-29	2022A471-WP2-FO-30
2022A471-S117-FC-1	2022A471-S124-FC-1	2022A471-WP2-FO-34	2022A471-WP2-FO-42
2022A471-S117-FC-2	2022A471-S124-FV-1	2022A471-WP2-FO-33	2022A471-WP2-FO-41
2022A471-S117-FD-1	2022A471-S124-FV-2	2022A471-WP2-FO-28	2022A471-WP2-FO-43
2022A471-S117-FW-1	2022A471-S124-FV-3	2022A471-WP2-FO-31	2022A471-WP2-FO-44
2022A471-S119-Ce-FO-1	2022A471-S124-FV-4	2022A471-WP2-FO-26	2022A471-WP2-FW-2
2022A471-S119-Ce-FO-2	2022A471-S125-FC-4	2022A471-WP2-FO-27	2022A471-WP2-FW-1
2022A471-S119-FC-4	2022A471-S125-FC-3	2022A471-WP2-FO-32	2022A471-WP3-FO-20
2022A471-S119-FC-3	2022A471-S125-FC-2	2022A471-WP2-FO-36	2022A471-WP3-FO-9
2022A471-S119-FC-2	2022A471-S125-FC-1	2022A471-WP2-FO-49	2022A471-WP3-FO-10
2022A471-S119-FC-1	2022A471-S125-FV-1	2022A471-WP2-FO-35	2022A471-WP3-FO-19
2022A471-S119-FV-1	2022A471-S125-FV-2	2022A471-WP2-FO-37	2022A471-WP3-FO-22
2022A471-S119-FV-2	2022A471-S125-FV-3	2022A471-WP2-FO-2	2022A471-WP3-FO-21
2022A471-S120-FC-1	2022A471-S125-FV-4	2022A471-WP2-FO-1	2022A471-WP3-FO-1
2022A471-S120-FC-2	2022A471-S126-FC-4	2022A471-WP2-FO-38	2022A471-WP3-FO-2
2022A471-S120-FC-3	2022A471-S126-FC-3	2022A471-WP2-FO-20	2022A471-WP3-FO-6
2022A471-S120-FC-4	2022A471-S126-FC-2	2022A471-WP2-FO-21	2022A471-WP3-FO-5
2022A471-S120-FC-5	2022A471-S126-FC-1	2022A471-WP2-FO-23	2022A471-WP3-FO-3
2022A471-S121-FC-4	2022A471-S126-FD-2	2022A471-WP2-FO-22	2022A471-WP3-FO-4
2022A471-S121-FC-3	2022A471-S126-FD-1	2022A471-WP2-FO-24	2022A471-WP3-FO-26
2022A471-S121-FC-2	2022A471-S126-FV-7	2022A471-WP2-FO-6	2022A471-WP3-FO-27
2022A471-S121-FC-1	2022A471-S126-FV-6	2022A471-WP2-FO-25	2022A471-WP3-FO-25

Het archeologisch onderzoek aan de Vossebergen te Werchter

2022A471-WP3-FO-23	2022A471-WP4-FO-26	2022A471-WP5-FO-19
2022A471-WP3-FO-28	2022A471-WP4-FO-24	2022A471-WP5-FO-18
2022A471-WP3-FO-29	2022A471-WP4-FO-25	2022A471-WP5-FO-17
2022A471-WP3-FO-24	2022A471-WP4-FO-23	2022A471-WP5-FO-16
2022A471-WP3-FO-30	2022A471-WP4-FO-22	2022A471-WP5-FO-14
2022A471-WP3-FO-16	2022A471-WP4-FO-21	2022A471-WP5-FO-15
2022A471-WP3-FO-15	2022A471-WP4-FO-20	2022A471-WP5-FW-1
2022A471-WP3-FO-17	2022A471-WP4-FO-19	2022A471-WP5-FW-2
2022A471-WP3-FO-18	2022A471-WP4-FO-18	2022A471-WP5-FW-3
2022A471-WP3-FO-14	2022A471-WP4-FO-17	2022A471-WP5-FW-4
2022A471-WP3-FO-8	2022A471-WP4-FO-16	
2022A471-WP3-FO-7	2022A471-WP4-FO-15	
2022A471-WP3-FO-13	2022A471-WP4-FO-14	
2022A471-WP3-FO-11	2022A471-WP4-FO-13	
2022A471-WP3-FO-12	2022A471-WP4-FO-12	
2022A471-WP3-FW-3	2022A471-WP4-FO-11	
2022A471-WP3-FW-2	2022A471-WP4-FO-10	
2022A471-WP3-FW-1	2022A471-WP4-FO-9	
2022A471-WP3-FW-4	2022A471-WP4-FO-8	
2022A471-WP4-FO-51	2022A471-WP4-FO-7	
2022A471-WP4-FO-50	2022A471-WP4-FO-6	
2022A471-WP4-FO-49	2022A471-WP4-FO-5	
2022A471-WP4-FO-48	2022A471-WP4-FO-3	
2022A471-WP4-FO-47	2022A471-WP4-FO-4	
2022A471-WP4-FO-46	2022A471-WP4-FO-2	
2022A471-WP4-FO-45	2022A471-WP4-FO-1	
2022A471-WP4-FO-43	2022A471-WP5-FO-1	
2022A471-WP4-FO-44	2022A471-WP5-FO-2	
2022A471-WP4-FO-42	2022A471-WP5-FO-3	
2022A471-WP4-FO-41	2022A471-WP5-FO-4	
2022A471-WP4-FO-40	2022A471-WP5-FO-5	
2022A471-WP4-FO-38	2022A471-WP5-FO-6	
2022A471-WP4-FO-39	2022A471-WP5-FO-7	
2022A471-WP4-FO-37	2022A471-WP5-FO-8	
2022A471-WP4-FO-36	2022A471-WP5-FO-9	
2022A471-WP4-FO-34	2022A471-WP5-FO-10	
2022A471-WP4-FO-35	2022A471-WP5-FO-11	
2022A471-WP4-FO-33	2022A471-WP5-FO-12	
2022A471-WP4-FO-32	2022A471-WP5-FO-13	
2022A471-WP4-FO-31	2022A471-WP5-FO-24	
2022A471-WP4-FO-30	2022A471-WP5-FO-23	
2022A471-WP4-FO-29	2022A471-WP5-FO-22	
2022A471-WP4-FO-28	2022A471-WP5-FO-21	
2022A471-WP4-FO-27	2022A471-WP5-FO-20	

## Bijlage 1 Sporen (2022A471)

Afkortingen:

Aflijning/Bewaring:		Kleur:		Kleur:		Textuur/Materiaal:		Bijmenging/Mortel:		Vondsten:	
Re	Redelijk	L-	Licht	gevl.	gevekt	Re	Redelijk	AM	Asmortel	An	Andere
Ze	Zeer	D-	Donker	gelg.	gelaagd	Ze	Zeer	Be	Beton	Bo	Bouwceramiek
				gebr.	gebrokkeld			Bio	Bioturbatie	Ce	Ceramiek
S	Scherp	Br	Bruin	hom.	homogeen	Za	Zacht	Bo	Bouwceramiek	Fa	Faunaresten
D	Diffuus	Gl	Geel	het.	heterogeen	Ha	Hard	BS	Baksteen	Fl	Floraresten
		Go	Groen			Va	Vast	Ce	Cement	Gl	Glas
Sl	Slecht	Gr	Grijs	m.	met	Lo	Los	CeM	Cementmortel	Ku	Kunststof
Ma	Matig	Or	Oranje	k.	kern			DKS	Doornikse KS	Le	Leder
Go	Goed	Rd	Rood	r.	rand	Z	Zand (50µm-2mm)	PO4	Fosfaat	Li	Litisch materiaal
		Wt	Wit			L	Leem (2-50µm)	Fe	IJzerconcreties	Me	Metaal
Var	Variabel	Zw	Zwart	vl.	vlekken	K	Klei (<2µm)	Fe-slak	IJzerslak	Mu	Munt
Nat	Niet af te lijnen	Bl	Blauw	sp.	spikkels	V	Veen	FeZS	IJzerzandsteen	Na	Natuursteen
		Pr	Purper	lg.	lagen	Kei	Keien	Glau	Glaucaniet	Pi	Pijpaarde
		Rz	Roze	lgs.	laagjes	Gr	Grind	HK	Houtskool	St	Staalname
				br.	brokken			Hu	Humus		
				fi.	fibers			K	Kalk		
				to.	tongen	Bew.	Bewerkt	KM	Kalkmortel		
				wi.	wiggen	Onbew.	Onbewerkt	KS	Kalksteen		
				le.	lenzen			KW	Kwarts		
								KZM	Kalkzandmortel		
								KZS	Kalkzandsteen		
								LS	Leisteen		
								Me	Mergel		
								Mn	Mangaan		
								NS	Natuursteen		
								SK	Steenkool		
								TG	Tegel		
								TM	Trasmortel		
								VL	Verbrande leem		
								ZM	Zandmortel		
								ZS	Zandsteen		

Het archeologisch onderzoek aan de Vossebergen te Werchter

Spoor	Werkput	Vlak	Aard	Vorm / Verband / Positie	Aflijning / Bewaring	Kleur	Textuur / Materiaal LxBxH (cm.) / Geslacht	Bijmenging / Mortel / Leeftijd	Vondsten	(Bewaarde) afmetingen LxBxH (cm.)	Datering	Opmerkingen
1	1	1	Paalkuil	Ovaal	ReS	gelg. Zw m. Wt	ReZaVa Z	HK		54x35x15	Onbepaald	
2	1	1	Paalkuil	Cirkel	ReD	DGr	ReHaVa Z	HK		30x27x12	Onbepaald	
3	1	1	Paalkuil	Ovaal	ReD	DGr m. LGr-Wt r.	ReHaVa Z	HK, Bo		36x24x16	Onbepaald	
4	1	1	Natuurlijk	Cirkel	ZeD	DGr m. DGr-Zw k.	ReHaVa Z	HK		32x32x	Natuurlijk	
5	1	1	Greppel uiteinde	Langwerpig	ReD	DGr m. Zw vl.	ReHaLo Z	HK		x75x4	Onbepaald	
6	1	1	Greppel uiteinde	Langwerpig	ReD	DGr m. Zw vl.	ReHaLo Z	HK	Ce	x40x14	Laat- Middeleeuws	
7	1	1	Kuil	Rechthoekig	ReD	DGr-Zw m. Zw en Gr vl.	ReHaLo Z	Bo, HK	Ce	+420x156x6	Vol-Middeleeuws - Laat-Middeleeuws	Te ondiep voor tekening
8	1	1	Paalkuil	Vierkantig	ReS	gevl. LGr m. Zw en DGr-Br	ReHaLo Z	HK, VL		31x30x5	Vol-Middeleeuws	
9	1	1	Paalkuil	Ovaal	ReD	gevl. DGr m. Zw en Gr	ReHaLo Z	HK		36x28x10	Vol-Middeleeuws	
10	1	1	Kuil	Rechthoekig	ReS	DGr-Br m. LGr vl. en Zw r.	ReHaLo Z	HK, Bo, Sintels		183x90x9	Onbepaald	Zwarte houtskoolrijke rand
11	1	1	Natuurlijk	Ovaal	ReD	gevl. DGr m. Zw en Gr	ReHaLo Z	HK		25x22x	Natuurlijk	
12	1	1	Kuil	Onregelmatig	ReS	DGr m. LGr en Zw	ReHaLo Z	HK, Bo		140x135x12	Vol-Middeleeuws	Mogelijk meerdere sporen
13	1	1	Paalkuil	Trapezium	ReS	gevl. DGr m. Zw en LGr	ReHaLo Z	HK		42x40x10	Onbepaald	
14	1	1	Paalkuil	Ovaal	ReS	DGr m. LGr en Zw vl.	ReHaLo Z	HK		74x43x27	Onbepaald	Bij couperen bijkomend spoor opgemerkt: S34
15	1	1	Paalkuil	Rechthoekig	ReS	gevl. DGr m. LGr en Zw	ReHaLo Z	VL, HK		96x78x30	Vol-Middeleeuws	Geen oversnijding met S14
15L1	1	1	Vulling		ReS	gevl. DGr m. LGr en Zw	ReHaLo Z	VL, HK		96x78x12	Vol-Middeleeuws	
15L2	1	1	Vulling			DGr	ReHaLo Z			x85x18	Vol-Middeleeuws	Lijkt natuurlijk

Het archeologisch onderzoek aan de Vossebergen te Werchter

Spoor	Werkput	Vlak	Aard	Vorm / Verband / Positie	Aflijning / Bewaring	Kleur	Textuur / Materiaal LxBxH (cm.) / Geslacht	Bijmenging / Mortel / Leeftijd	Vondsten	(Bewaarde) afmetingen LxBxH (cm.)	Datering	Opmerkingen
16	1	1	Paalkuil	Vierkantig	ReS	gevl. DGr m. LGr en Zw	ReHaLo Z	HK	Fa	26x24x20	Onbepaald	In het vooronderzoek geregistreerd als S62
17	1	1	Paalkuil	Vierkantig	ReS	DGr	ReHaLo Z	HK		28x26x40	Onbepaald	
18	1	1	Kuil	Rechthoekig	ReS	gevl. DGr m. LGr en Zw	ReHaLo Z	HK		112x80x14	Vol-Middeleeuws	
19	1	1	Paalkuil	Cirkel	ReS	DGr m. DBr en Zw sp.	ReHaLo Z	HK		35x28x11	Onbepaald	In het vooronderzoek geregistreerd als S63
20	1	1	Kuil	Rechthoekig	ReS	gevl. Zw m. LGr- Go en Gr	ReHaLo Z	HK	Me	220x60x70	Nieuwe tijd	In het vooronderzoek geregistreerd als S64
21	1	1	Paalkuil	Ovaal	ReS	Zw m. DGr vl.	ReHaLo Z	HK		35x31x7	Vol-Middeleeuws	
22	1	1	Paalkuil	Ovaal	ReS	Zw m. DGr vl.	ReHaLo Z	HK		25x20x5	Onbepaald	
23	1	1	Paalkuil	Vierkantig	ReD	gevl. DGr-Zw m. Gr-Br en LBr-Gr	ReHaLo Z	HK		22x21x7	Onbepaald	
24	1	1	Paalkuil	Vierkantig	ZeS	DGr-Zw	ReHaLo Z	HK		22x20x22	Onbepaald	
25	1	1	Natuurlijk	Rechthoekig	ReS	gevl. Zw m. DGr en LGr-Go	ReHaLo Z	HK		22x18x	Natuurlijk	
26	1	1	Kuil	Rechthoekig	ReS	DGr-Br m. DGr- Zw en LGr vl.	ReHaLo Z	Bo, HK	Ce, Me, Na	142x74x80	Vol-Middeleeuws - Nieuwe tijd	Coupe ingestort
27	1	1	Greppel	Langwerpig	ReS	Br-Gr m. Zw en LGr vl.	ReHaLo Z	Bo, HK		x52x22	Onbepaald	
28	1	1	Greppel	Langwerpig	ReS	gevl. DGr-Zw m. LGr en Br	ReHaLo Z	HK		x78x33	Onbepaald	In het vooronderzoek geregistreerd als S60
29	1	1	Kuil	Rechthoekig	ReS	DGr	ReHaLo Z	HK	Ce	121x102x75	Vol-Middeleeuws	
29L1	1	1	Vulling		ReS	DGr	ReHaLo Z	HK		121x102x57	Vol-Middeleeuws	
29L2	1	1	Vulling		ReS	gelg. Wt m. Gr en Zw	ReHaLo Z			xx18	Vol-Middeleeuws	
30	1	1	Greppel	Langwerpig	ZeS	gevl. DGr m. LGr en Zw	ReHaLo Z	HK	Ce	x70x50	Laat- Middeleeuws	

Het archeologisch onderzoek aan de Vossebergen te Werchter

Spoor	Werkput	Vlak	Aard	Vorm / Verband / Positie	Aflijning / Bewaring	Kleur	Textuur / Materiaal LxBxH (cm.) / Geslacht	Bijmenging / Mortel / Leeftijd	Vondsten	(Bewaarde) afmetingen LxBxH (cm.)	Datering	Opmerkingen
31	1	1	Greppel	Langwerpig	ReS	Zw m. LGr en Br vl.	ReHaLo Z	HK		x+85x50	Onbepaald	
32	1	1	Kuil	L-vormig	ReS	DBr-Zw m. LGr-Gr en Gr vl.	ReHaLo Z	Bo, HK		176x165x82	Onbepaald	
33	1	1	Kuil	Langwerpig	ReS	gelg. DGr m. LGr en Or	ReHaLo Z	Bo, HK		+900x350x45	Onbepaald	In het vooronderzoek geregistreerd als S61
33L1	1	1	Vulling		ReS	gelg. DGr m. LGr en Or	ReHaLo Z	Bo, HK		+900x350x45	Onbepaald	Te ondiep voor tekening
33L2	1	1	Vulling		ZeS	LGr-Wt m. DGr-Zw lg.	ReHaLo Z	HK		x55x	Onbepaald	Mogelijk oudeuitgraving gracht
34	1	1	Paalkuil	Ovaal	ReS	gevl. DGr-Zw m. LGr	ReHaLo Z	HK		26x18x28	Onbepaald	Als bijkomend spoor opgemerkt tijdens couperen van S14
35	2	1	Greppel	Langwerpig	ReS	Zw m. DGr-Zw lg. en LGr vl.	ReHaLo Z	Bo, HK	Ce, Bo	x75x33	Laat-Middeleeuws	In het vooronderzoek geregistreerd als S45
36	2	1	Kuil	Cirkel	ReS	Zw m. DGr vl.	ReHaLo Z	Fe, HK		162x+80x11	Onbepaald	
37	2	1	Paalkuil	Cirkel	ReS	gevl. LGr m. Zw en Br	ReHaLo Z	HK		37x36x15	Onbepaald	
38	2	1	Paalkuil	Vierkantig	ZeS	gevl. LGr-Br m. Br en DGr	ReZaLo Z	HK		42x38x10	Onbepaald	
39	2	1	Natuurlijk	Vierkantig	ReD	gevl. Zw m. Gr en Wt	ReHaLo Z			34x34x	Natuurlijk	
40	2	1	Natuurlijk	Ovaal	ReD	gevl. Zw m. Gr en Wt	ReHaLo Z			51x29x	Natuurlijk	
41	2	1	Greppel	Langwerpig	ReS	Zw m. Wt en LGr lgs.	ReZaLo Z	HK, Bo	Ce, Fa	x90x40	Vol-Middeleeuws	In het vooronderzoek geregistreerd als S58
42	2	1	Greppel	Langwerpig	ReS	Zw m. Wt en LGr lgs.	ReZaLo Z	HK, Bo	Me	x43x38	Laat-Middeleeuws	In het vooronderzoek geregistreerd als S59
43	2	1	Kuil	Ovaal	ReD	gevl. DBr-Gr m. Zw en LGr-Wt	ReHaLo Z	HK		117x65x25	Vol-Middeleeuws	
44	2	1	Recente paalkuil	Rechthoekig	ZeS	DGr m. Zw en LGr vl.	ReHaLo Z			78x20x43	Recent	
45	2	1	Recente paalkuil	Vierkantig	ZeS	gevl. DBr-Gr m. LGr en Zw	ReHaLo Z			20x20x37	Recent	

Het archeologisch onderzoek aan de Vossebergen te Werchter

Spoor	Werkput	Vlak	Aard	Vorm / Verband / Positie	Aflijning / Bewaring	Kleur	Textuur / Materiaal LxBxH (cm.) / Geslacht	Bijmenging / Mortel / Leeftijd	Vondsten	(Bewaarde) afmetingen LxBxH (cm.)	Datering	Opmerkingen
46	2	2	Paalkuil	Ovaal	ZeS	Zw m. LGr-Wt vl.	ReHaLo Z			25x20x5	Vol-Middeleeuws	
47	2	2	Paalkuil	Ovaal	ZeS	Zw m. LGr-Wt vl.	ReHaLo Z			30x21x10	Vol-Middeleeuws	
48	2	2	Kuil	Rechthoekig	ReS	DGr-Br m. LGr en Br vl.	ReHaLo Z	HK		112x39x11	Onbepaald	Lokaal dieper uitgegraven greppel
49	2	1	Greppel	Langwerpig	ReS	gelg. Wt m. Zw	ReHaLo Z			x18x13	Laat- Middeleeuws	
50	2	1	Paalkuil	Vierkantig	ReS	gevl. Zw m. LGr- Wt en Br-Gr	ReHaLo Z	HK		75x73x16	Vol-Middeleeuws	
51	2	1	Paalkuil	Ovaal	ReS	DGr-Zw m. LGr en LGr vl.	ReZaLo Z	HK		52x38x48	Onbepaald	
52	2	1	Paalkuil	Ovaal	ReD	LGr	ReZaLo Z	Fe, HK		32x26x14	Vol-Middeleeuws	
53	2	1	Paalkuil	Cirkel	ReS	DGr-Zw m. DBr- Gr vl.	ReZaLo Z	HK		27x26x11	Onbepaald	
54	2	1	Paalkuil	Rechthoekig	ZeS	DGr	ReZaLo Z	HK		76x34x10	Onbepaald	
55	2	1	Gracht	Langwerpig	ReS	gelg. DGr m. LGr en LBr	ReZaLo Z	Fe, HK	Me, Ce	x115x29	9de eeuw - 13de eeuw	
56	2	1	Gracht	Langwerpig	ReS	gevl. DGr m. Zw en LGr	ReZaLo Z	Fe, HK, Bo	Ce, Me, Fa,	x145x33	Laat- Middeleeuws	
57	2	1	Greppel	Langwerpig	ReS	Zw m. DBr lg.	ReZaLo Z	HK		x32x9	Onbepaald	Onduidelijke relatie met S35
58	2	2	Natuurlijk	Cirkel	ReS	Br	ReZaLo Z			30x30x	Natuurlijk	
59	3	1	Paalkuil	Rechthoekig	ReS	gevl. Zw m. DBr- Zw en DGr-Zw	ReZaLo Z	Fe, HK		43x35x6	Onbepaald	
60	3	1	Recente kuil	Sleutelgat-vormig	ZeS	DGr m. Or vl.	ReHaLo Z	SK	Fl	85x58x18	Recent	
61	3	1	Recente kuil	Sleutelgat-vormig	ZeS	DGr m. Or vl.	ReHaLo Z	SK, BS	Fl, St	88x65x17	Recent	
62	3	1	Paalkuil	Rechthoekig	ReS	gevl. Zw m. Gr-Br en LGr	ReZaLo Z	HK		41x32x21	Onbepaald	

## Het archeologisch onderzoek aan de Vossebergen te Werchter

Spoor	Werkput	Vlak	Aard	Vorm / Verband / Positie	Aflijning / Bewaring	Kleur	Textuur / Materiaal LxBxH (cm.) / Geslacht	Bijmenging / Mortel / Leeftijd	Vondsten	(Bewaarde) afmetingen LxBxH (cm.)	Datering	Opmerkingen
63	3	1	Paalkuil	Rechthoekig	ReS	Zw m. Gr-Br en LGr vl.	ReZaLo Z	HK		44x36x14	Onbepaald	
64	3	1	Natuurlijk	Trapezium	ZeD	LBr m. Zw en Gr vl.	ReZaLo Z			41x30x	Natuurlijk	
65	3	1	Kuil	Ovaal	ReD	Zw	ReZaLo Z	HK		107x48x7	Onbepaald	
66	3	1	Paalkuil	Ovaal	ReS	gevl. DGr m. Br en Gr-Br	ReZaLo Z	HK		38x30x11	Onbepaald	
67	3	1	Paalkuil	Ovaal	ReS	DGr m. LGr en LGI-Br vl.	ReZaLo Z	HK		42x36x7	Onbepaald	
68	3	1	Kuil	Onregelmatig	ReS	DGr-Br	ReHaLo Z	Fe, HK		90x77x12	Onbepaald	
69	3	1	Natuurlijk	Ovaal	ReD	Gr-Br m. LGr-Wt en Zw vl.	ReZaLo Z	HK		53x28x12	Natuurlijk	
70	3	1	Greppel uiteinde	Langwerpig	ReS	DGr m. LGr en Br vl.	ReZaLo Z	Bo, HK		x73x35	Onbepaald	
71	3	1	Paalkuil	Cirkel	ReS	DGr m. LBr lg.	ReZaLo Z	HK, Bo		60x58x5	Onbepaald	
72	3	1	Gracht	Langwerpig	ReS	Zw m. DGr vl.	ReZaLo Z	Bo, HK,	Ce, Bo	x230x70	Nieuwe tijd	In het vooronderzoek geregistreerd als S46
73	3	1	Recente kuil	Sleutelgat-vormig	ReS	gebr. Wt m. Zw en Br-Gr	ReZaLo Z	HK		110x65x11	Recent	
74	3	1	Recente paalkuil	Rechthoekig	ReD	gebr. Wt m. Gr en DGr-Zw	ReZaLo Z			28x22x4	Recent	
75	3	1	Kuil	Rechthoekig	ZeD	DGr-Gr	ReZaLo Z	HK, Bo		96x66x30	Onbepaald	
76	3	1	Kuil	Ovaal	ReS	Zw	ReZaLo Z	Bo, HK		170x+135x35	Onbepaald	Maakt deel uit van S72
77	3	1	Greppel	Langwerpig	ReS	Zw m. Wt en Gr- Br vl.	ReZaLo Z	HK		x50x16	Onbepaald	
78	3	1	Gracht	Langwerpig	Var	gevl. Wt m. Gr en Zw	ReZaLo Z	HK		x90x11	Onbepaald	Enkel spitsporen onderaan gracht?
79	3	1	Kuil	Rechthoekig	ReS	gebr. Zw m. Br en Wt	ReZaLo Z	HK	Ce	320x265x	Nieuwe tijd	Mogelijk recent, scherp vergraven uit gracht S78?

## Het archeologisch onderzoek aan de Vossebergen te Werchter

Spoor	Werkput	Vlak	Aard	Vorm / Verband / Positie	Aflijning / Bewaring	Kleur	Textuur / Materiaal LxBxH (cm.) / Geslacht	Bijmenging / Mortel / Leeftijd	Vondsten	(Bewaarde) afmetingen LxBxH (cm.)	Datering	Opmerkingen
80	3	1	Kuil	Rechthoekig	ReS	Zw	ReZaLo Z	HK, Bo		75x50x	Onbepaald	Maakt deel uit van S72
81	3	1	Greppel	Langwerpig	ReS	Zw m. LGr vl.	ReZaLo Z	HK		x70x30	Onbepaald	Verlengde van S41
82	3	1	Greppel	Langwerpig	ReS	Zw m. Wt vl.	ReZaLo Z	HK		x75x10	Onbepaald	
83	3	1	Gracht	Langwerpig	ReS	DGr m. LGr en Br vl.	ReZaLo Z	HK		x100x75	Onbepaald	
84	4	1	Greppel	Langwerpig	ZeS	DGr-Zw m. LGl en Br vl.	ReZaLo Z	Fe, HK, Bo	Ce	x58x15	Onbepaald	In het vooronderzoek geregistreerd als S2
85	4	1	Paalkuil	Ovaal	ReD	gevl. DGr m. Zw en LBr-Gl	ReZaLo Z	Fe, HK		74x+28x8	Vol-Middeleeuws	Enkel onderkant
86	4	1	Greppel	Langwerpig	ZeS	DGr-Br	ReZaLo Z	HK, Bo	Ce	x53x12	Onbepaald	In het vooronderzoek geregistreerd als S4
87	4	1	Paalkuil	Ovaal	ReD	gevl. DGr m. Zw en LBr-Gl	ReZaLo Z	Fe, HK		72x38x5	Vol-Middeleeuws	
88	4	1	Paalkuil	Vierkantig	ReS	DGr m. Zw en LBr-Gl vl.	ReZaLo Z	Fe, HK		51x50x5	Vol-Middeleeuws	
89	4	1	Paalkuil	Rechthoekig	ReD	gevl. DGr m. Zw en LBr-Gl	ReZaLo Z	Fe, HK		57x39x8	Vol-Middeleeuws	
90	4	1	Paalkuil	L-vormig	ReD	gevl. DGr m. Zw en DBr	ReZaLo Z	Fe, HK		58x56x11	Vol-Middeleeuws	
91	4	1	Greppel	Langwerpig	ZeS	DGr-Br	ReZaLo Z	Bo, KS, HK		x71x25	Onbepaald	In het vooronderzoek geregistreerd als S7
92	4	1	Natuurlijk	Cirkel	ReD	Br-Gr m. Zw k.	ReZaLo Z	HK		39x+20x	Natuurlijk	Gecoupeerd tijdens vooronderzoek en geregistreerd als S5
93	4	1	Natuurlijk	Cirkel	ReD	Br-Gr m. Zw k.	ReZaLo Z	HK		39x+20x	Natuurlijk	Gecoupeerd tijdens vooronderzoek en geregistreerd als S6
94	4	1	Natuurlijk	Cirkel	ReD	Br-Gr m. Zw k.	ReZaLo Z	HK		41x41x	Natuurlijk	In het vooronderzoek geregistreerd als S8
95	4	1	Natuurlijk	Cirkel	ReD	Br-Gr m. Zw k.	ReZaLo Z	HK		30x+11x	Natuurlijk	Gecoupeerd tijdens vooronderzoek en geregistreerd als S10
96	4	1	Natuurlijk	Rechthoekig	ReD	gevl. Br-Gr m. DGr	ReZaLo Z			60x35x	Natuurlijk	

## Het archeologisch onderzoek aan de Vossebergen te Werchter

Spoor	Werkput	Vlak	Aard	Vorm / Verband / Positie	Aflijning / Bewaring	Kleur	Textuur / Materiaal LxBxH (cm.) / Geslacht	Bijmenging / Mortel / Leeftijd	Vondsten	(Bewaarde) afmetingen LxBxH (cm.)	Datering	Opmerkingen
97	4	1	Greppel	Langwerpig	ReS	DGr-Gr m. LGr en Zw vl.	ReZaLo Z	HK		x80x35	Onbepaald	In het vooronderzoek geregistreerd als S20
98	4	1	Greppel	Langwerpig	ReD	gevl. DGr-Gr m. LGr en Zw	ReZaLo Z	HK		x40x5	Onbepaald	Onduidelijke relatie met S97
99	4	1	Paalkuil	Ovaal	ReS	gevl. DGr-Zw m. LGr en Br	ReZaLo Z	HK		65x50x16	Vol-Middeleeuws	
100	4	1	Paalkuil	Rechthoekig	ReS	gevl. DGr-Zw m. LGr en Br	ReZaLo Z	HK	Ce	92x+24x17	Vol-Middeleeuws	Gecoupeerd tijdens vooronderzoek en geregistreerd als S21
101	4	1	Paalkuil	Onregelmatig	ReS	gevl. DGr-Zw m. LGr en Br	ReZaLo Z	HK	Ce, , St	70x62x15	Vol-Middeleeuws	
102	4	1	Paalkuil	Rechthoekig	ReS	gevl. DGr-Zw m. LGr en Br	ReZaLo Z	Fe, HK		50x31x8	Vol-Middeleeuws	
103	4	1	Paalkuil	Rechthoekig	ReS	gevl. DGr-Zw m. LGr en Br	ReZaLo Z	Fe, HK		59x50x12	Vol-Middeleeuws	
104	4	1	Paalkuil	Rechthoekig	ReS	gevl. DGr-Zw m. LGr en Br	ReZaLo Z	Fe, HK		75x64x27	Vol-Middeleeuws	
105	4	1	Paalkuil	Ovaal	ReS	gevl. DGr-Zw m. LGr en Br	ReZaLo Z	HK		45x30x8	Vol-Middeleeuws	
106	4	1	Natuurlijk	Rechthoekig	ZeD	gevl. DGr-Zw m. LGr en Br	ReZaLo Z	HK		43x34x	Vol-Middeleeuws	Enkel gebioturbeerde onderkant van spoor
107	4	1	Paalkuil	Ovaal	ReS	gevl. DGr-Zw m. LGr en Br	ReZaLo Z	Fe, HK		70x58x10	Vol-Middeleeuws	
108	4	1	Natuurlijk	Rechthoekig	ReS	DGr m. LGr en Br vl.	ReZaLo Z	HK		57x45x	Natuurlijk	
109	4	1	Paalkuil	Rechthoekig	ReS	DGr-Zw m. LGr en Br vl.	ReZaLo Z	Fe, HK		58x47x9	Vol-Middeleeuws	
110	4	1	Natuurlijk	Cirkel	ZeD	Br m. DGr vl.	ReZaLo Z			57x51x	Vol-Middeleeuws	Enkel gebioturbeerde onderkant van spoor
111	4	1	Recente onginningskuil	Rechthoekig	ZeS	DGr	ReZaLo Z	Bo		200x100x20	Recent	Ontginningskuilen voor E-horizont (zand voor mortel)
112	5	1	Gracht	Langwerpig	ReS	Gr m. Wt vl. en Zw r.	ReZaLo Z	Bo, HK		x130x50	Onbepaald	In het vooronderzoek geregistreerd als S30
113	5	1	Paalkuil	Ovaal	ReS	gevl. DGr-Zw m. LGr-Wt en Br	ReZaLo Z	HK		50x30x52	Onbepaald	

## Het archeologisch onderzoek aan de Vossebergen te Werchter

Spoor	Werkput	Vlak	Aard	Vorm / Verband / Positie	Aflijning / Bewaring	Kleur	Textuur / Materiaal LxBxH (cm.) / Geslacht	Bijmenging / Mortel / Leeftijd	Vondsten	(Bewaarde) afmetingen LxBxH (cm.)	Datering	Opmerkingen
113L1	5	1	Vulling		ReS	gevl. DGr-Zw m. LGr-Wt en Br	ReZaLo Z	HK		50x30x45		
113L2	5	1	Vulling		ReS	LBr-Gr	ReZaLo Z	Fe-vl		xx9		
114	5	1	Natuurlijk	Ovaal	ReS	Br-Gr	ReZaLo Z	HK		65x+19x	Natuurlijk	Gecoupeerd tijdens vooronderzoek en geregistreerd als S31
115	5	1	Paalkuil	Onregelmatig	ReS	gevl. DGr-Zw m. DBr en LGr	ReZaLo Z	HK		90x+50x60	Vol-Middeleeuws	Gecoupeerd tijdens vooronderzoek en geregistreerd als S31
115L1	5	1	Vulling		ReS	gevl. DGr-Zw m. DBr en LGr	ReZaLo Z	HK		90x+50x21	Vol-Middeleeuws	Gecoupeerd tijdens vooronderzoek
115L2	5	1	Vulling			Wt m. Zw en Br vl.	ReZaLo Z	Fe-vl	St		Vol-Middeleeuws	
116	5	1	Paalkuil	Rechthoekig	ReS	gelg. DGr-Zw m. DBr	ReZaLo Z	HK	Ce	110x100x26	Vol-Middeleeuws	
117	5	1	Kuil	Rechthoekig	ReS	DGr-Zw m. Wt en Gr-Br vl.	ReZaLo Z	HK		370x100x30	Onbepaald	In het vooronderzoek geregistreerd als S34
118	5	1	Paalkuil	Cirkel	ReS	gevl. DGr-Zw m. DBr en LGr	ReZaLo Z	HK		105x+57x60	Vol-Middeleeuws	Gecoupeerd tijdens vooronderzoek en geregistreerd als S66
118L1	5	1	Vulling		ReS	gevl. DGr-Zw m. DBr en LGr	ReZaLo Z	HK		105x+57x33	Onbepaald	
118L2	5	1	Vulling		ZeD	Wt m. Zw en DBr vl.	ReZaLo Z	HK				
119	5	1	Greppel	Langwerpig	ReS	Gr-Br	ReZaLo Z	HK	Ce,	x47x21	Onbepaald	In het vooronderzoek geregistreerd als S24
120	5	1	Paalkuil	Cirkel	ReS	gevl. DGr-Zw m. DBr en LGr	ReZaLo Z	HK		83x+70x40	Vol-Middeleeuws	
120L1	5	1	Vulling		ReS	gevl. DGr-Zw m. DBr en LGr	ReZaLo Z	HK		83x+70x25	Vol-Middeleeuws	
120L2	5	1	Vulling		ZeD	gevl. Br m. DBr- Zw en Wt	ReZaLo Z				Vol-Middeleeuws	
121	5	1	Paalkuil	8-vormig	ReS	Br-Gr m. LGl en DBr vl.	ReZaLo Z	HK	Ce	97x55x10	Vol-Middeleeuws	
122	5	1	Paalkuil met kern	Rechthoekig	ReD	LGl m. Gr-Br k. en DGr-Zw vl.	ReZaLo Z	HK		92x75x34	Vol-Middeleeuws	

## Het archeologisch onderzoek aan de Vossebergen te Werchter

Spoor	Werkput	Vlak	Aard	Vorm / Verband / Positie	Aflijning / Bewaring	Kleur	Textuur / Materiaal LxBxH (cm.) / Geslacht	Bijmenging / Mortel / Leeftijd	Vondsten	(Bewaarde) afmetingen LxBxH (cm.)	Datering	Opmerkingen
122L1	5	1	Kern	Ovaal	ReS	Gr-Br m. DGr-Zw vl.	ReZaLo Z	HK	St	70x62x28	Vol-Middeleeuws	
122L2	5	1	Vulling		ReD	LGI	ReZaLo Z	HK		92x75x34	Vol-Middeleeuws	
123	5	1	Paalkuil	Cirkel	ReD	DGr m. DGr-Zw vl.	ReZaLo Z	HK		34x33x7	Vol-Middeleeuws	
124	5	1	Kuil	Nier-vormig	ZeD	gevl. DGr m. Zw en Wt	ReZaLo Z	HK		120x50x28	Vol-Middeleeuws	
125	5	1	Paalkuil	Niet zichtbaar	ReS	gevl. Gr-Br m. LGr en Zw	ReZaLo Z	Fe		67x+32x16	Vol-Middeleeuws	Gecoupeerd tijdens vooronderzoek en geregistreerd als S23
126	5	1	Greppel	Langwerpig	ReD	gevl. Zw m. Wt en Br-Gr	ReZaLo Z		Li	x55x27	Onbepaald	In het vooronderzoek geregistreerd als S40
126L1	5	1	Vulling		ReD	gevl. Zw m. Wt en Br-Gr	ReZaLo Z			x55x19		
126L2	5	1	Vulling		ReS	Wt m. Zw vl.	ReZaLo Z			xx9	Onbepaald	

## Bijlage 2 Vondsten (2022A471)

Totaal: 131 41 41 2.409

Spoorinformatie	Spoornummer	Spoortype	Depositietype	Datering	Vulling	N	MAI (min)	MAE (max)	M (gr)
-----------------	-------------	-----------	---------------	----------	---------	---	-----------	-----------	--------

	6	Greppel uiteinde			Onbepaald	6	2	2	57
--	---	------------------	--	--	-----------	---	---	---	----

Ceramiëk	Materiaal	Vorm	Datering	Opmerkingen	Rand	Wand	Bodem	Additieven	Arch. vol.	N	MAI (min)	MAE (max)	M (gr)
----------	-----------	------	----------	-------------	------	------	-------	------------	------------	---	-----------	-----------	--------

2022A471-S6-Ce52	Wielgedraaid (P)ME reducerend	Pot	Vol-Middeleeuws - Laat-Middeleeuws	Roetaanslag		4				4			39
Schup-truweel													

2022A471-S6-Ce51c	Wielgedraaid (P)ME oxiderend Rood met koperglazuur	Kan	Laat-Middeleeuws - Nieuwe tijd		1					1	1	1	14
Schup-truweel													

2022A471-S6-Ce51d	Wielgedraaid (P)ME oxiderend Rood zonder glazuur		Laat-Middeleeuws			1				1	1	1	4
Schup-truweel													

Spoorinformatie	Spoornummer	Spoortype	Depositietype	Datering	Vulling	N	MAI (min)	MAE (max)	M (gr)
-----------------	-------------	-----------	---------------	----------	---------	---	-----------	-----------	--------

	7	Kuil			Onbepaald	3			27
--	---	------	--	--	-----------	---	--	--	----

Ceramiëk	Materiaal	Vorm	Datering	Opmerkingen	Rand	Wand	Bodem	Additieven	Arch. vol.	N	MAI (min)	MAE (max)	M (gr)
----------	-----------	------	----------	-------------	------	------	-------	------------	------------	---	-----------	-----------	--------

2022A471-S7-Ce52	Wielgedraaid (P)ME reducerend	Pot	Vol-Middeleeuws - Laat-Middeleeuws		2	1				3			27
Schup-truweel													

Spoorinformatie	Spoornummer	Spoortype	Depositietype	Datering	Vulling	N	MAI (min)	MAE (max)	M (gr)
-----------------	-------------	-----------	---------------	----------	---------	---	-----------	-----------	--------

	16	Paalkuil			Onbepaald	1	1	1	2
--	----	----------	--	--	-----------	---	---	---	---

Faunaresten	Materiaal	Vorm	Datering	Opmerkingen	Kop-hoofd	Romp	Ledematen	Tanden	Arch. vol.	N	MAI (min)	MAE (max)	M (gr)
-------------	-----------	------	----------	-------------	-----------	------	-----------	--------	------------	---	-----------	-----------	--------

2022A471-S16-Fa10a	Skelet Onbepaald Verbrand	Crematie	Onbepaald	Dierlijk?			1			1	1	1	2
Schup-truweel													

Spoorinformatie	Spoornummer	Spoortype	Depositietype	Datering	Vulling	N	MAI (min)	MAE (max)	M (gr)
-----------------	-------------	-----------	---------------	----------	---------	---	-----------	-----------	--------

	20	Kuil			Onbepaald	2			25
--	----	------	--	--	-----------	---	--	--	----

Metaal	Materiaal	Vorm	Datering	Opmerkingen	Rand	Midden	Uiteinde	Additieven	Arch. vol.	N	MAI (min)	MAE (max)	M (gr)
--------	-----------	------	----------	-------------	------	--------	----------	------------	------------	---	-----------	-----------	--------

2022A471-S20-Me11	Ijzer Smeedijzer	Nagel	Middeleeuws - Nieuwe tijd		1				1	2			25
Schup-truweel													

Spoorinformatie	Spoornummer	Spoortype	Depositietype	Datering	Vulling	N	MAI (min)	MAE (max)	M (gr)
-----------------	-------------	-----------	---------------	----------	---------	---	-----------	-----------	--------

	26	Kuil			Onbepaald	3	3	3	46
--	----	------	--	--	-----------	---	---	---	----

Ceramiëk	Materiaal	Vorm	Datering	Opmerkingen	Rand	Wand	Bodem	Additieven	Arch. vol.	N	MAI (min)	MAE (max)	M (gr)
----------	-----------	------	----------	-------------	------	------	-------	------------	------------	---	-----------	-----------	--------

2022A471-S26-Ce60b	Wielgedraaid Steengoed Protosteengoed	Kan	Laat-Middeleeuws			1				1	1	1	2
Schup-truweel													

2022A471-S26-Ce51a	Wielgedraaid (P)ME oxiderend Rood met loodglazuur		Laat-Middeleeuws - Nieuwe tijd			1				1	1	1	5
Schup-truweel													

# Het archeologisch onderzoek aan de Vossebergen te Werchter

Natuursteen	Materiaal	Vorm	Datering	Opmerkingen	Rand	Midden	Hoek	Andere	Arch. vol.	1	1	1	39
2022A471-S26-Na56	Ijzeroer	Grondstof	Onbepaald			1				1	1	1	39
Schup-truweel													
Spoorinformatie	Spoornummer	Spoortype	Depositietype	Datering	Vulling	N	MAI (min)	MAE (max)	M (gr)				
	29	Kuil			Onbepaald	1	1	1	4				
Ceramiëk	Materiaal	Vorm	Datering	Opmerkingen	Rand	Wand	Bodem	Additieven	Arch. vol.	1	1	1	4
2022A471-S29-Ce20	Handgevormd Blauwgrijs	Pot	1000 - 1350			1				1	1	1	4
Schup-truweel													
Spoorinformatie	Spoornummer	Spoortype	Depositietype	Datering	Vulling	N	MAI (min)	MAE (max)	M (gr)				
	30	Greppel			Onbepaald	12	4	4	137				
Ceramiëk	Materiaal	Vorm	Datering	Opmerkingen	Rand	Wand	Bodem	Additieven	Arch. vol.	12	4	4	137
2022A471-S30-Ce51a	Wielgedraaid (P)ME oxiderend Rood met loodglazuur	Kom	Laat-Middeleeuws - Nieuwe tijd		1	1	1			3			35
Schup-truweel													
2022A471-S30-Ce23	Handgevormd Pingsdorf	Pot	10de eeuw - 13de eeuw			1				1	1	1	8
Schup-truweel													
2022A471-S30-Ce20	Handgevormd Blauwgrijs	Pot	1000 - 1350	Eventueel misbaksel, te hard gebakken		1				1	1	1	10
Schup-truweel													
2022A471-S30-Ce53a	Wielgedraaid Maas-Rijnlands Loodglazuur	Kan en Pan	13de eeuw - 14de eeuw	6 scherven van één kannetje	2	5				7	2	2	84
Schup-truweel													
Spoorinformatie	Spoornummer	Spoortype	Depositietype	Datering	Vulling	N	MAI (min)	MAE (max)	M (gr)				
	35	Greppel			Onbepaald	2	2	2	28				
Bouwceramiëk	Materiaal	Vorm	Datering	Opmerkingen	Rand	Midden	Hoek	Andere	Arch. vol.	1	1	1	19
2022A471-S35-Bo21	Leem Verbrand	Verbrande leem	Onbepaald			1				1	1	1	19
Schup-truweel													
Ceramiëk	Materiaal	Vorm	Datering	Opmerkingen	Rand	Wand	Bodem	Additieven	Arch. vol.	1	1	1	9
2022A471-S35-Ce51a	Wielgedraaid (P)ME oxiderend Rood met loodglazuur	Kom	Laat-Middeleeuws - Nieuwe tijd		1					1	1	1	9
Schup-truweel													
Spoorinformatie	Spoornummer	Spoortype	Depositietype	Datering	Vulling	N	MAI (min)	MAE (max)	M (gr)				
	41	Greppel			Onbepaald	8	2	2	41				
Ceramiëk	Materiaal	Vorm	Datering	Opmerkingen	Rand	Wand	Bodem	Additieven	Arch. vol.	2	2	2	35
2022A471-S41-Ce53a	Wielgedraaid Maas-Rijnlands Loodglazuur	Kom	10de eeuw - 1350					1		1	1	1	30
Schup-truweel													
2022A471-S41-Ce51a	Wielgedraaid (P)ME oxiderend Rood met loodglazuur	Kan	Laat-Middeleeuws	Zeer dun		1				1	1	1	5
Schup-truweel													
Faunaresten	Materiaal	Vorm	Datering	Opmerkingen	Kop-hoofd	Romp	Ledematen	Tanden	Arch. vol.	6			6
2022A471-S41-Fa13a	Skelet Zoogdier Rund	Slachtafval	Onbepaald	Tanden uit elkaar gevallen				6		6			6
Schup-truweel													

# Het archeologisch onderzoek aan de Vossebergen te Werchter

Spoorinformatie	Spoornummer	Spoortype	Depositietype	Datering	Vulling	N	MAI (min)	MAE (max)	M (gr)
	42	Greppel			Laat-Middeleeuws	1	1	1	545
Metaal	Materiaal	Vorm	Datering	Opmerkingen	Rand	Midden	Uiteinde	Additieven	Arch. vol.
2022A471-S42-Me11	ijzer Smeedijzer	Buis	(Post)-Middeleeuws	Zwaar verroest, buisvormig	1				
Schup-truweel									

Spoorinformatie	Spoornummer	Spoortype	Depositietype	Datering	Vulling	N	MAI (min)	MAE (max)	M (gr)
	55	Gracht			Onbepaald	7	2	2	83
Ceramik	Materiaal	Vorm	Datering	Opmerkingen	Rand	Wand	Bodem	Additieven	Arch. vol.
2022A471-S55-Ce18	Handgevormd Kogelpot	Kogelpot	9de eeuw - 1300			5			
Schup-truweel									
2022A471-S55-Ce53b	Wielgedraaid Maas-Rijnlands Zonder glazuur	Pot	Vol-Middeleeuws			1			
Schup-truweel									

Spoorinformatie	Spoornummer	Spoortype	Depositietype	Datering	Vulling	N	MAI (min)	MAE (max)	M (gr)
						1	1	1	12
Metaal	Materiaal	Vorm	Datering	Opmerkingen	Rand	Midden	Uiteinde	Additieven	Arch. vol.
2022A471-S55-Me10	ijzer	Nagel	Onbepaald						
Schup-truweel									

Spoorinformatie	Spoornummer	Spoortype	Depositietype	Datering	Vulling	N	MAI (min)	MAE (max)	M (gr)
	56	Gracht			Onbepaald	32	3	3	106
Ceramik	Materiaal	Vorm	Datering	Opmerkingen	Rand	Wand	Bodem	Additieven	Arch. vol.
2022A471-S56-Ce51a	Wielgedraaid (P)ME oxiderend Rood met loodglazuur	Kan	Laat-Middeleeuws					1	
Schup-truweel									
2022A471-S56-Ce51d	Wielgedraaid (P)ME oxiderend Rood zonder glazuur	Pot	Laat-Middeleeuws				1		
Schup-truweel									
2022A471-S56-Ce53a	Wielgedraaid Maas-Rijnlands Loodglazuur	Beker	Onbepaald		2	1			
Schup-truweel									

Spoorinformatie	Spoornummer	Spoortype	Depositietype	Datering	Vulling	N	MAI (min)	MAE (max)	M (gr)
						26			24
Faunaresten	Materiaal	Vorm	Datering	Opmerkingen	Kop-hoofd	Romp	Ledematen	Tanden	Arch. vol.
2022A471-S56-Fa13a	Skelet Zoogdier Rund	Slachtafval	Onbepaald	Tanden uit elkaar gevallen			2	24	
Schup-truweel									

Spoorinformatie	Spoornummer	Spoortype	Depositietype	Datering	Vulling	N	MAI (min)	MAE (max)	M (gr)
						1	1	1	13
Metaal	Materiaal	Vorm	Datering	Opmerkingen	Rand	Midden	Uiteinde	Additieven	Arch. vol.
2022A471-S56-Me19	ijzer Metaalslak	Productieafval	Onbepaald						
Schup-truweel									

Spoorinformatie	Spoornummer	Spoortype	Depositietype	Datering	Vulling	N	MAI (min)	MAE (max)	M (gr)
	60	Recente kuil			Onbepaald	2			85
Floraresten	Materiaal	Vorm	Datering	Opmerkingen	Rand	Midden	Uiteinde	Additieven	Arch. vol.
2022A471-S60-FI85	(Steen)kool	Eierkool	1961 - 1974	Oranje-Nassau mijnen					
Schup-truweel									

# Het archeologisch onderzoek aan de Vossebergen te Werchter

Spoorinformatie	Spoornummer	Spoorstype	Depositietype	Datering	Vulling	N	MAI (min)	MAE (max)	M (gr)					
	61	Recente kuil			Onbepaald	4			162					
Floraresten	Materiaal	Vorm	Datering	Opmerkingen	Rand	Midden	Uiteinde	Additieven	Arch. vol.	4				162
2022A471-S61-Fl85	(Steen)kool	Eierkool	1961 - 1974	Oranje-Nassau mijnen						4	4			162
Schup-truweel														

Spoorinformatie	Spoornummer	Spoorstype	Depositietype	Datering	Vulling	N	MAI (min)	MAE (max)	M (gr)					
	72	Gracht			1200 - Nieuwe tijd	22	5	5	866					
Bouwceraamiek	Materiaal	Vorm	Datering	Opmerkingen	Rand	Midden	Hoek	Andere	Arch. vol.	1	1	1		49
2022A471-S72-Bo11	Ceraamiek Oxiderend	Tegel	(Post)-Middeleeuws		1					1	1	1		49
Schup-truweel														

Spoorinformatie	Spoornummer	Spoorstype	Depositietype	Datering	Vulling	N	MAI (min)	MAE (max)	M (gr)					
Ceraamiek	Materiaal	Vorm	Datering	Opmerkingen	Rand	Wand	Bodem	Additieven	Arch. vol.	21	4	4		817
2022A471-S72-Ce51a	Wielgedraaid (P)ME oxiderend Rood met loodglazuur	Teil	Laat-Middeleeuws - Nieuwe tijd	Sommige scherven zijn zeer zwaar afgesleten	2	13	2			17				695
Schup-truweel														
2022A471-S72-Ce51b	Wielgedraaid (P)ME oxiderend Rood met geel glazuur		Laat-Middeleeuws - Nieuwe tijd			1				1	1	1		7
Schup-truweel														
2022A471-S72-Ce52	Wielgedraaid (P)ME reducerend	Pot	Middeleeuws - 1550	Zwaar afgesleten, mogelijk mislukt oxiderend				1		1	1	1		82
Schup-truweel														
2022A471-S72-Ce60a	Wielgedraaid Steengoed Langerwehe	Kan	14de eeuw - 16de eeuw				1			1	1	1		30
Schup-truweel														
2022A471-S72-Ce60b	Wielgedraaid Steengoed Proto-steengoed	Kan	1200 - 1325			1				1	1	1		3
Schup-truweel														

Spoorinformatie	Spoornummer	Spoorstype	Depositietype	Datering	Vulling	N	MAI (min)	MAE (max)	M (gr)					
	79	Kuil			Onbepaald	1	1	1	6					
Ceraamiek	Materiaal	Vorm	Datering	Opmerkingen	Rand	Wand	Bodem	Additieven	Arch. vol.	1	1	1		6
2022A471-S79-Ce51d	Wielgedraaid (P)ME oxiderend Rood zonder glazuur	Kan	Laat-Middeleeuws	Mogelijk sporadisch glazuur op rest recipient.		1				1	1	1		6
Schup-truweel														

Spoorinformatie	Spoornummer	Spoorstype	Depositietype	Datering	Vulling	N	MAI (min)	MAE (max)	M (gr)					
	84	Greppel			Onbepaald	1	1	1	34					
Ceraamiek	Materiaal	Vorm	Datering	Opmerkingen	Rand	Wand	Bodem	Additieven	Arch. vol.	1	1	1		34
2022A471-S84-Ce51a	Wielgedraaid (P)ME oxiderend Rood met loodglazuur		Laat-Middeleeuws			1				1	1	1		34
Schup-truweel														

Spoorinformatie	Spoornummer	Spoorstype	Depositietype	Datering	Vulling	N	MAI (min)	MAE (max)	M (gr)					
	86	Greppel			Onbepaald	1	1	1	13					
Ceraamiek	Materiaal	Vorm	Datering	Opmerkingen	Rand	Wand	Bodem	Additieven	Arch. vol.	1	1	1		13
2022A471-S86-Ce51a	Wielgedraaid (P)ME oxiderend Rood met loodglazuur	Kom	Laat-Middeleeuws - Nieuwe tijd		1					1	1	1		13
Schup-truweel														

# Het archeologisch onderzoek aan de Vossebergen te Werchter

Spoorinformatie	Spoornummer	Spoortype	Depositietype	Datering	Vulling	N	MAI (min)	MAE (max)	M (gr)
	100	Paalkuil			Onbepaald	1	1	1	1
Ceramiek	Materiaal	Vorm	Datering	Opmerkingen	Rand	Wand	Bodem	Additieven	Arch. vol.
2022A471-S100-Ce53a Schup-truweel	Wielgedraaid Maas-Rijnlands Loodglazuur		12de eeuw - 13de eeuw			1			

Spoorinformatie	Spoornummer	Spoortype	Depositietype	Datering	Vulling	N	MAI (min)	MAE (max)	M (gr)
	101	Paalkuil			Onbepaald	2	2	2	12
Ceramiek	Materiaal	Vorm	Datering	Opmerkingen	Rand	Wand	Bodem	Additieven	Arch. vol.
2022A471-S101-Ce53c Schup-truweel	Wielgedraaid Maas-Rijnlands rood met glazuur en radstempel	Kan	Begin 13de eeuw			1			
2022A471-S101-Ce52 Schup-truweel	Wielgedraaid (P)ME reducerend		Vol-Middeleeuws			1			

Spoorinformatie	Spoornummer	Spoortype	Depositietype	Datering	Vulling	N	MAI (min)	MAE (max)	M (gr)
	116	Paalkuil			Onbepaald	1			
Ceramiek	Materiaal	Vorm	Datering	Opmerkingen	Rand	Wand	Bodem	Additieven	Arch. vol.
2022A471-S116-Ce53a Schup-truweel	Wielgedraaid Maas-Rijnlands Loodglazuur		Onbepaald		1				

Spoorinformatie	Spoornummer	Spoortype	Depositietype	Datering	Vulling	N	MAI (min)	MAE (max)	M (gr)
	119	Greppel			Onbepaald	3	1	1	5
Ceramiek	Materiaal	Vorm	Datering	Opmerkingen	Rand	Wand	Bodem	Additieven	Arch. vol.
2022A471-S119-Ce51e Schup-truweel	Wielgedraaid (P)ME oxiderend Rood met engobe	Kan	13de eeuw - 14de eeuw			1		1	
2022A471-S119-Ce51a Schup-truweel	Wielgedraaid (P)ME oxiderend Rood met loodglazuur	Bord	Laat-Middeleeuws		1				

Spoorinformatie	Spoornummer	Spoortype	Depositietype	Datering	Vulling	N	MAI (min)	MAE (max)	M (gr)
	121	Paalkuil			Onbepaald	1	1	1	2
Ceramiek	Materiaal	Vorm	Datering	Opmerkingen	Rand	Wand	Bodem	Additieven	Arch. vol.
2022A471-S121-Ce53a Schup-truweel	Wielgedraaid Maas-Rijnlands Loodglazuur		Laat-Middeleeuws				1		

Spoorinformatie	Spoornummer	Spoortype	Depositietype	Datering	Vulling	N	MAI (min)	MAE (max)	M (gr)
	126	Greppel			Onbepaald	1	1	1	1
Lithisch materiaal	Materiaal	Vorm	Datering	Opmerkingen	Distaal	Mediaal	Proximaal	Andere	Arch. vol.
2022A471-S126-Li10 Schup-truweel	Silex	Afslag	Onbepaald				1		

# Het archeologisch onderzoek aan de Vossebergen te Werchter

Spoorinformatie	Spoornummer	Spoortype	Depositietype	Datering	Vulling	N	MAI (min)	MAE (max)	M (gr)
	PR2L1	Profiel				5	3	3	56
Ceramiëk	Materiaal	Vorm	Datering	Opmerkingen	Rand Wand Bodem Additieven Arch. vol.	2			43
2022A471-PR2L1-Ce51a Schup-truweel	Wielgedraaid (P)ME oxiderend Rood met loodglazuur		Laat-Middeleeuws - (Post)-Middeleeuws		1 1	2			43
Lithisch materiaal	Materiaal	Vorm	Datering	Opmerkingen	Distaal Mediaal Proximaal Andere Arch. vol.	1	1	1	1
2022A471-PR2L1-Li11 Schup-truweel	Silex Mijnsilex	Brokstuk	Onbepaald		1	1	1	1	1
Metaal	Materiaal	Vorm	Datering	Opmerkingen	Rand Midden Uiteinde Additieven Arch. vol.	2	2	2	12
2022A471-PR2L1-Me60 Schup-truweel	Lood	Kogel	Nieuwste tijd		1	1	1	1	9
2022A471-PR2L1-Me12 Schup-truweel	Ijzer Gietijzer	Knop	Nieuwste tijd		1	1	1	1	3
	PR2L2	Profiel				6	1	1	52
Ceramiëk	Materiaal	Vorm	Datering	Opmerkingen	Rand Wand Bodem Additieven Arch. vol.	6	1	1	52
2022A471-PR2L2-Ce51a Schup-truweel	Wielgedraaid (P)ME oxiderend Rood met loodglazuur	Kom	Nieuwe tijd		4 1	5			50
2022A471-PR2L2-Ce60c Schup-truweel	Wielgedraaid Steengoed Siegburg		1325 - 15de eeuw		1	1	1	1	2
	LV1	Losse vondst				1	1	1	11
Ceramiëk	Materiaal	Vorm	Datering	Opmerkingen	Rand Wand Bodem Additieven Arch. vol.	1	1	1	11
2022A471-LV1-Ce51e Schup-truweel	Wielgedraaid (P)ME oxiderend Rood met engobe		13de eeuw - 14de eeuw		1	1	1	1	11
	LV2	Losse vondst				1	1	1	2
Lithisch materiaal	Materiaal	Vorm	Datering	Opmerkingen	Distaal Mediaal Proximaal Andere Arch. vol.	1	1	1	2
2022A471-LV2-Li10 Schup-truweel	Silex	Kling	Mesolithicum		1	1	1	1	2



### Bijlage 3 Stalen (2022A471)

Spoorinformatie	Spoornummer	Spoortype	Depositietype	Datering	Vulling	N	M (gr)
	61	Recente kuil			Onbepaald	1	1.561

Staalname	Grondstof	Vorm	Datering	Opmerkingen	Aantal	N	M (gr)
2022A471-S61-St51	Bouwmateriaal Baksteen	Baksteen	2de helft 20ste eeuw		1	1	1.561

Spoorinformatie	Spoornummer	Spoortype	Depositietype	Datering	Vulling	N	M (gr)
	101	Paalkuil			Onbepaald	5	358

Staalname	Grondstof	Vorm	Datering	Opmerkingen	≥ 4mm	2mm	1mm	0,5mm	0,25mm	N	M (gr)
2022A471-S101-St31-0,25mm	Macroresten 0,25 mm	Spoorvulling	Onbepaald						1	1	123
2022A471-S101-St32-0,5mm	Macroresten 0,5 mm	Spoorvulling	Onbepaald					1		1	181
2022A471-S101-St33-1mm	Macroresten 1 mm	Spoorvulling	Onbepaald				1			1	25
2022A471-S101-St34-2mm	Macroresten 2 mm	Spoorvulling	Onbepaald			1				1	10
2022A471-S101-St35-4mm	Macroresten 4 mm	Spoorvulling	Onbepaald		1					1	19

Spoorinformatie	Spoornummer	Spoortype	Depositietype	Datering	Vulling	N	M (gr)
	115L2	Paalkuil - Vulling				6	611

Staalname	Grondstof	Vorm	Datering	Opmerkingen	≥ 4mm	2mm	1mm	0,5mm	0,25mm	N	M (gr)
2022A471-S115L2-St31-0,25mm	Macroresten 0,25 mm	Spoorvulling	Onbepaald						1	1	212
2022A471-S115L2-St32-0,5mm	Macroresten 0,5 mm	Spoorvulling	Onbepaald					1		1	109
2022A471-S115L2-St33-1mm	Macroresten 1 mm	Spoorvulling	Onbepaald				1			1	17
2022A471-S115L2-St34-2mm	Macroresten 2 mm	Spoorvulling	Onbepaald			1				1	9
2022A471-S115L2-St35-4mm	Macroresten 4 mm	Spoorvulling	Onbepaald		1					1	9
2022A471-S115L2-St22	Pollen Koker	Spoorvulling	Onbepaald						1	1	255

Spoorinformatie	Spoornummer	Spoortype	Depositietype	Datering	Vulling	N	M (gr)
	122L1	Paalkuil met kern - Kern				6	645

Staalname	Grondstof	Vorm	Datering	Opmerkingen	≥ 4mm	2mm	1mm	0,5mm	0,25mm	N	M (gr)
2022A471-S122L1-St31-0,25mm	Macroresten 0,25 mm	Spoorvulling	Onbepaald						1	1	248
2022A471-S122L1-St32-0,5mm	Macroresten 0,5 mm	Spoorvulling	Onbepaald					1		1	137
2022A471-S122L1-St33-1mm	Macroresten 1 mm	Spoorvulling	Onbepaald				1			1	19

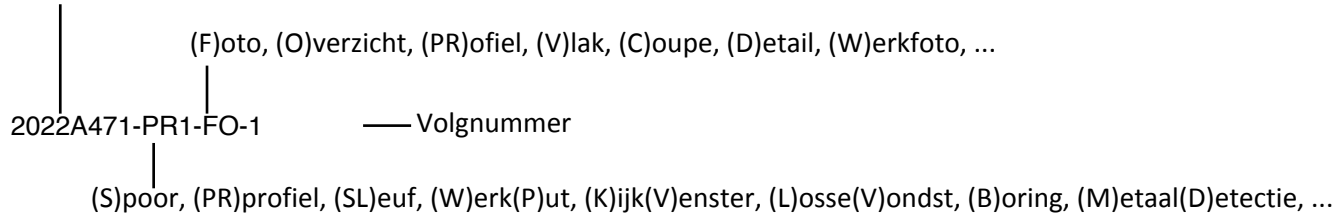
## Het archeologisch onderzoek aan de Vossebergen te Werchter

---

2022A471-S122L1-St34-2mm	Macroresten 2 mm	Spoorvulling	Onbepaald	1	1	8	
2022A471-S122L1-St35-4mm	Macroresten 4 mm	Spoorvulling	Onbepaald	1	1	10	
2022A471-S122L1-St22	Pollen Koker	Spoorvulling	Onbepaald		1	1	223

## Bijlage 4 Foto's (2022A471)

Vergunningsnummer



2022A471-LV1-Ce-FO-1	2022A471-S2-FV-2	2022A471-S6_5-FD-2	2022A471-S9-FV-2
2022A471-LV1-Ce-FO-2	2022A471-S2-FV-3	2022A471-S6_5-FD-3	2022A471-S9-FV-3
2022A471-S126_LV2-Li-FV-1	2022A471-S2-FV-4	2022A471-S6_5-FD-4	2022A471-S10-FC-1
2022A471-S126_LV2-Li-FV-2	2022A471-S3-FC-1	2022A471-S6_5-FD-5	2022A471-S10-FC-2
2022A471-PR1-FD-1	2022A471-S3-FC-2	2022A471-S6_5-FD-6	2022A471-S10-FC-3
2022A471-PR1-FO-1	2022A471-S3-FC-3	2022A471-S7-Ce-FO-1	2022A471-S10-FC-4
2022A471-PR1-FPR-1	2022A471-S3-FC-4	2022A471-S7-Ce-FO-2	2022A471-S10-FV-1
2022A471-PR1-FPR-2	2022A471-S3-FV-1	2022A471-S7-FC-1	2022A471-S10-FV-2
2022A471-PR1-FPR-3	2022A471-S3-FV-2	2022A471-S7-FC-2	2022A471-S10-FV-3
2022A471-PR2-FD-2	2022A471-S3-FV-3	2022A471-S7-FC-3	2022A471-S10-FV-4
2022A471-PR2-FD-3	2022A471-S3-FV-4	2022A471-S7-FC-4	2022A471-S11-FC-1
2022A471-PR2-FD-1	2022A471-S4-FC-1	2022A471-S7-FD-1	2022A471-S11-FC-2
2022A471-PR2-FO-1	2022A471-S4-FC-2	2022A471-S7-FD-2	2022A471-S11-FV-1
2022A471-PR2-FPR-6	2022A471-S4-FV-1	2022A471-S7-FD-3	2022A471-S11-FV-2
2022A471-PR2-FPR-5	2022A471-S4-FV-2	2022A471-S7-FD-4	2022A471-S11-FV-3
2022A471-PR2-FPR-4	2022A471-S4-FV-3	2022A471-S7-FD-5	2022A471-S11-FV-4
2022A471-PR2-FPR-3	2022A471-S4-FV-4	2022A471-S7-FD-6	2022A471-S12-13-FC-1
2022A471-PR2-FPR-2	2022A471-S5-6-FV-1	2022A471-S7-FV-1	2022A471-S12-13-FC-2
2022A471-PR2-FPR-1	2022A471-S5-6-FV-2	2022A471-S7-FV-2	2022A471-S12-13-FC-3
2022A471-PR2L1-Ce-Me-Li-FO-1	2022A471-S5-6-FV-3	2022A471-S7-FV-3	2022A471-S12-13-FC-4
2022A471-PR2L1-Ce-Me-Li-FO-2	2022A471-S5-6-FV-4	2022A471-S7-FV-4	2022A471-S12-FV-1
2022A471-PR2L2-Ce-FO-1	2022A471-S5-6-FV-5	2022A471-S7-FV-5	2022A471-S12-FV-2
2022A471-PR2L2-Ce-FO-2	2022A471-S5-6-FV-6	2022A471-S8-FC-1	2022A471-S12-FV-3
2022A471-S1-FC-1	2022A471-S5-6-FV-7	2022A471-S8-FC-2	2022A471-S12-FV-4
2022A471-S1-FC-2	2022A471-S5-6-FV-8	2022A471-S8-FC-3	2022A471-S13-FV-1
2022A471-S1-FC-3	2022A471-S5-6-FV-9	2022A471-S8-FC-4	2022A471-S13-FV-2
2022A471-S1-FC-4	2022A471-S5-6-FV-10	2022A471-S8-FC-5	2022A471-S13-FV-3
2022A471-S1-FV-1	2022A471-S5-6-FV-11	2022A471-S8-FC-6	2022A471-S13-FV-4
2022A471-S1-FV-2	2022A471-S6-Ce-FO-1	2022A471-S8-FV-1	2022A471-S14_34_15-FC-1
2022A471-S1-FV-3	2022A471-S6-Ce-FO-2	2022A471-S8-FV-2	2022A471-S14_34_15-FC-2
2022A471-S1-FV-4	2022A471-S6-Ce-FO-3	2022A471-S8-FV-3	2022A471-S14_34_15-FC-3
2022A471-S2-FC-1	2022A471-S6_5-FC-1	2022A471-S9-FC-1	2022A471-S14_34_15-FC-4
2022A471-S2-FC-2	2022A471-S6_5-FC-2	2022A471-S9-FC-2	2022A471-S14_34_15-FC-5
2022A471-S2-FC-3	2022A471-S6_5-FC-3	2022A471-S9-FC-3	2022A471-S14_34_15-FC-6
2022A471-S2-FC-4	2022A471-S6_5-FC-4	2022A471-S9-FC-4	2022A471-S14-15-FV-1
2022A471-S2-FV-1	2022A471-S6_5-FD-1	2022A471-S9-FV-1	2022A471-S14-15-FV-2

## Het archeologisch onderzoek aan de Vossebergen te Werchter

2022A471-S14-15-FV-3	2022A471-S19-FV-4	2022A471-S25-FV-1	2022A471-S28-FV-6
2022A471-S14-15-FV-4	2022A471-S20-FC-1	2022A471-S25-FV-2	2022A471-S28-FV-16
2022A471-S15-FC-1	2022A471-S20-FC-2	2022A471-S25-FV-3	2022A471-S28-FV-13
2022A471-S15-FC-2	2022A471-S20-FC-3	2022A471-S26-Ce-Na-FO-1	2022A471-S28-FV-15
2022A471-S15-FC-3	2022A471-S20-FC-4	2022A471-S26-Ce-Na-FO-2	2022A471-S28-FV-14
2022A471-S15-FC-4	2022A471-S20-FC-5	2022A471-S26-FV-1	2022A471-S29-FC-1
2022A471-S15-FC-5	2022A471-S20-FV-1	2022A471-S26-FV-2	2022A471-S29-FC-2
2022A471-S15-FC-6	2022A471-S20-FV-2	2022A471-S26-FV-3	2022A471-S29-FC-3
2022A471-S16-Fa-FO-1	2022A471-S20-FV-3	2022A471-S26-FV-4	2022A471-S29-FC-4
2022A471-S16-Fa-FO-2	2022A471-S20-FV-4	2022A471-S26-FV-5	2022A471-S29-FV-1
2022A471-S16-Fa-FO-3	2022A471-S21-FC-1	2022A471-S26-FW-1	2022A471-S29-FV-2
2022A471-S16-Fa-FO-4	2022A471-S21-FC-2	2022A471-S26-FW-2	2022A471-S29-FV-3
2022A471-S16-FC-1	2022A471-S21-FC-3	2022A471-S26-FW-3	2022A471-S29-FV-4
2022A471-S16-FC-2	2022A471-S21-FC-4	2022A471-S27-FC-1	2022A471-S30-Ce-FO-1
2022A471-S16-FC-3	2022A471-S21-FV-1	2022A471-S27-FC-2	2022A471-S30-Ce-FO-2
2022A471-S16-FC-4	2022A471-S21-FV-2	2022A471-S27-FC-3	2022A471-S30-Ce-FO-3
2022A471-S16-FV-1	2022A471-S21-FV-3	2022A471-S27-FC-4	2022A471-S30-Ce-FO-4
2022A471-S16-FV-2	2022A471-S21-FV-4	2022A471-S27-FC-5	2022A471-S30-Ce-FO-5
2022A471-S16-FV-3	2022A471-S22-FC-1	2022A471-S27-FC-6	2022A471-S30-FV-1
2022A471-S16-FV-4	2022A471-S22-FC-2	2022A471-S27-FV-1	2022A471-S30-FV-2
2022A471-S17-FC-1	2022A471-S22-FC-3	2022A471-S27-FV-2	2022A471-S30-FV-3
2022A471-S17-FC-2	2022A471-S22-FC-4	2022A471-S27-FV-3	2022A471-S30-FV-4
2022A471-S17-FC-3	2022A471-S22-FV-1	2022A471-S27-FV-4	2022A471-S30-FW-1
2022A471-S17-FC-4	2022A471-S22-FV-2	2022A471-S27-FV-5	2022A471-S30-FW-2
2022A471-S17-FV-1	2022A471-S22-FV-3	2022A471-S27-FV-7	2022A471-S31_28-FC-1
2022A471-S17-FV-2	2022A471-S22-FV-4	2022A471-S27-FV-6	2022A471-S31_28-FC-2
2022A471-S17-FV-3	2022A471-S23-FC-1	2022A471-S28-FC-1	2022A471-S31_28-FC-3
2022A471-S17-FV-4	2022A471-S23-FC-2	2022A471-S28-FC-2	2022A471-S31_28-FC-4
2022A471-S18-FC-1	2022A471-S23-FC-3	2022A471-S28-FC-3	2022A471-S31_28-FC-5
2022A471-S18-FC-2	2022A471-S23-FC-4	2022A471-S28-FC-4	2022A471-S31_28-FC-6
2022A471-S18-FC-3	2022A471-S23-FV-1	2022A471-S28-FC-5	2022A471-S31_28-FC-7
2022A471-S18-FC-4	2022A471-S23-FV-2	2022A471-S28-FC-6	2022A471-S31-FV-1
2022A471-S18-FC-5	2022A471-S23-FV-3	2022A471-S28-FD-1	2022A471-S31-FV-2
2022A471-S18-FV-1	2022A471-S23-FV-4	2022A471-S28-FV-1	2022A471-S31-FV-3
2022A471-S18-FV-2	2022A471-S24-FC-1	2022A471-S28-FV-2	2022A471-S31-FV-4
2022A471-S18-FV-3	2022A471-S24-FC-2	2022A471-S28-FV-3	2022A471-S32_30-FC-1
2022A471-S18-FV-4	2022A471-S24-FC-3	2022A471-S28-FV-4	2022A471-S32_30-FC-2
2022A471-S19-FC-1	2022A471-S24-FC-4	2022A471-S28-FV-5	2022A471-S32_30-FC-3
2022A471-S19-FC-2	2022A471-S24-FV-1	2022A471-S28-FV-12	2022A471-S32_30-FC-4
2022A471-S19-FC-3	2022A471-S24-FV-2	2022A471-S28-FV-11	2022A471-S32_30-FC-5
2022A471-S19-FC-4	2022A471-S24-FV-3	2022A471-S28-FV-9	2022A471-S32_30-FC-6
2022A471-S19-FV-1	2022A471-S24-FV-4	2022A471-S28-FV-10	2022A471-S32-FV-1
2022A471-S19-FV-2	2022A471-S25-FC-1	2022A471-S28-FV-8	2022A471-S32-FV-2
2022A471-S19-FV-3	2022A471-S25-FC-2	2022A471-S28-FV-7	2022A471-S32-FV-3

## Het archeologisch onderzoek aan de Vossebergen te Werchter

2022A471-S32-FV-4	2022A471-S35-36-FV-3	2022A471-S41-42-FC-5	2022A471-S44-FC-1
2022A471-S32-FV-5	2022A471-S35-36-FV-1	2022A471-S41-42-FC-1	2022A471-S44-FV-4
2022A471-S33-FC-1	2022A471-S35-FV-6	2022A471-S41-FC-3	2022A471-S44-FV-3
2022A471-S33-FC-2	2022A471-S35-FW-1	2022A471-S41-FC-2	2022A471-S44-FV-1
2022A471-S33-FC-3	2022A471-S36_35-FC-2	2022A471-S41-42-FC-2	2022A471-S44-FV-2
2022A471-S33-FC-4	2022A471-S36_35-FC-3	2022A471-S41-FC-1	2022A471-S45-FC-1
2022A471-S33-FC-5	2022A471-S36_35-FC-1	2022A471-S41-FC-5	2022A471-S45-FC-2
2022A471-S33-FC-6	2022A471-S37-FC-1	2022A471-S41-FC-4	2022A471-S45-FD-1
2022A471-S33-FC-7	2022A471-S37-FC-4	2022A471-S41-42-FC-7	2022A471-S45-FD-2
2022A471-S33-FC-8	2022A471-S37-FC-2	2022A471-S41-42-FC-11	2022A471-S45-FV-1
2022A471-S33-FD-1	2022A471-S37-FC-3	2022A471-S41-42-FC-12	2022A471-S45-FV-3
2022A471-S33-FD-2	2022A471-S37-FV-4	2022A471-S41-42-FC-14	2022A471-S45-FV-2
2022A471-S33-FD-3	2022A471-S37-FV-3	2022A471-S41-42-FC-13	2022A471-S45-FV-4
2022A471-S33-FD-4	2022A471-S37-FV-2	2022A471-S41-42-FC-10	2022A471-S46VL2-FC-1
2022A471-S33-FD-5	2022A471-S37-FV-1	2022A471-S41-42-FC-9	2022A471-S46VL2-FC-2
2022A471-S33-FD-6	2022A471-S38-FC-2	2022A471-S41-42-FC-8	2022A471-S46VL2-FC-3
2022A471-S33-FD-7	2022A471-S38-FC-3	2022A471-S41-42-FD-1	2022A471-S46VL2-FC-4
2022A471-S33-FD-8	2022A471-S38-FC-4	2022A471-S41-42-FD-2	2022A471-S46VL2-FV-2
2022A471-S33-FD-9	2022A471-S38-FC-1	2022A471-S41-42-FD-3	2022A471-S46VL2-FV-3
2022A471-S33-FD-10	2022A471-S38-FV-2	2022A471-S41-42-FV-1	2022A471-S46VL2-FV-4
2022A471-S33-FD-11	2022A471-S38-FV-1	2022A471-S41-42-FV-2	2022A471-S46VL2-FV-1
2022A471-S33-FD-12	2022A471-S38-FV-3	2022A471-S41-42-FV-6	2022A471-S47VL2-FC-1
2022A471-S33-FD-13	2022A471-S38-FV-4	2022A471-S41-42-FV-5	2022A471-S47VL2-FC-2
2022A471-S33-FD-14	2022A471-S39-FC-2	2022A471-S41-42-FV-7	2022A471-S47VL2-FV-1
2022A471-S33-FD-15	2022A471-S39-FC-1	2022A471-S41-42-FV-8	2022A471-S47VL2-FV-4
2022A471-S33-FV-1	2022A471-S39-FV-3	2022A471-S41-42-FV-4	2022A471-S47VL2-FV-3
2022A471-S33-FV-2	2022A471-S39-FV-4	2022A471-S41-42-FV-3	2022A471-S47VL2-FV-2
2022A471-S33-FV-3	2022A471-S39-FV-1	2022A471-S41-42-FV-9	2022A471-S48VL2-FC-5
2022A471-S35-Bo-FO-1	2022A471-S39-FV-2	2022A471-S41-42-FV-10	2022A471-S48VL2-FC-4
2022A471-S35-Bo-FO-2	2022A471-S40-FC-2	2022A471-S42-FV-4	2022A471-S48VL2-FC-2
2022A471-S35-FC-1	2022A471-S40-FC-1	2022A471-S42-FV-1	2022A471-S48VL2-FC-3
2022A471-S35-FC-2	2022A471-S40-FV-2	2022A471-S42-FV-2	2022A471-S48VL2-FC-1
2022A471-S35-FC-4	2022A471-S40-FV-1	2022A471-S42-FV-3	2022A471-S48VL2-FV-4
2022A471-S35-FC-3	2022A471-S40-FV-4	2022A471-S42-Me-FO-1	2022A471-S48VL2-FV-3
2022A471-S35_65-FC-4	2022A471-S40-FV-3	2022A471-S42-Me-FO-2	2022A471-S48VL2-FV-1
2022A471-S35_65-FC-1	2022A471-S41-Ce-Fa-FO-1	2022A471-S43-FC-1	2022A471-S48VL2-FV-2
2022A471-S35_65-FC-2	2022A471-S41-Ce-Fa-FO-2	2022A471-S43-FC-2	2022A471-S48VL2-FV-5
2022A471-S35_65-FC-3	2022A471-S41-Ce-Fa-FO-3	2022A471-S43-FC-3	2022A471-S49-FC-10
2022A471-S35-FV-1	2022A471-S41-Ce-Fa-FO-4	2022A471-S43-FC-4	2022A471-S49-FC-9
2022A471-S35-FV-3	2022A471-S41-Ce-Fa-FO-5	2022A471-S43-FV-4	2022A471-S49-FC-5
2022A471-S35-FV-2	2022A471-S41-Ce-Fa-FO-6	2022A471-S43-FV-3	2022A471-S49-FC-6
2022A471-S35-FV-4	2022A471-S41-42-FC-3	2022A471-S43-FV-1	2022A471-S49-FC-4
2022A471-S35-FV-5	2022A471-S41-42-FC-4	2022A471-S43-FV-2	2022A471-S49-FC-3
2022A471-S35-36-FV-2	2022A471-S41-42-FC-6	2022A471-S44-FC-2	2022A471-S49-FC-8

2022A471-S49-FC-7	2022A471-S53-FV-1	2022A471-S57-FV-4	2022A471-S63-FV-1
2022A471-S49-FC-1	2022A471-S53-FV-4	2022A471-S57-FV-3	2022A471-S63-FV-2
2022A471-S49-FC-2	2022A471-S54-FC-3	2022A471-S57-FV-2	2022A471-S63-FV-3
2022A471-S49-FD-5	2022A471-S54-FC-4	2022A471-S57-FV-1	2022A471-S63-FV-4
2022A471-S49-FD-4	2022A471-S54-FC-2	2022A471-S58VL2-FC-1	2022A471-S64-FC-2
2022A471-S49-FD-2	2022A471-S54-FC-1	2022A471-S58VL2-FC-2	2022A471-S64-FC-1
2022A471-S49-FD-3	2022A471-S54-FV-1	2022A471-S58VL2-FV-1	2022A471-S64-FV-4
2022A471-S49-FD-1	2022A471-S54-FV-4	2022A471-S58VL2-FV-2	2022A471-S64-FV-3
2022A471-S49-FV-1	2022A471-S54-FV-2	2022A471-S58VL2-FV-4	2022A471-S64-FV-2
2022A471-S49-FV-2	2022A471-S54-FV-3	2022A471-S58VL2-FV-3	2022A471-S64-FV-1
2022A471-S50_49-FC-4	2022A471-S55-Ce-Me-FO-1	2022A471-S59-FC-3	2022A471-S65_35-FV-1
2022A471-S50_49-FC-3	2022A471-S55-Ce-Me-FO-2	2022A471-S59-FC-4	2022A471-S65_35-FV-4
2022A471-S50_49-FC-5	2022A471-S55-Ce-Me-FO-3	2022A471-S59-FC-1	2022A471-S65_35-FV-3
2022A471-S50_49-FC-1	2022A471-S55-Ce-Me-FO-4	2022A471-S59-FC-2	2022A471-S65_35-FV-2
2022A471-S50_49-FC-2	2022A471-S55-FC-1	2022A471-S59-FV-2	2022A471-S66-FC-2
2022A471-S50-FV-4	2022A471-S55-FC-2	2022A471-S59-FV-3	2022A471-S66-FC-3
2022A471-S50-FV-3	2022A471-S55-FC-3	2022A471-S59-FV-1	2022A471-S66-FC-1
2022A471-S50-FV-2	2022A471-S55-FC-4	2022A471-S60-FC-3	2022A471-S66-FC-4
2022A471-S50-FV-1	2022A471-S55-FV-6	2022A471-S60-FC-2	2022A471-S66-FV-2
2022A471-S51-FC-3	2022A471-S55-FV-5	2022A471-S60-FC-1	2022A471-S66-FV-3
2022A471-S51-FC-1	2022A471-S55-FV-3	2022A471-S60-FV-1	2022A471-S66-FV-1
2022A471-S51-FC-2	2022A471-S55-FV-2	2022A471-S60-FV-2	2022A471-S66-FV-4
2022A471-S51-FC-4	2022A471-S55-FV-4	2022A471-S61-FC-2	2022A471-S67-FC-3
2022A471-S51-FD-1	2022A471-S55-FV-1	2022A471-S61-FC-1	2022A471-S67-FC-2
2022A471-S51-FD-2	2022A471-S55-FW-1	2022A471-S61-FI-FO-1	2022A471-S67-FC-1
2022A471-S51-FV-2	2022A471-S56-Ce-Me-Fa-FO-1	2022A471-S61-FI-FO-2	2022A471-S67-FC-4
2022A471-S51-FV-3	2022A471-S56-Ce-Me-Fa-FO-2	2022A471-S61-FI-FO-3	2022A471-S67-FV-1
2022A471-S51-FV-4	2022A471-S56-Ce-Me-Fa-FO-3	2022A471-S61-FV-1	2022A471-S67-FV-2
2022A471-S51-FV-1	2022A471-S56-Ce-Me-Fa-FO-4	2022A471-S61-FV-2	2022A471-S67-FV-3
2022A471-S52-FC-4	2022A471-S56-Ce-Me-Fa-FO-5	2022A471-S61-FV-3	2022A471-S67-FV-4
2022A471-S52-FC-1	2022A471-S56-Ce-Me-Fa-FO-6	2022A471-S62-FC-1	2022A471-S68-FC-2
2022A471-S52-FC-3	2022A471-S56-FC-3	2022A471-S62-FC-3	2022A471-S68-FC-3
2022A471-S52-FC-2	2022A471-S56-FC-4	2022A471-S62-FC-2	2022A471-S68-FC-1
2022A471-S52-FV-1	2022A471-S56-FC-2	2022A471-S62-FC-4	2022A471-S68-FC-4
2022A471-S52-FV-3	2022A471-S56-FC-1	2022A471-S62-FV-4	2022A471-S68-FV-4
2022A471-S52-FV-2	2022A471-S56-FD-1	2022A471-S62-FV-2	2022A471-S68-FV-2
2022A471-S52-FV-4	2022A471-S56-FV-2	2022A471-S62-FV-3	2022A471-S68-FV-3
2022A471-S53-FC-2	2022A471-S56-FV-1	2022A471-S62-FV-1	2022A471-S68-FV-1
2022A471-S53-FC-3	2022A471-S56-FV-3	2022A471-S63-FC-6	2022A471-S69-FC-2
2022A471-S53-FC-1	2022A471-S56-FV-4	2022A471-S63-FC-1	2022A471-S69-FC-3
2022A471-S53-FC-5	2022A471-S57-FC-2	2022A471-S63-FC-3	2022A471-S69-FC-4
2022A471-S53-FC-4	2022A471-S57-FC-1	2022A471-S63-FC-2	2022A471-S69-FC-1
2022A471-S53-FV-2	2022A471-S57-FC-3	2022A471-S63-FC-4	2022A471-S69-FV-4
2022A471-S53-FV-3	2022A471-S57-FC-4	2022A471-S63-FC-5	2022A471-S69-FV-1

Het archeologisch onderzoek aan de Vossebergen te Werchter

2022A471-S69-FV-3	2022A471-S73-FV-4	2022A471-S78-FC-2	2022A471-S83-FC-2
2022A471-S69-FV-2	2022A471-S73-FV-3	2022A471-S78-FC-1	2022A471-S83-FC-3
2022A471-S70-FV-1	2022A471-S73-FV-1	2022A471-S78-FV-1	2022A471-S83-FC-5
2022A471-S70-FV-2	2022A471-S73-FV-2	2022A471-S78-FV-2	2022A471-S83-FC-4
2022A471-S70-FV-3	2022A471-S74-FC-3	2022A471-S78-FV-3	2022A471-S84_86_100_121-Ce-FO-1
2022A471-S70-FV-4	2022A471-S74-FC-2	2022A471-S78-FV-4	2022A471-S84_86_100_121-Ce-FW-1
2022A471-S71_70-FC-4	2022A471-S74-FC-1	2022A471-S78-FV-5	2022A471-S84_86_100_121-Ce-FW-2
2022A471-S71_70-FC-3	2022A471-S74-FC-4	2022A471-S79-FD-1	2022A471-S84_86_100_121-Ce-FW-3
2022A471-S71_70-FC-2	2022A471-S74-FV-2	2022A471-S79-FI-FO-4	2022A471-S84-FC-3
2022A471-S71_70-FC-1	2022A471-S74-FV-1	2022A471-S79-FI-FO-1	2022A471-S84-FC-2
2022A471-S71-FV-1	2022A471-S74-FV-3	2022A471-S79-FI-FO-3	2022A471-S84-FC-1
2022A471-S71-FV-4	2022A471-S74-FV-4	2022A471-S79-FI-FO-2	2022A471-S84-FD-3
2022A471-S71-FV-3	2022A471-S75-FC-1	2022A471-S79-FV-2	2022A471-S84-FD-2
2022A471-S71-FV-2	2022A471-S75-FC-2	2022A471-S79-FV-1	2022A471-S84-FD-1
2022A471-S72-Ce-FO-1	2022A471-S75-FC-3	2022A471-S79-FV-3	2022A471-S84-FV-6
2022A471-S72-Ce-FO-2	2022A471-S75-FC-4	2022A471-S79-FV-4	2022A471-S84-FV-5
2022A471-S72_80-FC-1	2022A471-S75-FC-6	2022A471-S79-FW-6	2022A471-S84-FV-4
2022A471-S72_80-FC-3	2022A471-S75-FC-5	2022A471-S79-FW-5	2022A471-S84-FV-3
2022A471-S72_80-FC-2	2022A471-S75-FV-4	2022A471-S79-FW-7	2022A471-S84-FV-2
2022A471-S72-FC-4	2022A471-S75-FV-3	2022A471-S79-FW-4	2022A471-S84-FV-1
2022A471-S72_80-FC-8	2022A471-S75-FV-2	2022A471-S79-FW-8	2022A471-S85-FC-2
2022A471-S72-FC-3	2022A471-S75-FV-1	2022A471-S79-FW-2	2022A471-S85-FC-1
2022A471-S72_80-FC-7	2022A471-S76-FV-1	2022A471-S79-FW-3	2022A471-S85-FV-4
2022A471-S72_80-FC-6	2022A471-S76-FV-4	2022A471-S79-FW-1	2022A471-S85-FV-3
2022A471-S72-FC-2	2022A471-S76-FV-3	2022A471-S80-FV-1	2022A471-S85-FV-2
2022A471-S72_80-FC-4	2022A471-S76-FV-2	2022A471-S80-FV-2	2022A471-S85-FV-1
2022A471-S72-FC-1	2022A471-S77-FC-3	2022A471-S80-FV-3	2022A471-S86-FC-3
2022A471-S72_80-FC-5	2022A471-S77-FC-4	2022A471-S80-FV-4	2022A471-S86-FC-2
2022A471-S72_76-FV-1	2022A471-S77-FC-2	2022A471-S81-FC-2	2022A471-S86-FC-1
2022A471-S72-FV-3	2022A471-S77-FC-1	2022A471-S81-FC-1	2022A471-S86-FD-2
2022A471-S72-FV-2	2022A471-S77-FC-5	2022A471-S81-FO-1	2022A471-S86-FD-1
2022A471-S72-FV-1	2022A471-S77-FV-8	2022A471-S81-FV-1	2022A471-S86-FV-9
2022A471-S72_76-FW-6	2022A471-S77-FV-7	2022A471-S81-FV-2	2022A471-S86-FV-8
2022A471-S72_76-FW-1	2022A471-S77-FV-9	2022A471-S81-FV-4	2022A471-S86-FV-7
2022A471-S72_76-FW-2	2022A471-S77-FV-3	2022A471-S81-FV-3	2022A471-S86-FV-6
2022A471-S72_76-FW-3	2022A471-S77-FV-6	2022A471-S82-FC-4	2022A471-S86-FV-4
2022A471-S72_76-FW-5	2022A471-S77-FV-5	2022A471-S82-FC-2	2022A471-S86-FV-5
2022A471-S72_76-FW-4	2022A471-S77-FV-4	2022A471-S82-FC-3	2022A471-S86-FV-3
2022A471-S72-FW-2	2022A471-S77-FV-1	2022A471-S82-FC-1	2022A471-S86-FV-2
2022A471-S72-FW-1	2022A471-S77-FV-2	2022A471-S82-FV-3	2022A471-S86-FV-1
2022A471-S73-FC-1	2022A471-S78-FC-5	2022A471-S82-FV-4	2022A471-S87-FC-4
2022A471-S73-FC-4	2022A471-S78-FC-4	2022A471-S82-FV-1	2022A471-S87-FC-3
2022A471-S73-FC-2	2022A471-S78-FC-3	2022A471-S82-FV-2	2022A471-S87-FC-2
2022A471-S73-FC-3	2022A471-S78-FC-6	2022A471-S83-FC-1	2022A471-S87-FC-1

## Het archeologisch onderzoek aan de Vossebergen te Werchter

2022A471-S87-FV-4	2022A471-S92-FV-3	2022A471-S99-FV-3	2022A471-S103-FC-1
2022A471-S87-FV-3	2022A471-S92-FV-2	2022A471-S99-FV-2	2022A471-S103-FV-4
2022A471-S87-FV-2	2022A471-S92-FV-1	2022A471-S99-FV-1	2022A471-S103-FV-3
2022A471-S87-FV-1	2022A471-S93-FC-1	2022A471-S100-FC-4	2022A471-S103-FV-2
2022A471-S88-FC-4	2022A471-S93-FO-1	2022A471-S100-FC-3	2022A471-S103-FV-1
2022A471-S88-FC-3	2022A471-S93-FV-4	2022A471-S100-FC-2	2022A471-S104-FC-4
2022A471-S88-FC-2	2022A471-S93-FV-3	2022A471-S100-FC-1	2022A471-S104-FC-3
2022A471-S88-FC-1	2022A471-S93-FV-2	2022A471-S100-FD-1	2022A471-S104-FC-2
2022A471-S88-FV-4	2022A471-S93-FV-1	2022A471-S100-FV-4	2022A471-S104-FC-1
2022A471-S88-FV-3	2022A471-S94-FC-1	2022A471-S100-FV-3	2022A471-S104-FV-4
2022A471-S88-FV-2	2022A471-S94-FV-3	2022A471-S100-FV-2	2022A471-S104-FV-3
2022A471-S88-FV-1	2022A471-S94-FV-4	2022A471-S100-FV-1	2022A471-S104-FV-2
2022A471-S89-FC-4	2022A471-S94-FV-2	2022A471-S100-FV-5	2022A471-S104-FV-1
2022A471-S89-FC-3	2022A471-S94-FV-1	2022A471-S100-FV-6	2022A471-S105-FC-3
2022A471-S89-FC-2	2022A471-S95-FC-1	2022A471-S100-FV-7	2022A471-S105-FC-4
2022A471-S89-FC-1	2022A471-S95-FV-3	2022A471-S100-FV-8	2022A471-S105-FC-2
2022A471-S89-FV-4	2022A471-S95-FV-4	2022A471-S101_116-Ce-FO-1	2022A471-S105-FC-1
2022A471-S89-FV-3	2022A471-S95-FV-2	2022A471-S101_116-Ce-FO-2	2022A471-S105-FV-4
2022A471-S89-FV-2	2022A471-S95-FV-1	2022A471-S101-Ce-FO-1	2022A471-S105-FV-3
2022A471-S89-FV-1	2022A471-S96-FC-3	2022A471-S101-Ce-FO-2	2022A471-S105-FV-2
2022A471-S90-FC-4	2022A471-S96-FC-1	2022A471-S101-Ce-FO-3	2022A471-S105-FV-1
2022A471-S90-FC-3	2022A471-S96-FC-2	2022A471-S101-Ce-FO-4	2022A471-S106-FC-2
2022A471-S90-FC-2	2022A471-S96-FV-4	2022A471-S101-FC-4	2022A471-S106-FC-1
2022A471-S90-FC-1	2022A471-S96-FV-3	2022A471-S101-FC-3	2022A471-S106-FV-4
2022A471-S90-FV-4	2022A471-S96-FV-2	2022A471-S101-FC-2	2022A471-S106-FV-3
2022A471-S90-FV-3	2022A471-S96-FV-1	2022A471-S101-FC-1	2022A471-S106-FV-2
2022A471-S90-FV-2	2022A471-S97-98-FC-4	2022A471-S101-FD-3	2022A471-S106-FV-1
2022A471-S90-FV-1	2022A471-S97-98-FC-3	2022A471-S101-FD-2	2022A471-S107-108-FC-4
2022A471-S91-FC-4	2022A471-S97-98-FC-2	2022A471-S101-FD-1	2022A471-S107-108-FC-3
2022A471-S91-FC-3	2022A471-S97-98-FC-1	2022A471-S101-FV-4	2022A471-S107-108-FC-2
2022A471-S91-FC-2	2022A471-S97-98-FD-3	2022A471-S101-FV-3	2022A471-S107-108-FC-1
2022A471-S91-FC-1	2022A471-S97-98-FD-2	2022A471-S101-FV-2	2022A471-S107-108-FV-4
2022A471-S91-FV-8	2022A471-S97-98-FD-1	2022A471-S101-FV-1	2022A471-S107-108-FV-3
2022A471-S91-FV-9	2022A471-S97-98-FV-6	2022A471-S102-FC-4	2022A471-S107-108-FV-2
2022A471-S91-FV-7	2022A471-S97-98-FV-4	2022A471-S102-FC-3	2022A471-S107-108-FV-1
2022A471-S91-FV-6	2022A471-S97-98-FV-5	2022A471-S102-FC-1	2022A471-S109-FC-4
2022A471-S91-FV-5	2022A471-S97-98-FV-3	2022A471-S102-FC-2	2022A471-S109-FC-3
2022A471-S91-FV-4	2022A471-S97-98-FV-2	2022A471-S102-FV-4	2022A471-S109-FC-2
2022A471-S91-FV-3	2022A471-S97-98-FV-1	2022A471-S102-FV-3	2022A471-S109-FC-1
2022A471-S91-FV-2	2022A471-S99-FC-4	2022A471-S102-FV-2	2022A471-S109-FV-4
2022A471-S91-FV-1	2022A471-S99-FC-3	2022A471-S102-FV-1	2022A471-S109-FV-3
2022A471-S92-FC-1	2022A471-S99-FC-2	2022A471-S103-FC-4	2022A471-S109-FV-2
2022A471-S92-FO-1	2022A471-S99-FC-1	2022A471-S103-FC-3	2022A471-S109-FV-1
2022A471-S92-FV-4	2022A471-S99-FV-4	2022A471-S103-FC-2	2022A471-S110-FC-1

## Het archeologisch onderzoek aan de Vossebergen te Werchter

2022A471-S110-FV-4	2022A471-S121-FV-1	2022A471-S126-FV-5	2022A471-WP2-FO-14
2022A471-S110-FV-3	2022A471-S121-FV-2	2022A471-S126-FV-4	2022A471-WP2-FO-15
2022A471-S110-FV-2	2022A471-S121-FV-3	2022A471-S126-FV-3	2022A471-WP2-FO-13
2022A471-S110-FV-1	2022A471-S121-FV-4	2022A471-S126-FV-2	2022A471-WP2-FO-8
2022A471-S111-FC-2	2022A471-S122-FC-4	2022A471-S126-FV-1	2022A471-WP2-FO-7
2022A471-S111-FC-1	2022A471-S122-FC-3	2022A471-S126-FW-1	2022A471-WP2-FO-12
2022A471-S111-FD-1	2022A471-S122-FC-2	2022A471-WP1-FO-1	2022A471-WP2-FO-16
2022A471-S111-FV-2	2022A471-S122-FC-1	2022A471-WP1-FO-2	2022A471-WP2-FO-9
2022A471-S111-FV-1	2022A471-S122-FV-1	2022A471-WP1-FO-3	2022A471-WP2-FO-10
2022A471-S112-FC-1	2022A471-S122-FV-2	2022A471-WP1-FO-4	2022A471-WP2-FO-17
2022A471-S112-FC-2	2022A471-S122-FV-3	2022A471-WP1-FO-5	2022A471-WP2-FO-19
2022A471-S112-FC-3	2022A471-S122-FV-4	2022A471-WP1-FO-6	2022A471-WP2-FO-11
2022A471-S112-FC-4	2022A471-S123-FC-4	2022A471-WP1-FO-7	2022A471-WP2-FO-18
2022A471-S112-FV-1	2022A471-S123-FC-3	2022A471-WP1-FO-8	2022A471-WP2-FO-4
2022A471-S112-FV-2	2022A471-S123-FC-2	2022A471-WP1-FO-9	2022A471-WP2-FO-48
2022A471-S113-FC-1	2022A471-S123-FC-1	2022A471-WP1-FO-10	2022A471-WP2-FO-47
2022A471-S113-FC-2	2022A471-S123-FV-1	2022A471-WP1-FO-11	2022A471-WP2-FO-3
2022A471-S113-FC-3	2022A471-S123-FV-2	2022A471-WP1-FO-12	2022A471-WP2-FO-40
2022A471-S113-FC-4	2022A471-S123-FV-3	2022A471-WP1-FO-13	2022A471-WP2-FO-5
2022A471-S116-FC-1	2022A471-S123-FV-4	2022A471-WP1-FO-14	2022A471-WP2-FO-45
2022A471-S116-FC-2	2022A471-S124-FC-4	2022A471-WP1-FO-15	2022A471-WP2-FO-46
2022A471-S116-FC-3	2022A471-S124-FC-3	2022A471-WP1-FO-16	2022A471-WP2-FO-39
2022A471-S116-FC-4	2022A471-S124-FC-2	2022A471-WP2-FO-29	2022A471-WP2-FO-30
2022A471-S117-FC-1	2022A471-S124-FC-1	2022A471-WP2-FO-34	2022A471-WP2-FO-42
2022A471-S117-FC-2	2022A471-S124-FV-1	2022A471-WP2-FO-33	2022A471-WP2-FO-41
2022A471-S117-FD-1	2022A471-S124-FV-2	2022A471-WP2-FO-28	2022A471-WP2-FO-43
2022A471-S117-FW-1	2022A471-S124-FV-3	2022A471-WP2-FO-31	2022A471-WP2-FO-44
2022A471-S119-Ce-FO-1	2022A471-S124-FV-4	2022A471-WP2-FO-26	2022A471-WP2-FW-2
2022A471-S119-Ce-FO-2	2022A471-S125-FC-4	2022A471-WP2-FO-27	2022A471-WP2-FW-1
2022A471-S119-FC-4	2022A471-S125-FC-3	2022A471-WP2-FO-32	2022A471-WP3-FO-20
2022A471-S119-FC-3	2022A471-S125-FC-2	2022A471-WP2-FO-36	2022A471-WP3-FO-9
2022A471-S119-FC-2	2022A471-S125-FC-1	2022A471-WP2-FO-49	2022A471-WP3-FO-10
2022A471-S119-FC-1	2022A471-S125-FV-1	2022A471-WP2-FO-35	2022A471-WP3-FO-19
2022A471-S119-FV-1	2022A471-S125-FV-2	2022A471-WP2-FO-37	2022A471-WP3-FO-22
2022A471-S119-FV-2	2022A471-S125-FV-3	2022A471-WP2-FO-2	2022A471-WP3-FO-21
2022A471-S120-FC-1	2022A471-S125-FV-4	2022A471-WP2-FO-1	2022A471-WP3-FO-1
2022A471-S120-FC-2	2022A471-S126-FC-4	2022A471-WP2-FO-38	2022A471-WP3-FO-2
2022A471-S120-FC-3	2022A471-S126-FC-3	2022A471-WP2-FO-20	2022A471-WP3-FO-6
2022A471-S120-FC-4	2022A471-S126-FC-2	2022A471-WP2-FO-21	2022A471-WP3-FO-5
2022A471-S120-FC-5	2022A471-S126-FC-1	2022A471-WP2-FO-23	2022A471-WP3-FO-3
2022A471-S121-FC-4	2022A471-S126-FD-2	2022A471-WP2-FO-22	2022A471-WP3-FO-4
2022A471-S121-FC-3	2022A471-S126-FD-1	2022A471-WP2-FO-24	2022A471-WP3-FO-26
2022A471-S121-FC-2	2022A471-S126-FV-7	2022A471-WP2-FO-6	2022A471-WP3-FO-27
2022A471-S121-FC-1	2022A471-S126-FV-6	2022A471-WP2-FO-25	2022A471-WP3-FO-25

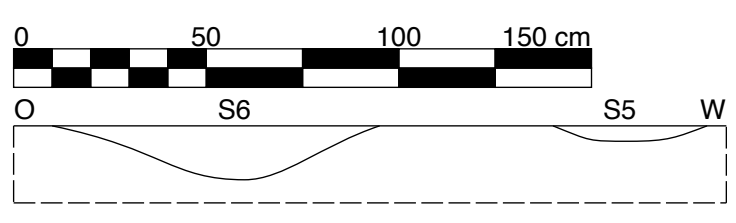
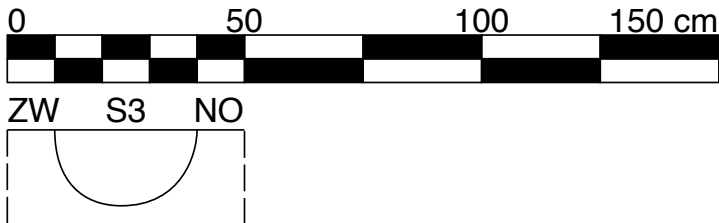
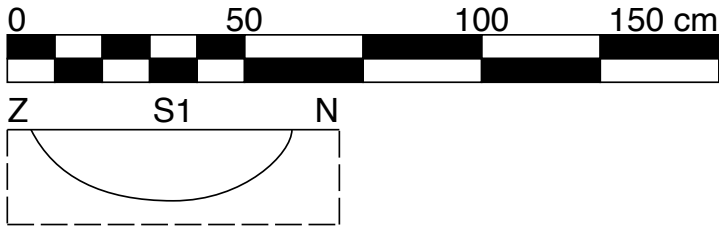
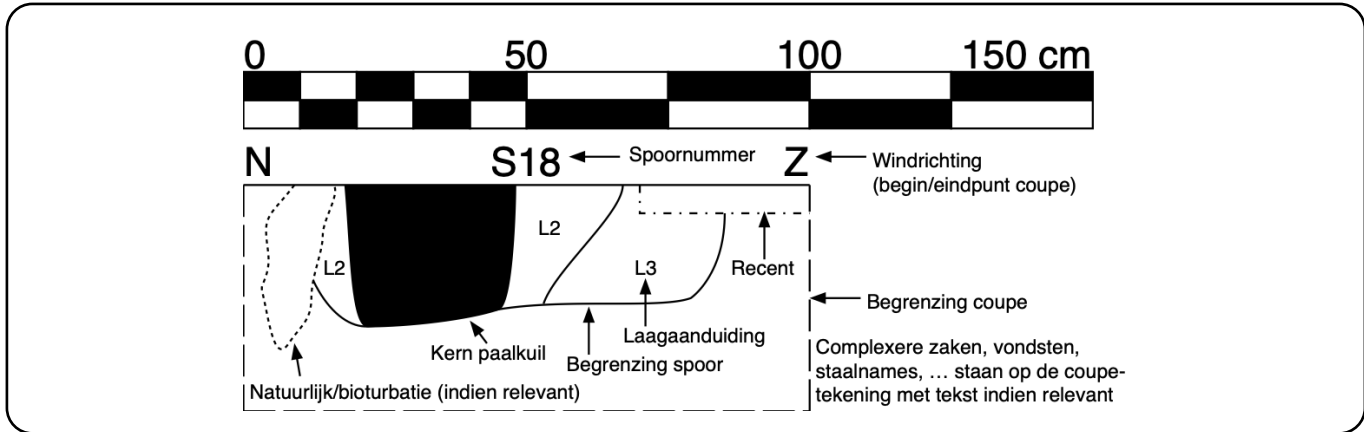
## Het archeologisch onderzoek aan de Vossebergen te Werchter

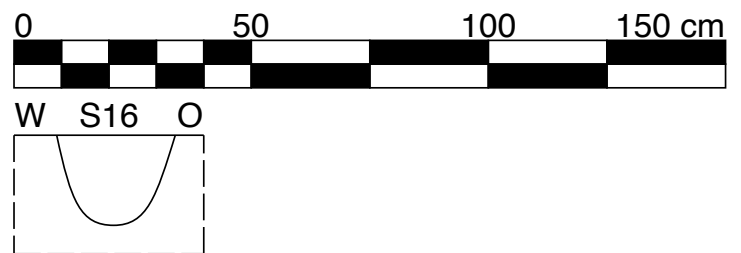
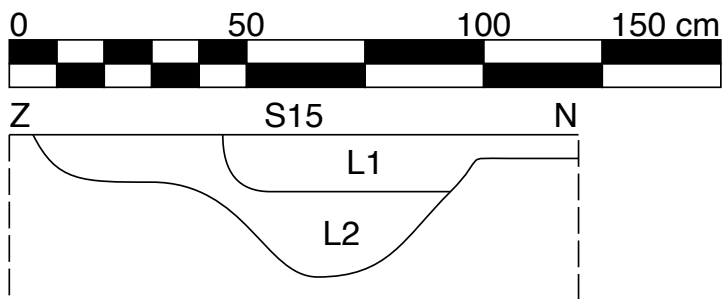
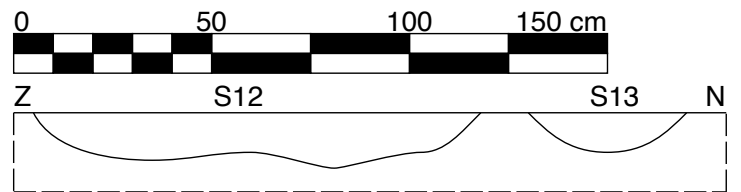
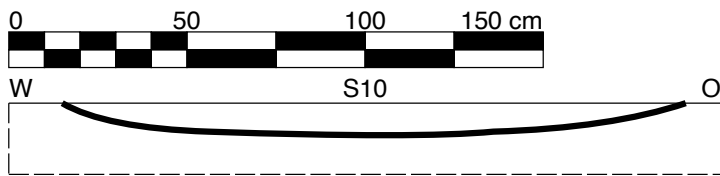
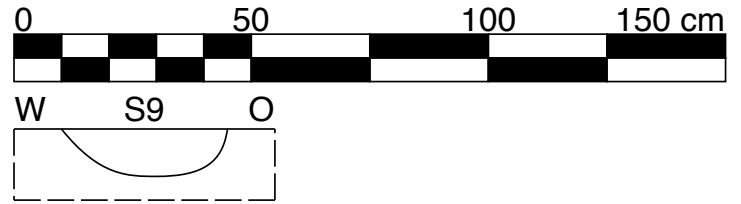
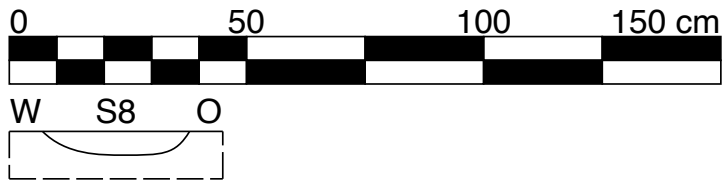
---

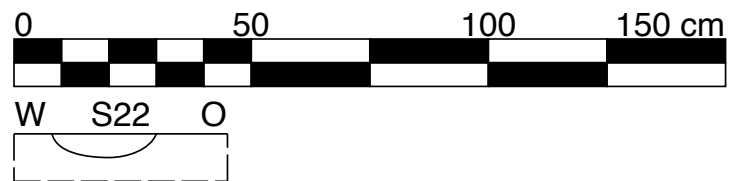
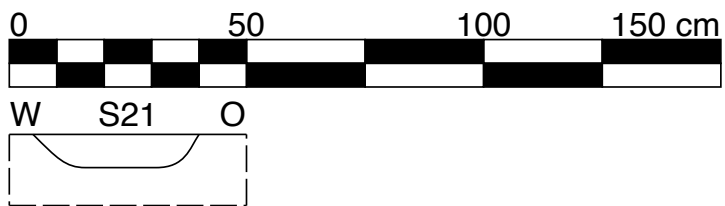
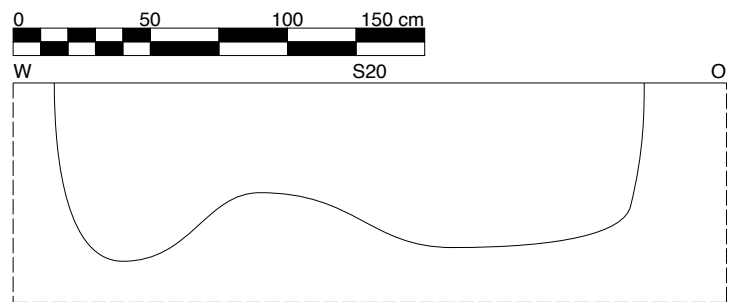
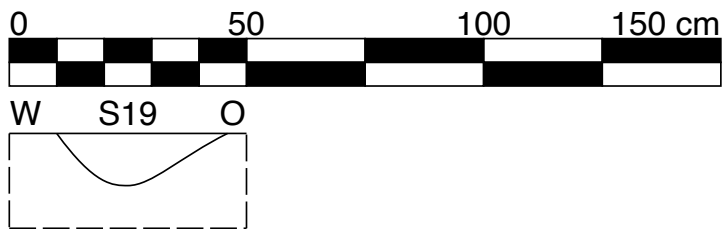
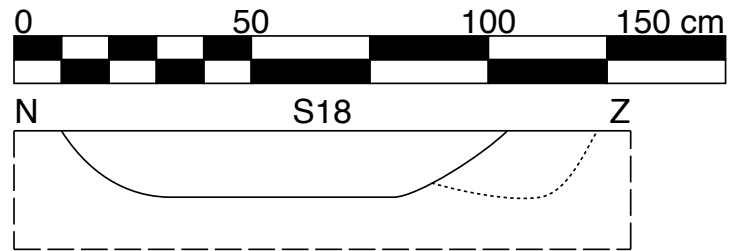
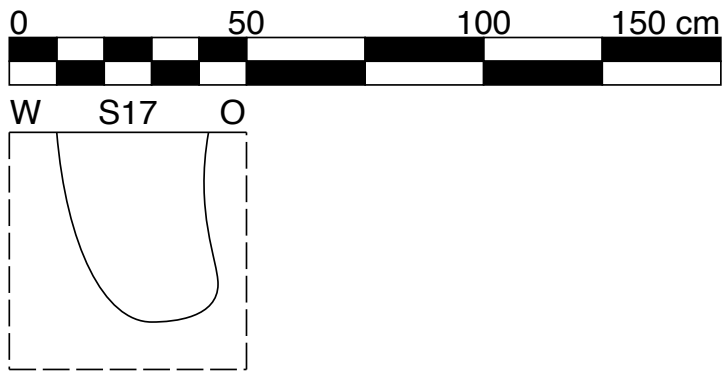
2022A471-WP3-FO-23	2022A471-WP4-FO-26	2022A471-WP5-FO-19
2022A471-WP3-FO-28	2022A471-WP4-FO-24	2022A471-WP5-FO-18
2022A471-WP3-FO-29	2022A471-WP4-FO-25	2022A471-WP5-FO-17
2022A471-WP3-FO-24	2022A471-WP4-FO-23	2022A471-WP5-FO-16
2022A471-WP3-FO-30	2022A471-WP4-FO-22	2022A471-WP5-FO-14
2022A471-WP3-FO-16	2022A471-WP4-FO-21	2022A471-WP5-FO-15
2022A471-WP3-FO-15	2022A471-WP4-FO-20	2022A471-WP5-FW-1
2022A471-WP3-FO-17	2022A471-WP4-FO-19	2022A471-WP5-FW-2
2022A471-WP3-FO-18	2022A471-WP4-FO-18	2022A471-WP5-FW-3
2022A471-WP3-FO-14	2022A471-WP4-FO-17	2022A471-WP5-FW-4
2022A471-WP3-FO-8	2022A471-WP4-FO-16	
2022A471-WP3-FO-7	2022A471-WP4-FO-15	
2022A471-WP3-FO-13	2022A471-WP4-FO-14	
2022A471-WP3-FO-11	2022A471-WP4-FO-13	
2022A471-WP3-FO-12	2022A471-WP4-FO-12	
2022A471-WP3-FW-3	2022A471-WP4-FO-11	
2022A471-WP3-FW-2	2022A471-WP4-FO-10	
2022A471-WP3-FW-1	2022A471-WP4-FO-9	
2022A471-WP3-FW-4	2022A471-WP4-FO-8	
2022A471-WP4-FO-51	2022A471-WP4-FO-7	
2022A471-WP4-FO-50	2022A471-WP4-FO-6	
2022A471-WP4-FO-49	2022A471-WP4-FO-5	
2022A471-WP4-FO-48	2022A471-WP4-FO-3	
2022A471-WP4-FO-47	2022A471-WP4-FO-4	
2022A471-WP4-FO-46	2022A471-WP4-FO-2	
2022A471-WP4-FO-45	2022A471-WP4-FO-1	
2022A471-WP4-FO-43	2022A471-WP5-FO-1	
2022A471-WP4-FO-44	2022A471-WP5-FO-2	
2022A471-WP4-FO-42	2022A471-WP5-FO-3	
2022A471-WP4-FO-41	2022A471-WP5-FO-4	
2022A471-WP4-FO-40	2022A471-WP5-FO-5	
2022A471-WP4-FO-38	2022A471-WP5-FO-6	
2022A471-WP4-FO-39	2022A471-WP5-FO-7	
2022A471-WP4-FO-37	2022A471-WP5-FO-8	
2022A471-WP4-FO-36	2022A471-WP5-FO-9	
2022A471-WP4-FO-34	2022A471-WP5-FO-10	
2022A471-WP4-FO-35	2022A471-WP5-FO-11	
2022A471-WP4-FO-33	2022A471-WP5-FO-12	
2022A471-WP4-FO-32	2022A471-WP5-FO-13	
2022A471-WP4-FO-31	2022A471-WP5-FO-24	
2022A471-WP4-FO-30	2022A471-WP5-FO-23	
2022A471-WP4-FO-29	2022A471-WP5-FO-22	
2022A471-WP4-FO-28	2022A471-WP5-FO-21	
2022A471-WP4-FO-27	2022A471-WP5-FO-20	

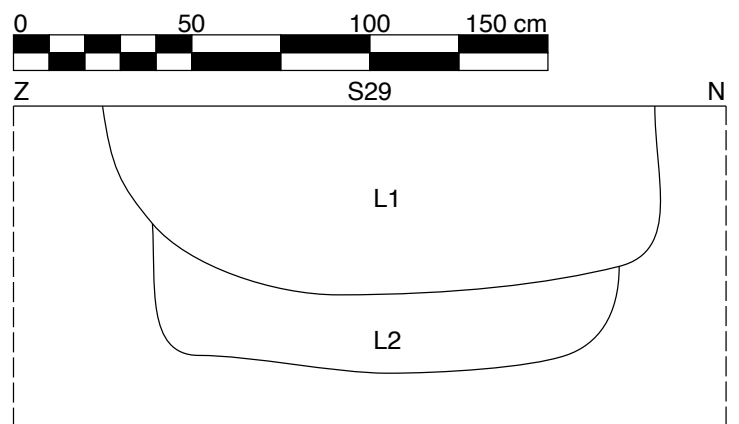
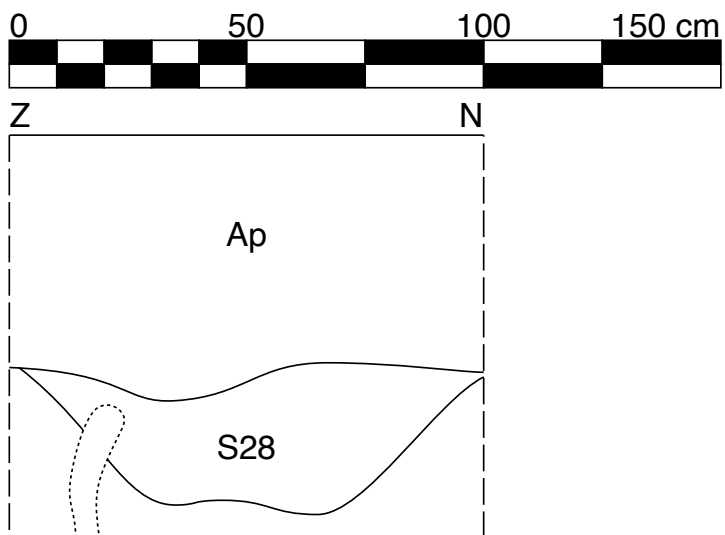
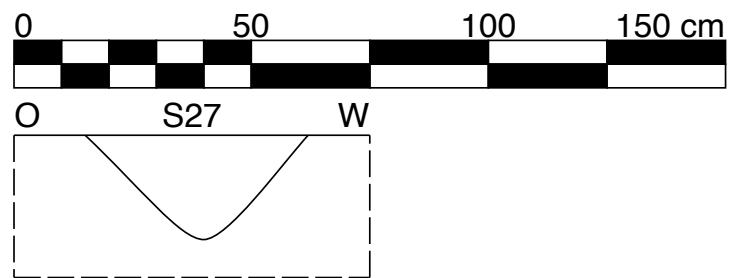
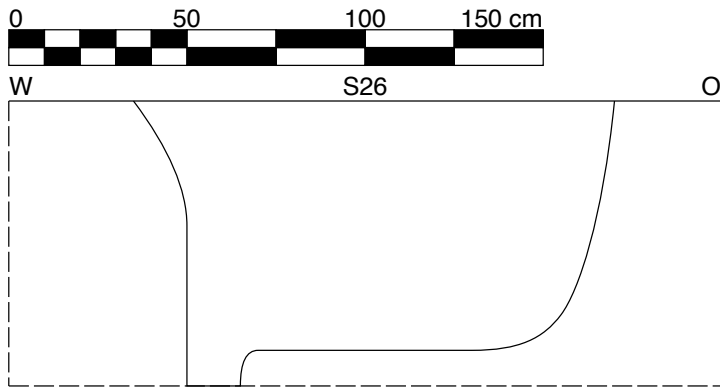
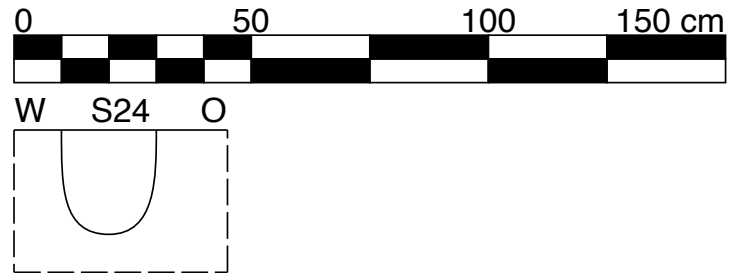
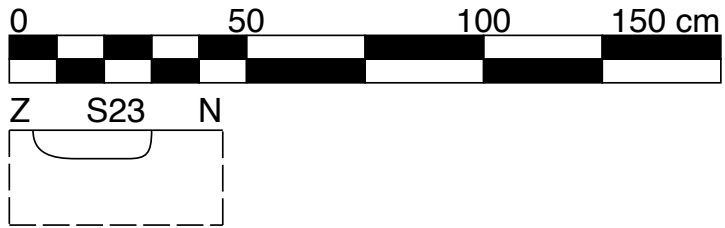
## Bijlage 5 Coupetekeningen (2022A471)

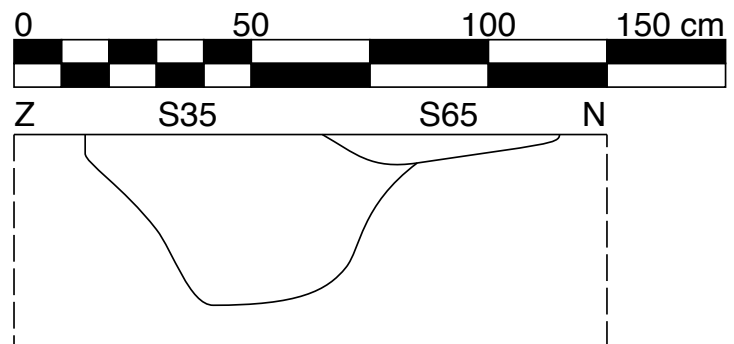
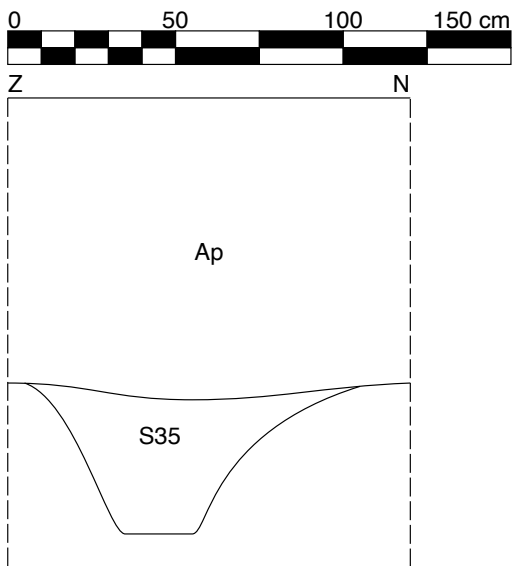
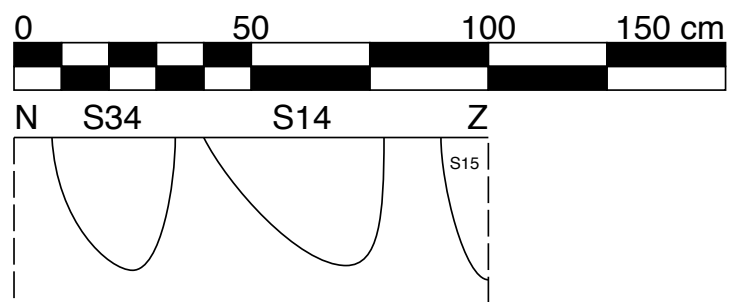
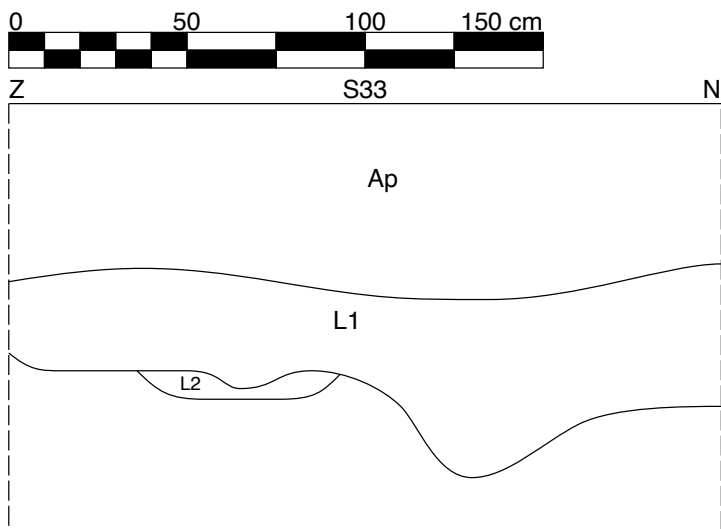
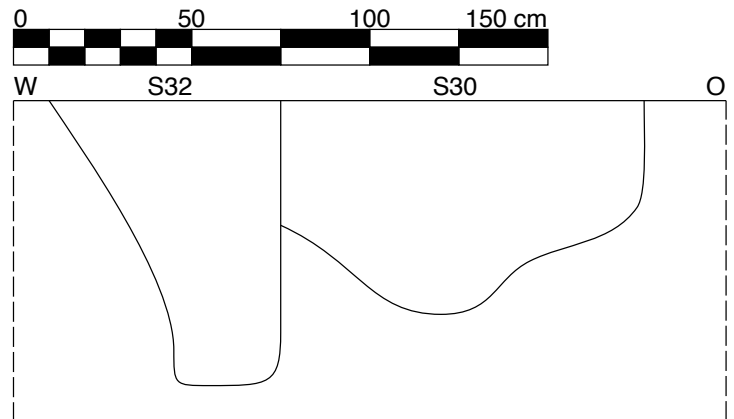
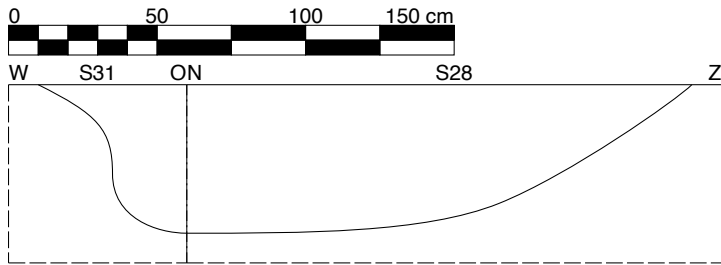
### Legende

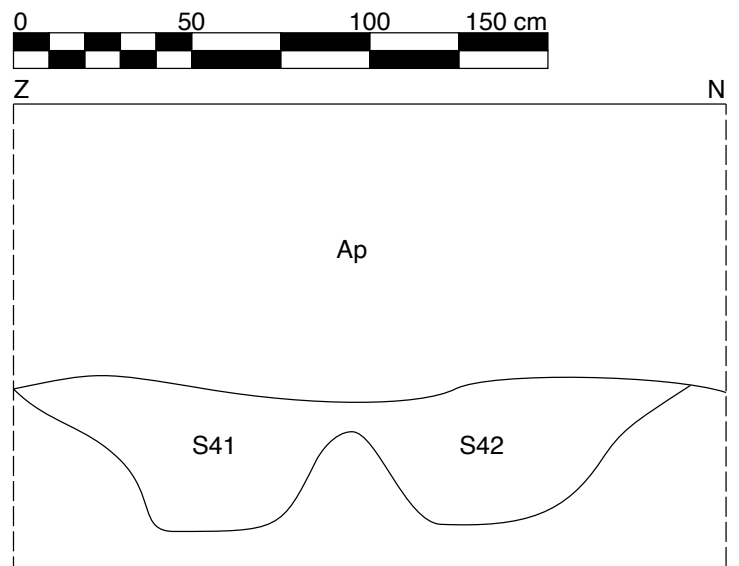
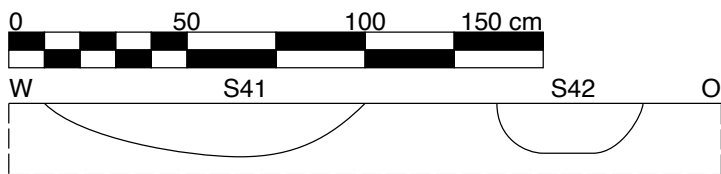
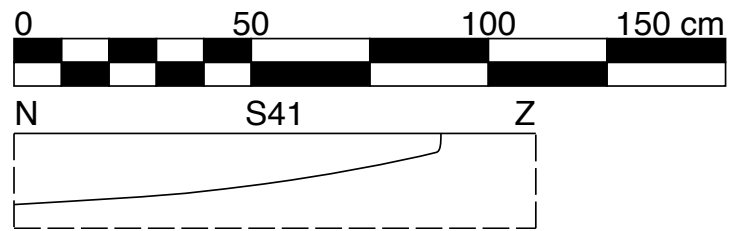
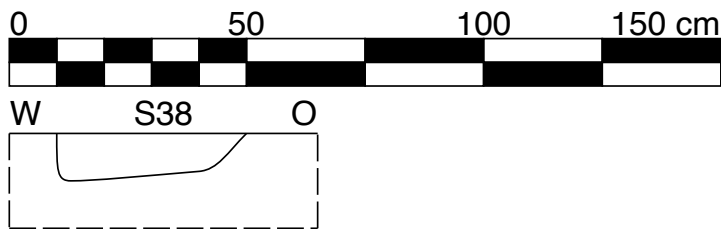
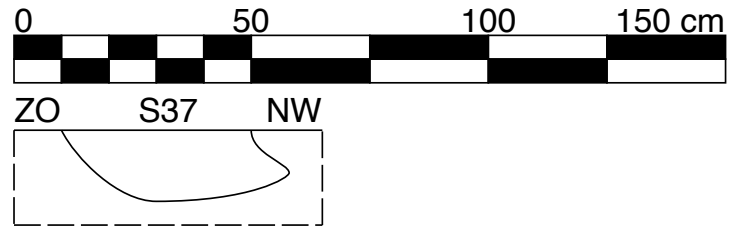
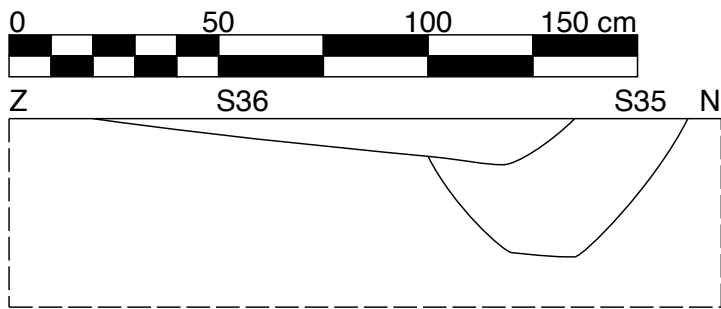


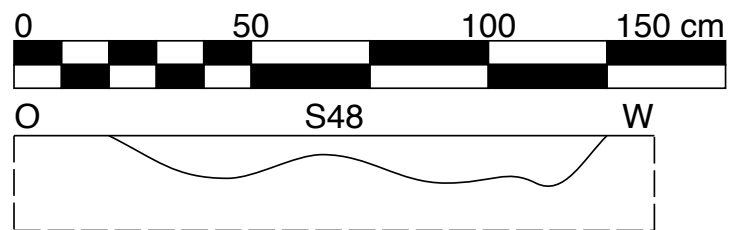
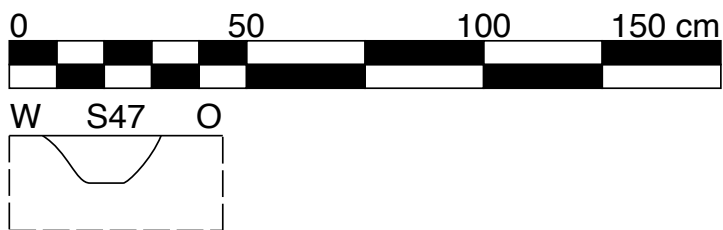
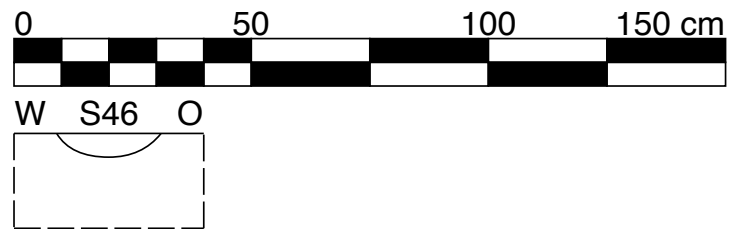
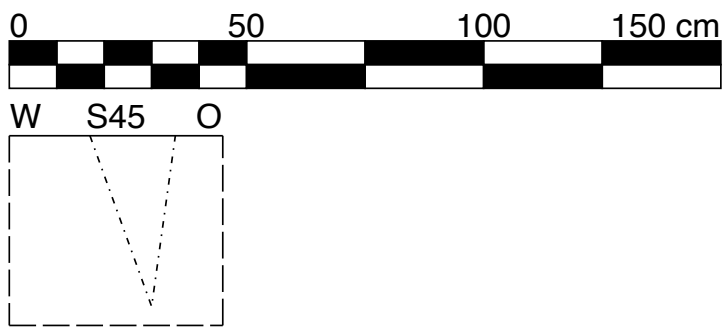
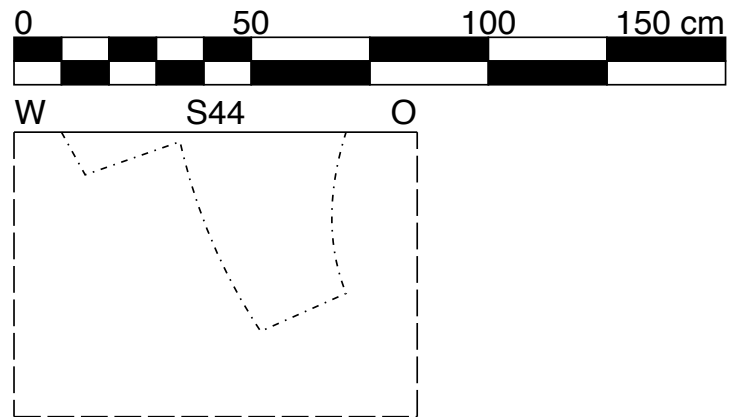
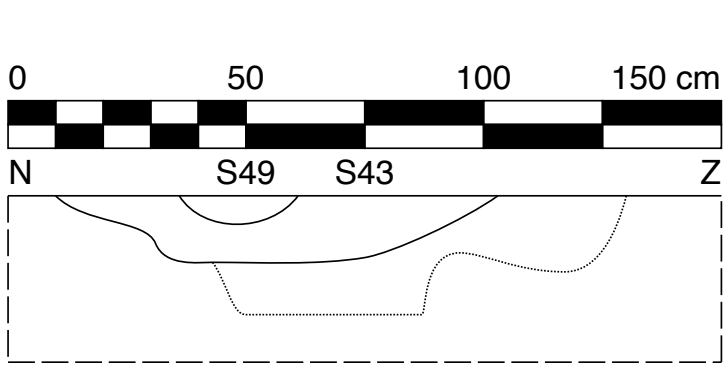


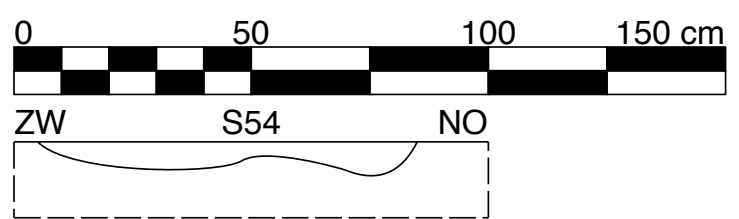
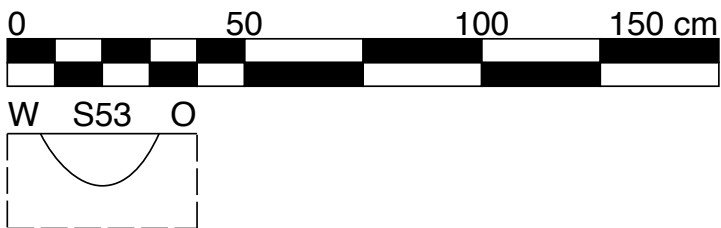
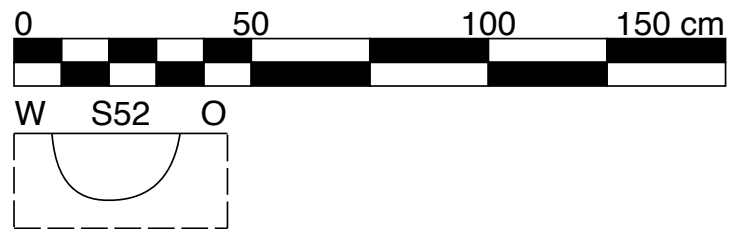
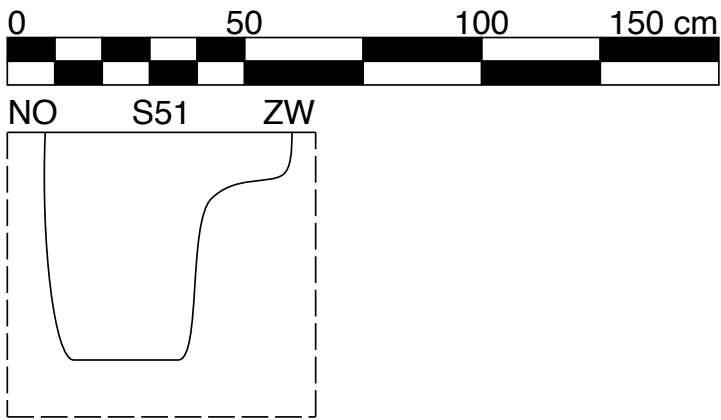
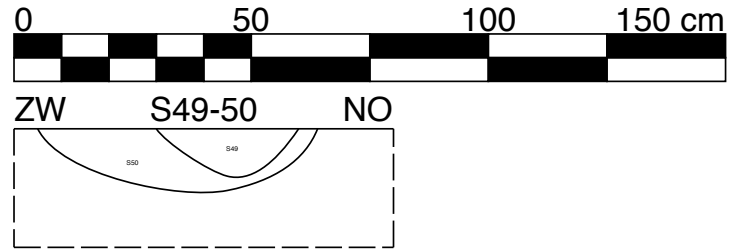
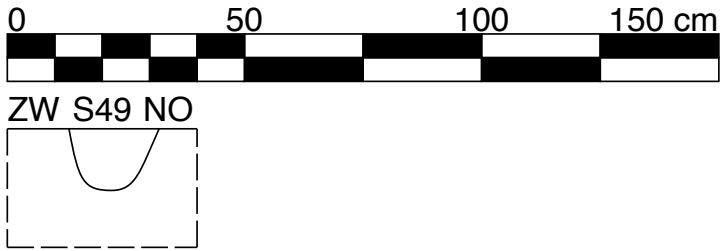


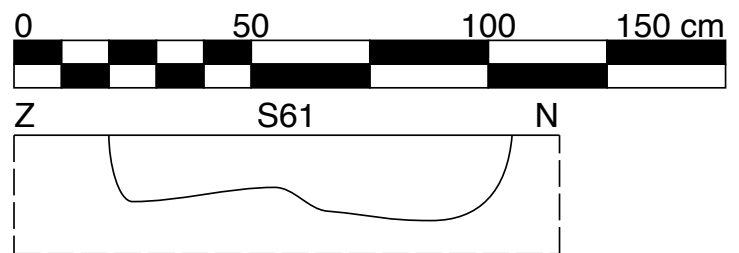
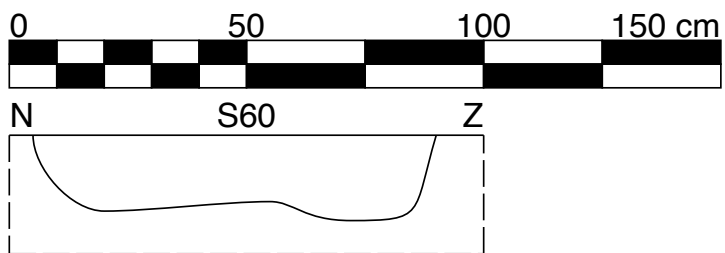
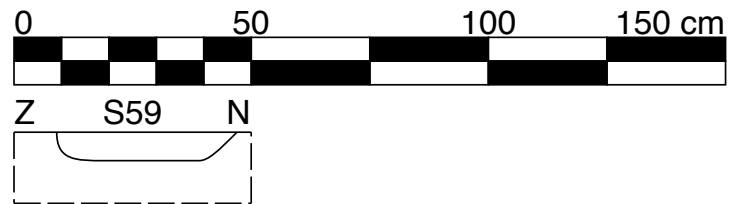
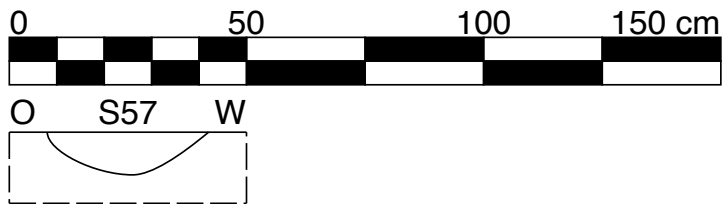
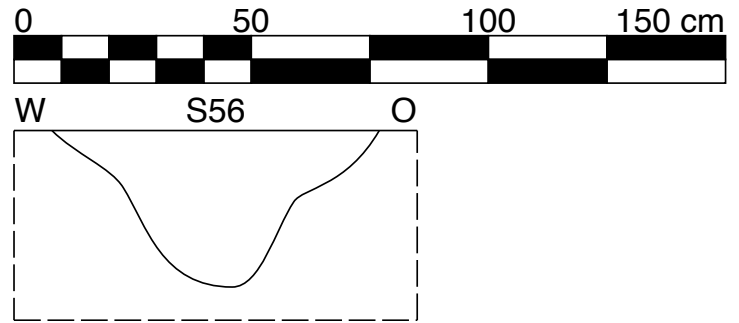
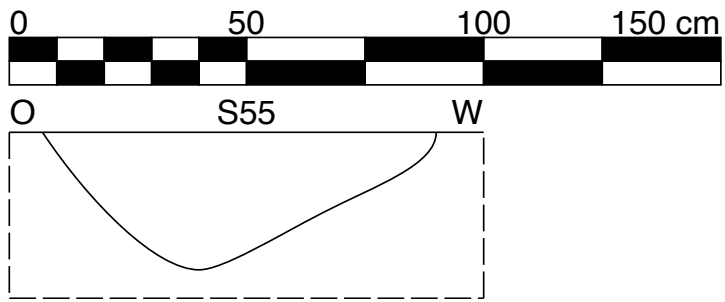


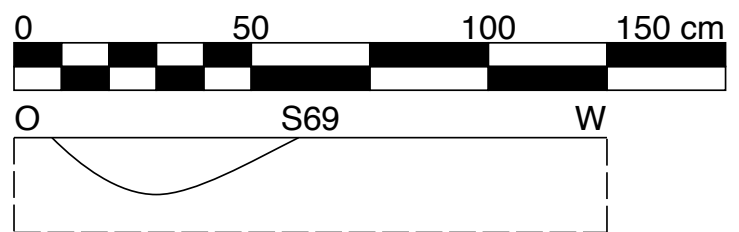
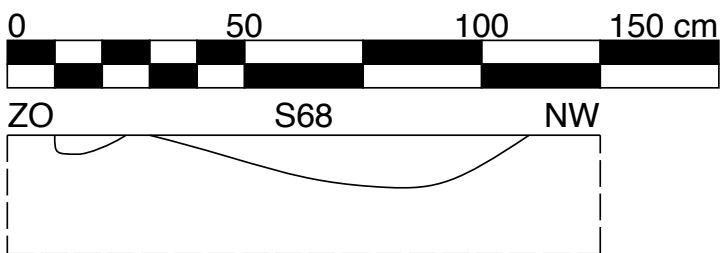
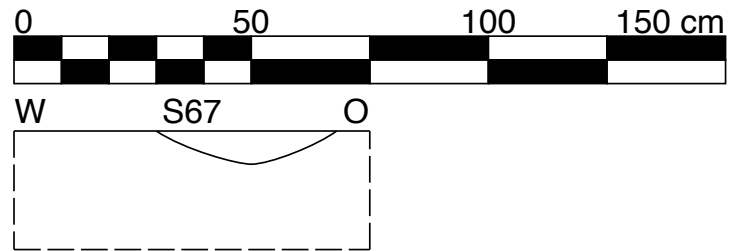
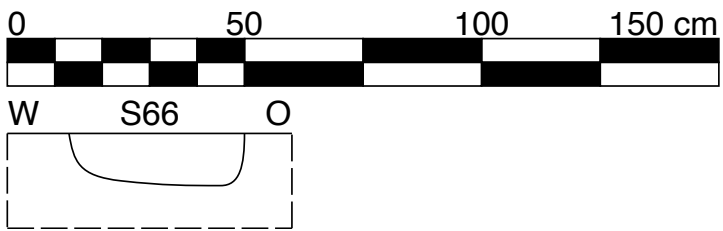
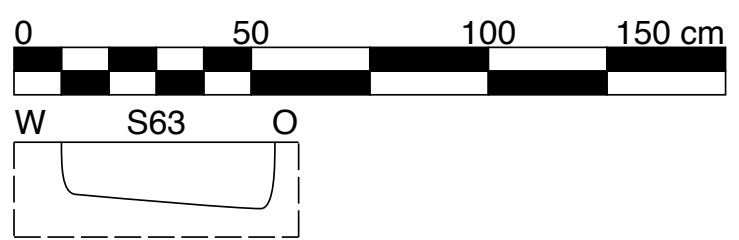
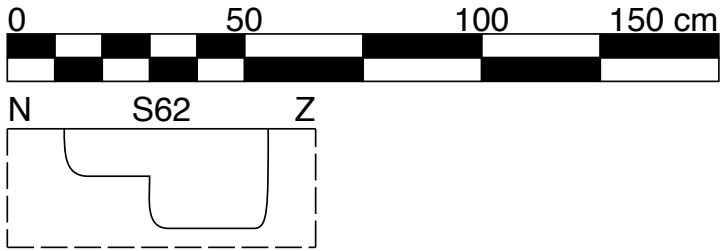


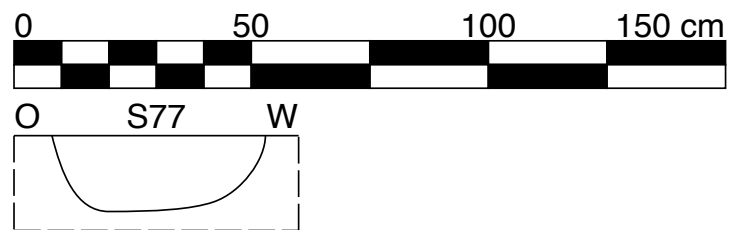
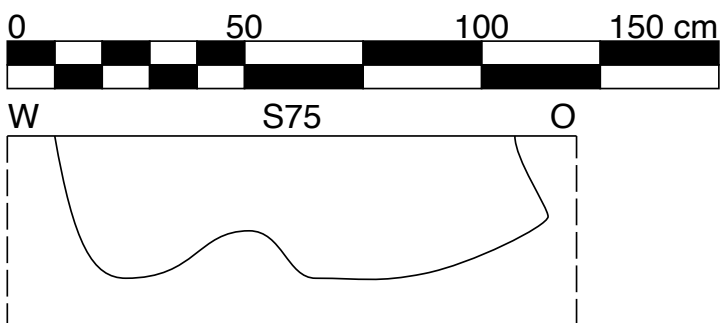
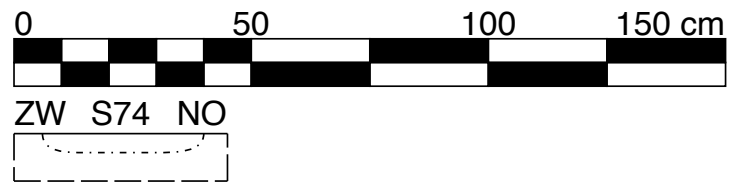
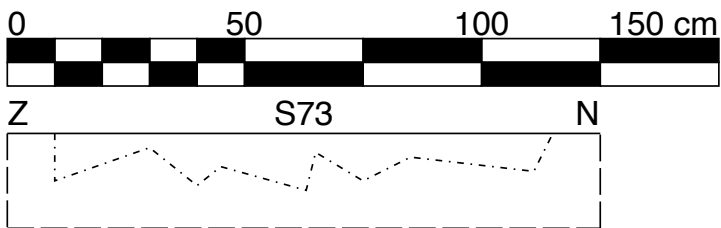
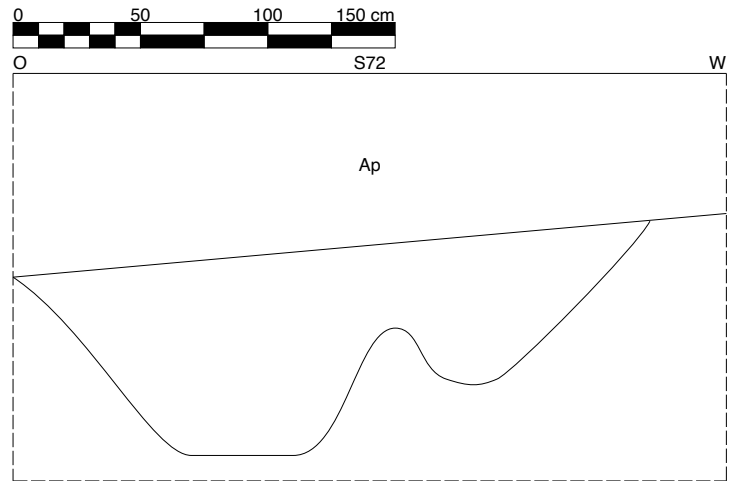
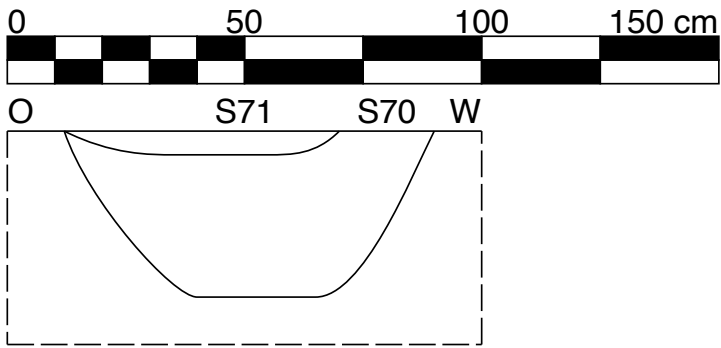


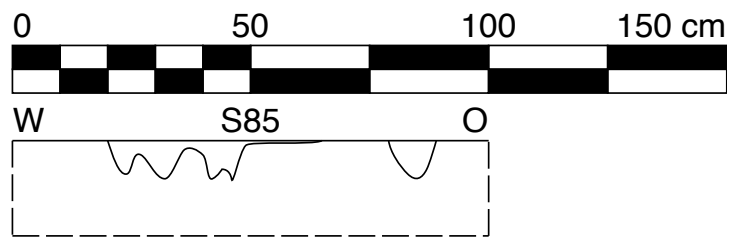
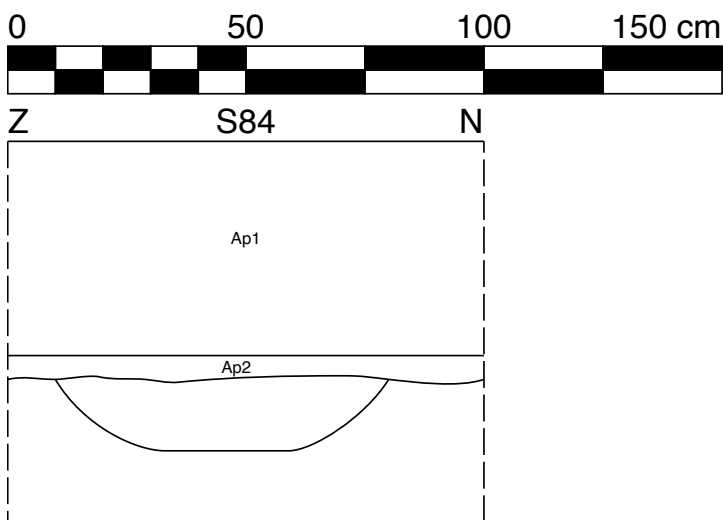
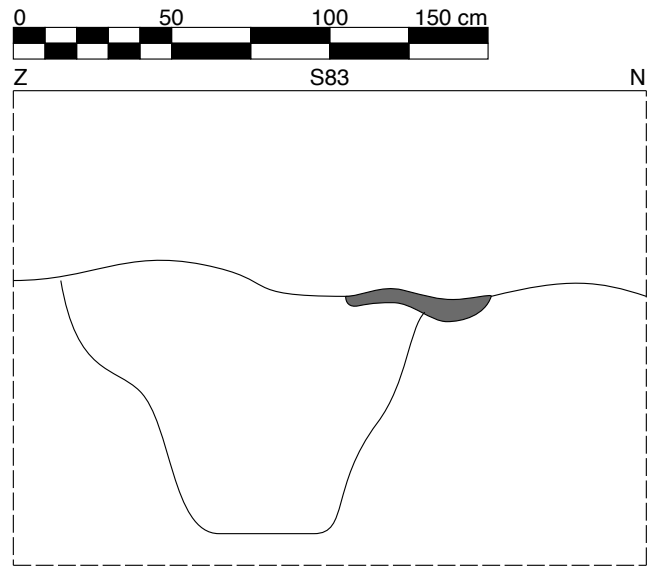
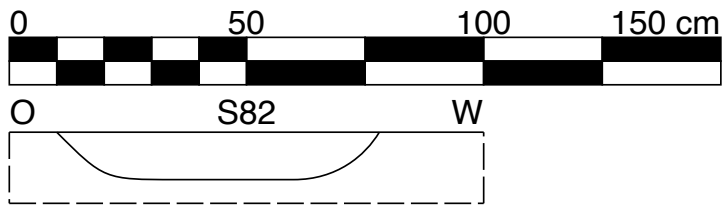
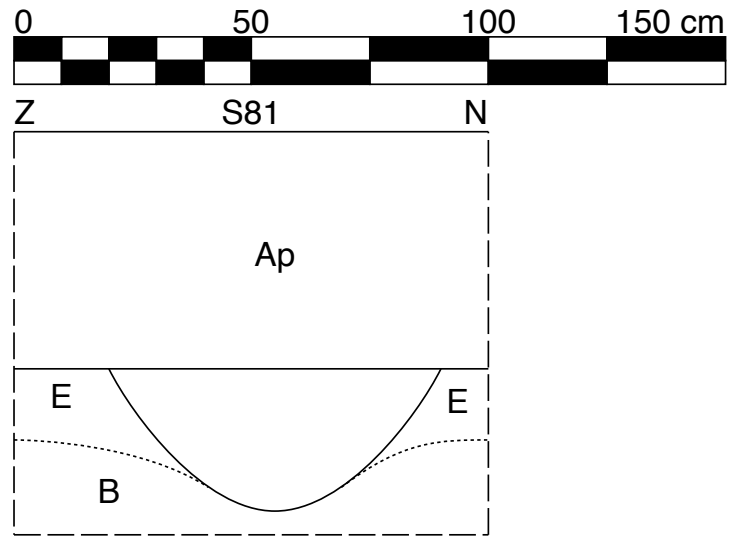
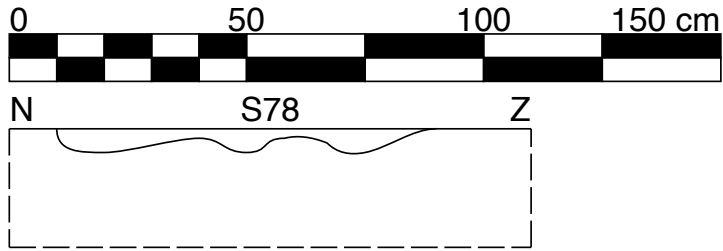


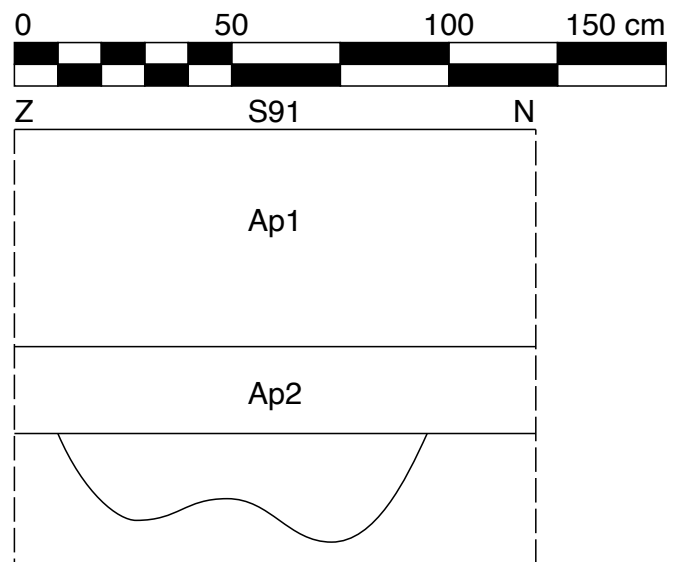
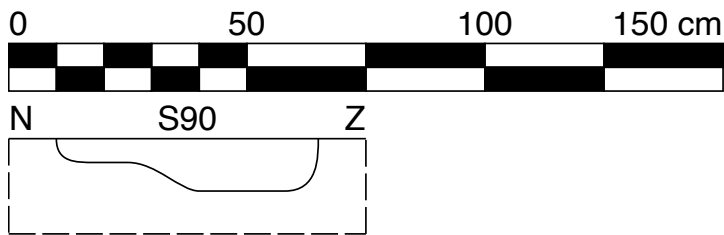
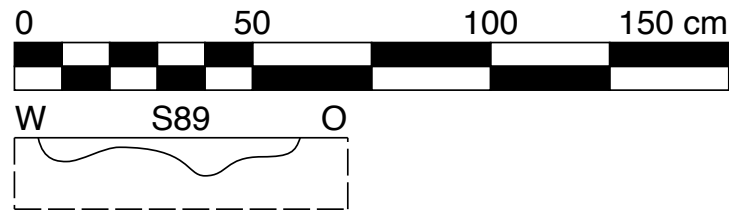
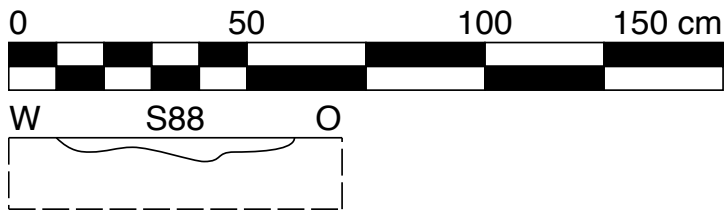
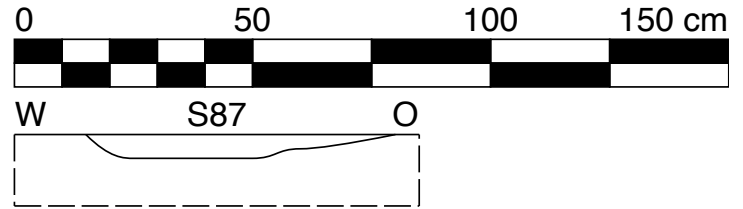
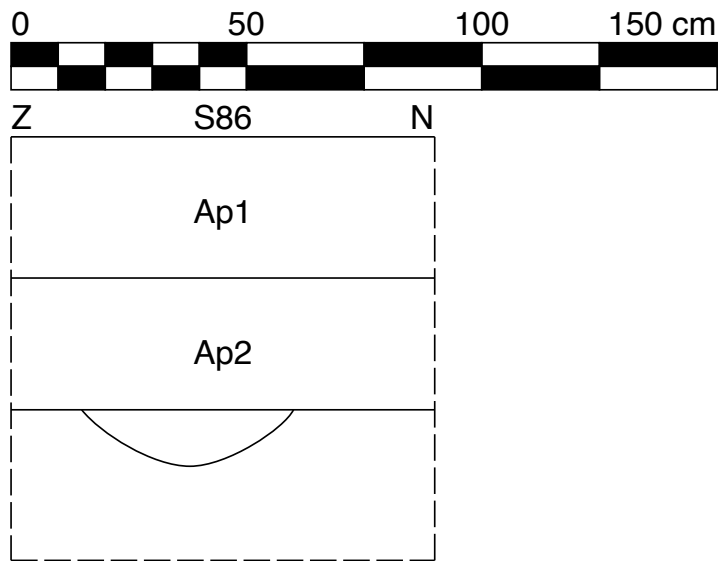


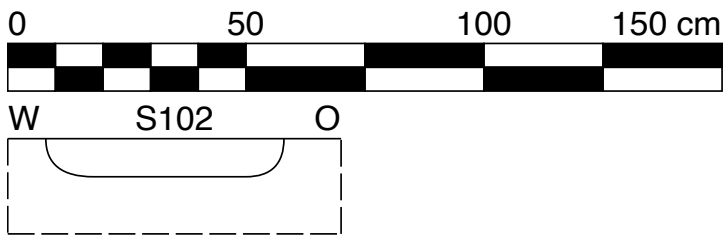
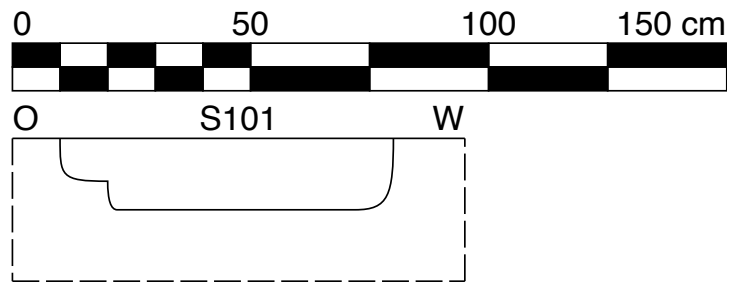
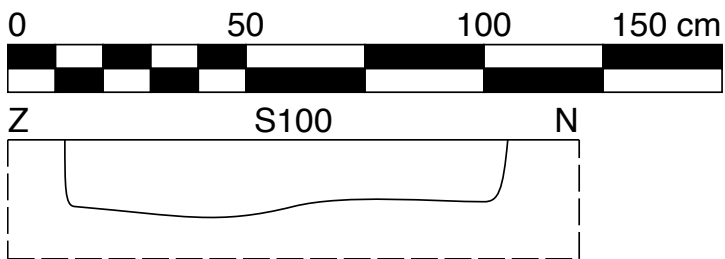
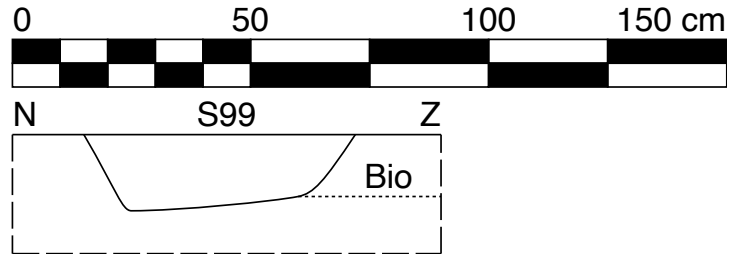
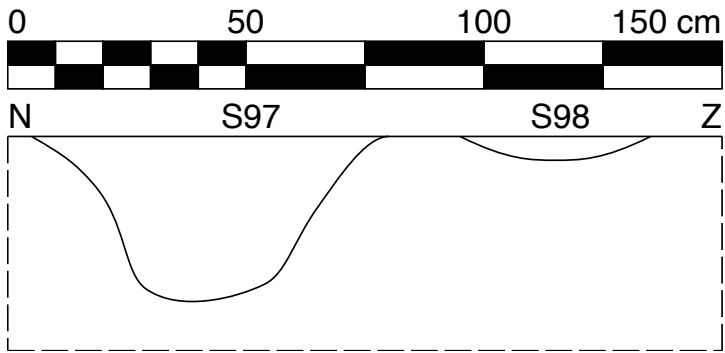


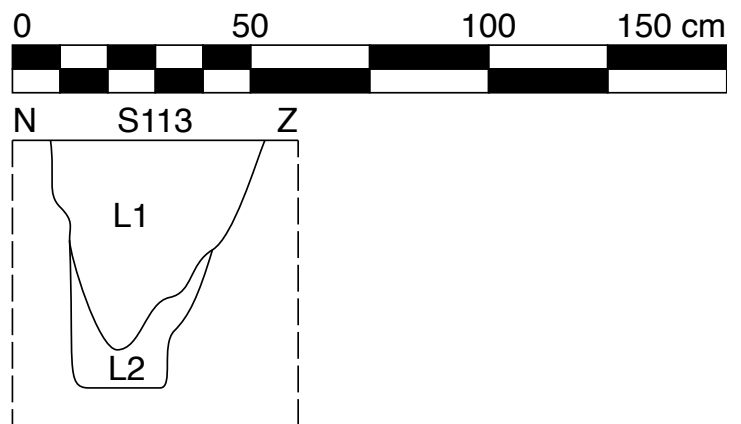
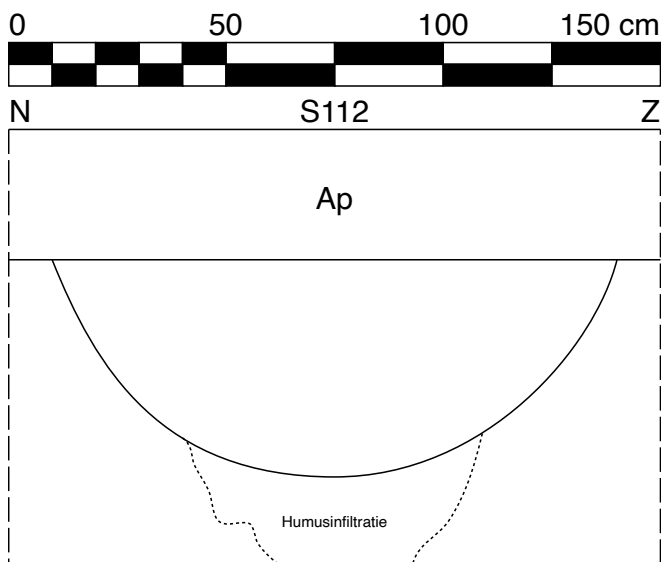
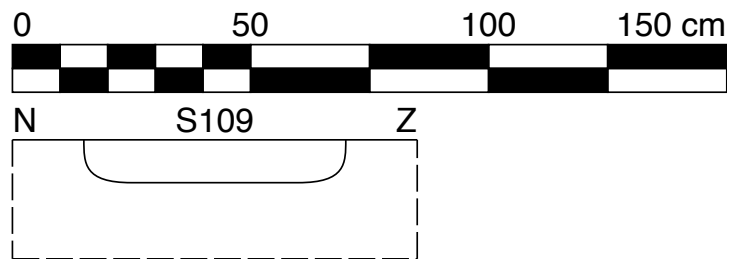
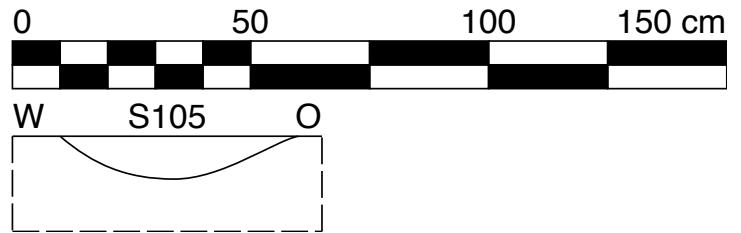
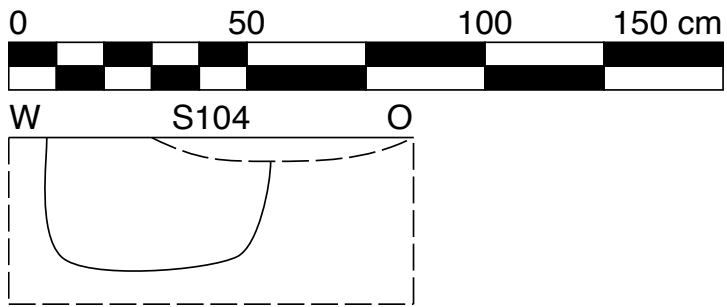


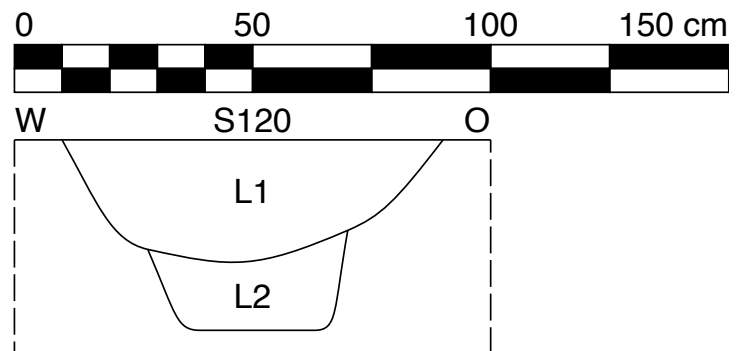
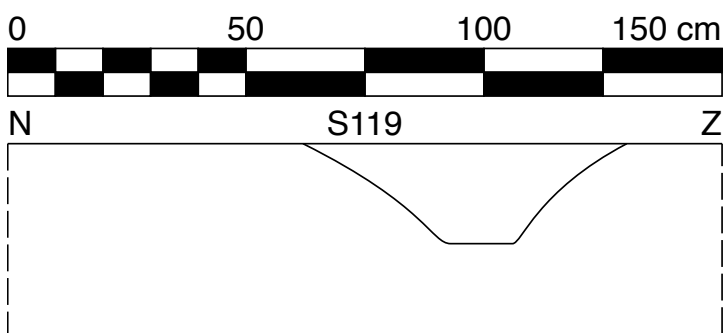
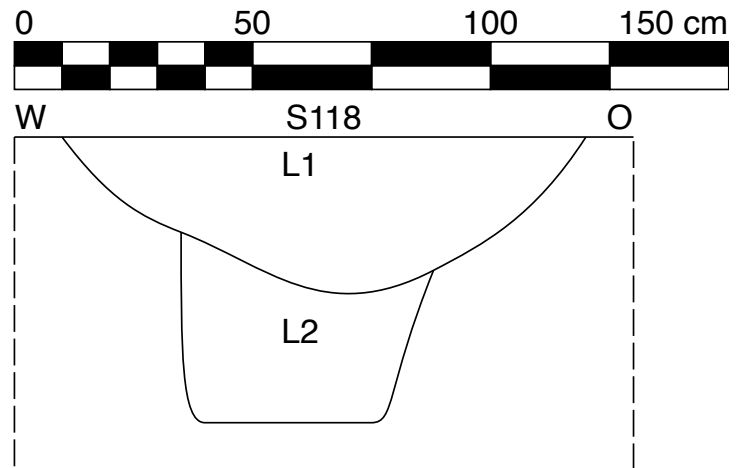
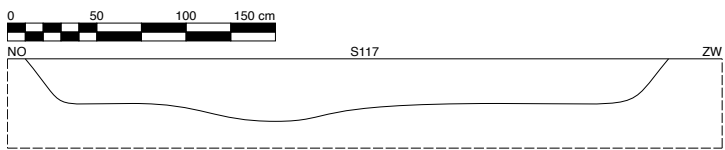
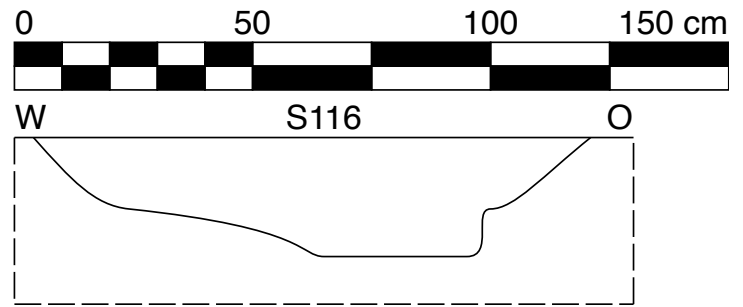
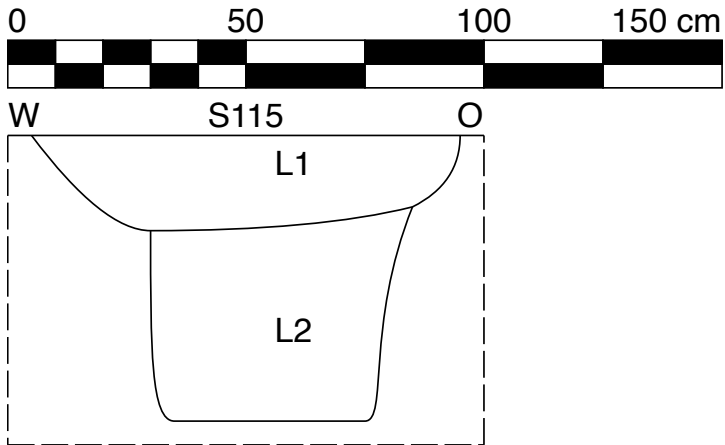


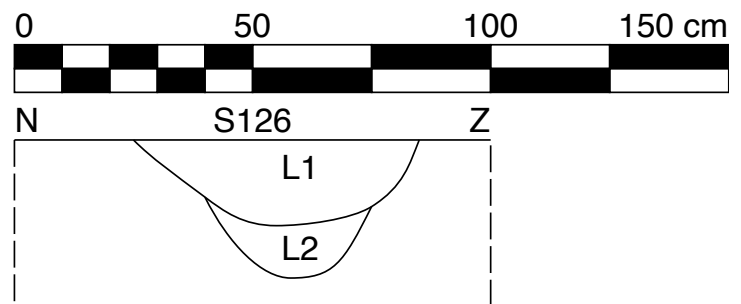
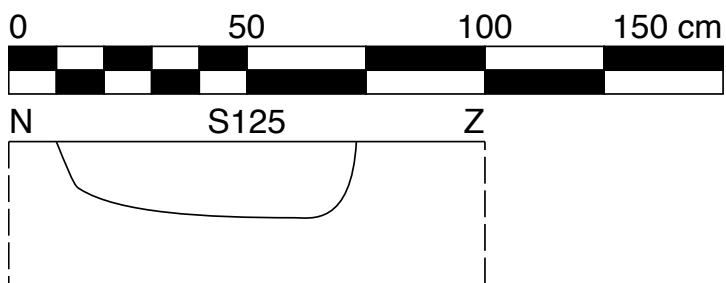
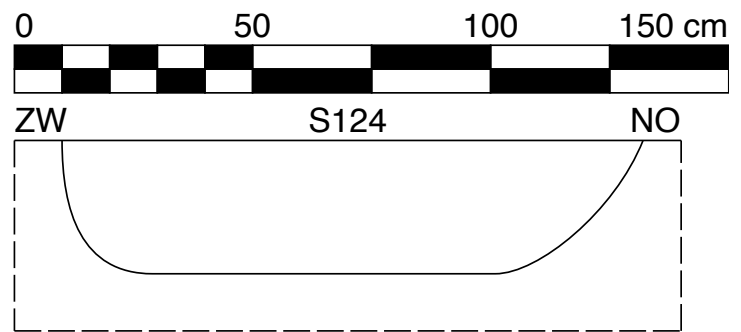
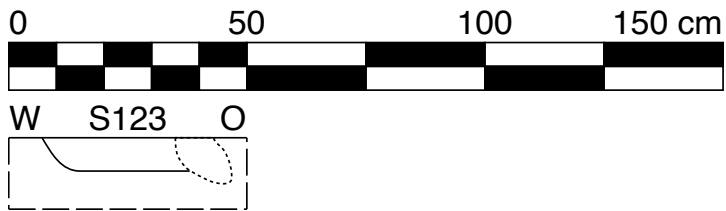
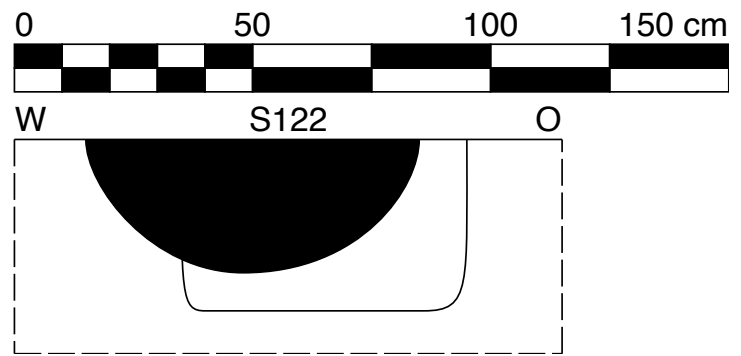
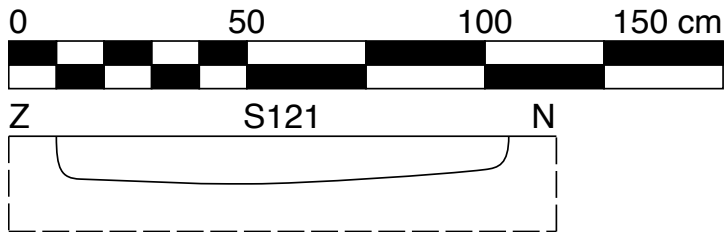


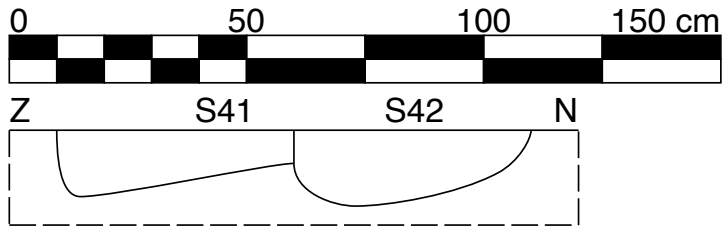












## Bijlage 6 Landschappelijke bodemprofielen (2022A471)

### Legende

Aflijning:		Kleur:		Kleur:		Bijmenging:		Vondsten:	
A	Abrupt	L-	Licht	gevl.	gevekt	AM	Asmortel	An	Andere
Du	Duidelijk	D-	Donker	gelg.	gelaagd	Be	Beton	Bo	Bouwceramiek
G	Geleidelijk			gebr.	gebrokeeld	Bio	Bioturbatie	Ce	Ceramiek
Di	Diffuus	Br	Bruin	hom.	homogeen	Bo	Bouwceramiek	Fa	Faunaresten
gr.	ondergrens	Gl	Geel	het.	hetrogeen	BS	Baksteen	Fl	Floraresten
		Go	Groen			Ce	Cement	Gl	Glas
Textuur:		Gr	Grijs	m.	met	CeM	Cementmortel	Ku	Kunststof
		Or	Oranje	vl.	vlekken	DKS	Doornikse KS	Le	Leder
Re	Redelijk	Rd	Rood	sp.	spikkels	PO4	Fosfaat	Li	Litisch materiaal
Ze	Zeer	Wt	Wit	lg.	lagen	Fe	IJzerconcreties	Me	Metaal
Za	Zacht	Zw	Zwart	lgs.	laagjes	Fe-slak	IJzerslak	Mu	Munt
Ha	Hard	Bl	Blauw	br.	brokken	FeZS	IJzerzandsteen	Na	Natuursteen
Va	Vast	Pr	Purper	fi.	fibers	Glau	Glauconiet	Pi	Pijpaarde
Lo	Los	Rz	Roze	to.	tongen	HK	Houtskool	St	Staalname
Z	Zand (50µm-2mm)			wi.	wiggen	Hu	Humus		
L	Leem (2-50µm)			le.	lenzen	K	Kalk		Beschrijving:
K	Klei (<2µm)					KM	Kalkmortel	B	beschrijving
V	Veen					KS	Kalksteen	d	droog
						KW	Kwarts	v	vochtig
						KZM	Kalkzandmortel	n	nat
						KZS	Kalkzandsteen		
						LS	Leisteen		
						Me	Mergel		Kalkreactie HCl:
						Mn	Mangaan		
						NS	Natuursteen	O	Onbepaald
						SK	Steenkool	J	Ja
						TG	Tegel	N	Nee
						TM	Trasmortel		
						VL	Verbrande leem		
						ZM	Zandmortel		
						ZS	Zandsteen		

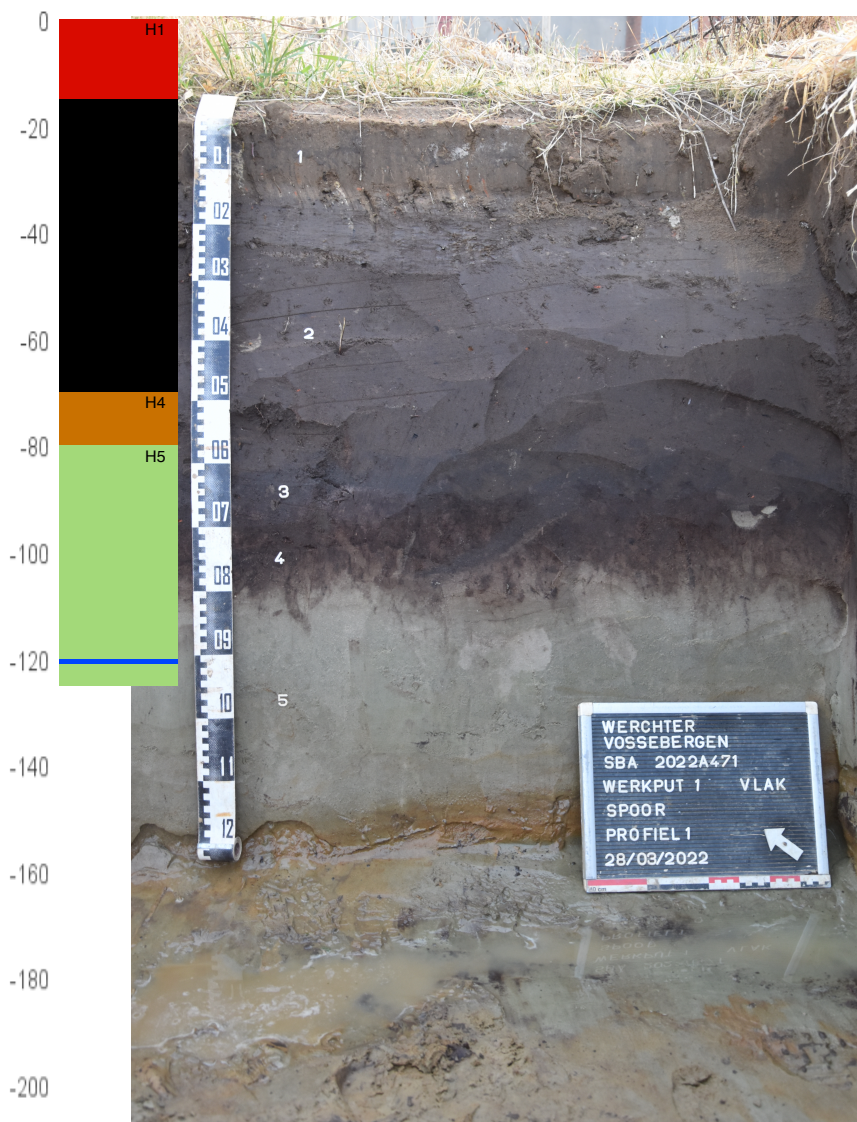
De kleurweergave van het gevisualiseerde profiel is typologisch, en benadert dus niet per definitie de hoofdkleur van de horizont.

## Profiel PR1

### 1. Algemene gegevens

1. Beschrijver: Wouter Yperman, Studiebureau Archeologie.
2. Soort onderzoek: Archeologisch: opgraving
3. Plaats: Werchter - Vossebergen
4. Hoogteligging: 10,87 m TAW.
5. Coördinaten: 173583,08 N; 185176,27 O. (lamb 72)
6. Datum: maandag, 28/03/2022
7. Gereedschap: Schop, Truweel, Graafmachine
8. Landgebruik: Braak, Onkruid
9. Weersomstandigheden: Open hemel
10. Oriëntatie: O.
11. Bodemeenheid: Zcm(g) (matig droge zandbodem met diepe antropogene humus A-horizont met een dikke antropogene humus A-horizont met een grijsachtige kleur)

### 2. Profielbeschrijving



- H1 (HTM)  
0-15 cm: ZeZaLo Z; niet gespecificeerd; LBr-Gr ;  
[St: Beton, BC, Cement, ]; A recht gr.(B: v, HCl: O)
- H2 (Ap)  
15-60 cm: ReZaVa Z; niet gespecificeerd; DBr-  
Zw ; [Veel bio, Hu; St: HK, BC, LS, ]; Di  
onregelmatig gr.(B: v, HCl: O)
- H3 (Bh)  
60-70 cm: ReHaVa Z; niet gespecificeerd; Zw ;  
[St: BC, Sp: HK]; Di onregelmatig gr.(B: v, HCl: O)
- H4 (Bir)  
70-80 cm: ReZaVa Z; niet gespecificeerd; LBr m.  
DBr fi. ; [Sp: HK]; Du onregelmatig gr.(B: v, HCl: O)
- H5 (Tertiair zand)  
80- cm: ReHaLo Z; niet gespecificeerd; LGo m. Or  
lg. ; [Glau, Fe-vl; ]; Oxidatie op 120cm(B: v, HCl: O)

Bereikte diepte: -125 cm.  
Grondwatertafel: -120 cm.  
Opmerkingen:

## Profiel PR2

### 1. Algemene gegevens

- |                         |   |
|-------------------------|---|
| 1. Beschrijver:         | Wouter Yperman, Studiebureau Archeologie.   |
| 2. Soort onderzoek:     | Archeologisch: opgraving  |
| 3. Plaats:              | Werchter - Vossebergen  |
| 4. Hoogteligging:       | 10,94 m TAW.  |
| 5. Coördinaten:         | 173501,41 N; 185152,22 O. (Iamb 72)   |
| 6. Datum:               | woensdag, 5/04/2023   |
| 7. Gereedschap:         | Schop, Truweel, Graafmachine  |
| 8. Landgebruik:         | Braak, Onkruid  |
| 9. Weersomstandigheden: | Open hemel  |
| 10. Oriëntatie:         | W.  |
| 11. Bodemeenheid:       | Zcm(g) (matig droge zandbodem met diepe antropogene humus A-horizont met een dikke antropogene humus A-horizont met een grijsachtige kleur) |

### 2. Profielbeschrijving



H1 (Ap1)  
0-35 cm: ZeZaLo Z; niet gespecificeerd; DGr-Zw ; [Veel bio, Hu; Sp: HK, BC]; A recht gr. Ce, Me, Li. (B: v, HCl: O)

H2 (Ap2)  
35-42 cm: ReZaLo Z; niet gespecificeerd; gelg. Gr m. DGr-Zw ; [Veel bio, Hu; Sp: HK]; A onregelmatig gr. Ce. Diepploegen, licht getande ondergrens(B: v, HCl: O)

H3 (Cg)  
42-87 cm: ReZaLo Z; niet gespecificeerd; gev. LGI m. DOr ; [Fe-vl; ]; G recht gr. Bovenaan wortelpodzols(B: v, HCl: O)

H4 (Cr)  
87- cm: ZeZaLo Z; niet gespecificeerd; DBr m. LGr-Br vl. ; Humusinfiltratie(B: v, HCl: O)

Bereikte diepte: -105 cm.  
Grondwatertafel: -100 cm.  
Opmerkingen:



## Bijlage 7 Dagrapporten (2022A471)

<b>Week: 14</b>	
28/03/2022 <u>Werkput</u> 1 <u>Weer</u> Buiten Matige temp. Open hemel	Werkput 1: aanleg, registratie en afwerken Werkput 1
29/03/2022 <u>Werkput</u> 2 <u>Weer</u> Buiten Matige temp. Licht bewolkt	Werkput 2: aanleg, registratie en afwerken
31/03/2022 <u>Werkput</u> 3 <u>Weer</u> Buiten Koud Zwaar bewolkt	Werkput 3: aanleggen, registreren en afwerken
<b>Week: 14</b>	
5/04/2023 <u>Werkput</u> 4 <u>Weer</u> Buiten Matige temp. Open hemel	Werkput 4: start fase 2
6/04/2023 <u>Werkput</u> 5 <u>Weer</u> Buiten Koud Regen	Werkput

---

7/04/2023	Werkput 5 afwerken Werkput en opgraving
<u>Werkput</u>	
5	
<u>Weer</u>	
Buiten	
Koud	
Half bewolkt	

---